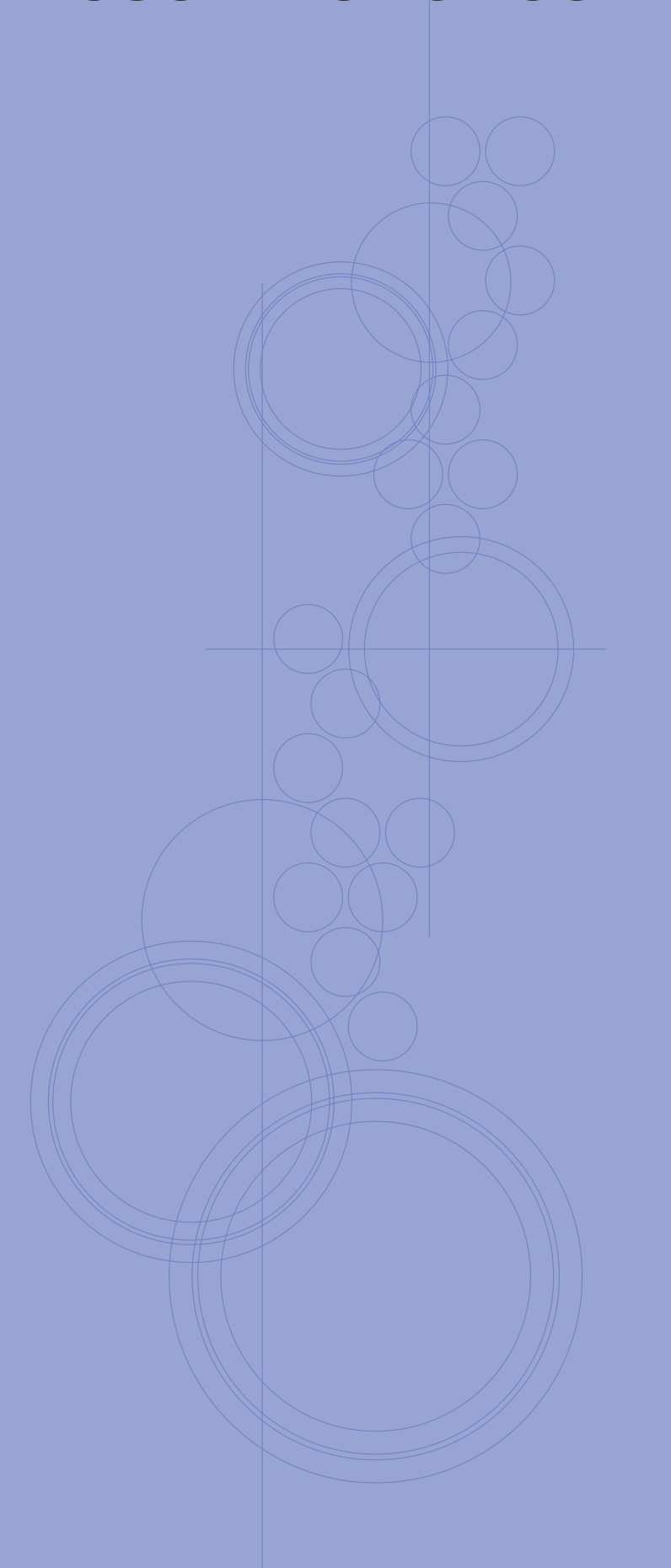




Indice dei contenuti

Descrizio	ne tecnica		
1 Selezione d	del cuscinetto	5 Precarico e rigidità	
	di selezione del cuscinetto2	5-1 Finalità del precarico	
_	tipo di cuscinetto	5-2 Metodi di precarico	
2 Durata del	CUSCINETTO	5-3 Misurazione del precarico	
	te di carico dinamico base e durata calcolata4	5-5 Precarico standard e rigidità assiale	
	amico equivalente	6 Lubrificazione	
	te di carico statico di base e carico statico equivalente 6	6-1 Funzioni della lubrificazione	
3 Tolleranza	del cuscinetto	6-2 Sistemi di lubrificazione	22
3-1 Tolleranze	del cuscinetto radiale7	Velocità limite	
	e valori ammessi dei cuscinetti obliqui a sfere per carichi	7-1 Correzione della velocità limite	26
	serie TAH/TBH)	8 Struttura dell'albero e dell'alloggiamento	
	er cuscinetti per supporto di viti con ricircolo di sfere (serie TAB) 10	8-1 Regolazione dell'albero e dell'alloggiamento8-2 Precisione richiesta per albero e alloggiamento	
	er cuscinetti per supporto di viti con ricircolo di sfere (serie TAF) 11	8-3 Limiti delle dimensioni dello smusso	
	per cuscinetti a rulli conici (cuscinetti a rulli cilindrici) 11 ne del cuscinetto	Gestione del cuscinetto	
		9-1 Conservazione e trasporto dei cuscinetti	30
	iche cuscinetto doppio	9-2 Assemblaggio di cuscinetti	30
	obliqui a sfere con "Flush ground"	9-3 Test di funzionamento	
Tabelle di	mensionali		
Tipologie e pro	gettazione di cuscinetti a rulli di precisione		37
inpologic o pro			
41			
			44 46
	Selle DIVII		40
0	Cuscinetti obliqui a sfere con carico di spinta		50
	Serie TBH		54
	Cuscinetti a rulli cilindrici a disposizione multip	la	56
10-	Serie NN3000		58
10	Serie NNU4900		60
0	Cuscinetti a rulli conici incrociati		62
9	Serie XRN		64
	Serie XRG		66
6.	Cuscinetti per supporto di viti con ricircolo di sf		
6	Serie TAB		70
	Serie TAF		72

Descrizione tecnica



Selezione del cuscinetto

Durata del cuscinetto

Tolleranza del cuscinetto

Disposizione del cuscinetto

e rigidità

Lubrificazione

Velocità limite

Struttura dell'albero e dell'alloggiamento

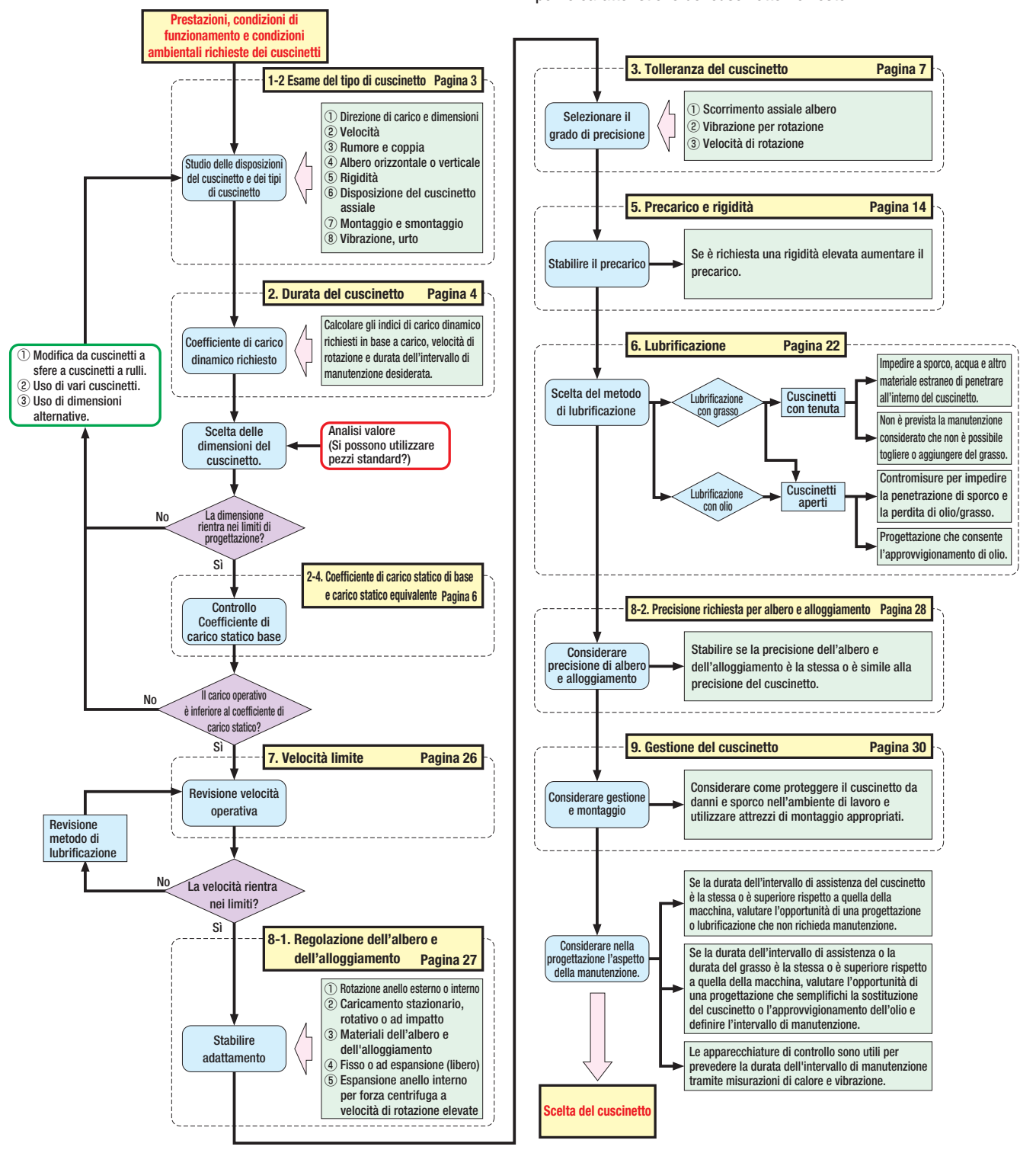


Selezione del cuscinetto

Procedura di selezione del cuscinetto

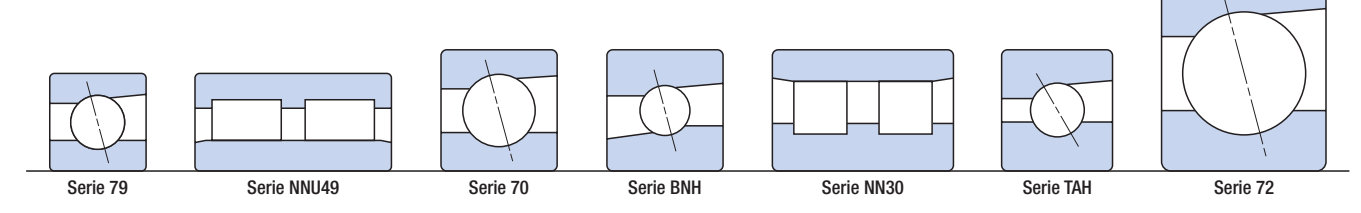
La scelta del tipo e della combinazione di cuscinetti non è un compito facile e non è eccessivo affermare che la scelta stessa del cuscinetto è fondamentale per ottenere le prestazioni di progettazione e la durata desiderate.

Pur non esistendo la procedura "migliore" per la scelta del cuscinetto giusto, il progettista dovrebbe attribuire massima priorità alla soddisfazione dei requisiti più critici dei cuscinetti. Figura 1.1 è un esempio di una procedura basata sulla determinazione delle priorità per le caratteristiche del cuscinetto richieste.



1-2 Esame del tipo di cuscinetto

Fattori	Linee guida per la scelta
Spazio consentito per i cuscinetti	 Quando si progetta un sistema con albero, la rigidità e la forza dell'albero sono fattori fondamentali. Il primo passaggio è di stabilire il diametro dell'albero e il diametro del foro. Figura 1.2 mostra le linee guida per i tipi e le dimensioni principali di cuscinetti a contatto volvente utilizzati nelle macchine utensili.
Carico (tipo, direzione, grandezza)	 Scegliere il tipo di cuscinetto ottimale secondo la grandezza del carico radiale e assiale, la direzione del carico (una o entrambe le direzione) e il livello (vibrazione o urto). In generale un cuscinetto a rulli ha una capacità del coefficiente di carico superiore a un cuscinetto a sfere.
Velocità di rotazione	 Scegliere il tipo di cuscinetto ottimale secondo la velocità di rotazione massima per la macchina in cui si utilizza il cuscinetto. Le velocità limite dei cuscinetti dipendono ampiamente dalla grandezza del carico applicato, dalla precisione di scorrimento, dal materiale e dalla progettazione della gabbia. Per cui, è necessario operare con attenta considerazione. In generale, i cuscinetti obliqui a sfere o i cuscinetti a rulli cilindrici, che presentano un aumento minimo della temperatura si utilizzano nelle applicazioni ad alta velocità.
Rigidità	 Per migliorare la rigidità dell'asse di rotazione costituisce un aspetto fondamentale la rigidità dell'albero e dell'alloggiamento ma anche la rigidità del cuscinetto. In generale, la rigidità di un cuscinetto a rulli è superiore a quella di un cuscinetto a sfere. La rigidità di cuscinetti obliqui a sfere in combinazione è aumentata applicando un precarico al cuscinetto.
Montaggio e smontaggio	Scegliendo un cuscinetto separabile si aumenta l'efficienza di lavoro durante il montaggio e lo smontaggio per le ispezioni periodiche, ecc.



• Figura 1.2 Cuscinetti a rulli di precisione principali utilizzati nelle macchine utensili

Durata del cuscinetto

Tolleranza cuscinetto

Disposizione cuscinetto

Precarico e rigidità

Lubrificazione

Velocità

Struttura dell'albero e dell'allog-giamento



Durata del cuscinetto

Coefficiente di carico dinamico base e durata calcolata

Sebbene le necessità dei cuscinetti volventi varino in relazione alle individuali applicazioni le principali richieste sono:

- Alta capacità di carico
- Basso attrito
- Rotazione uniforme e silenziosa
- Alta precisione
- Alta rigidità

I requisiti di affidabilità e durata servono per stabilire l'intervallo di tempo in cui si debbono preservare anche tutti gli altri requisiti. Il requisito di affidabilità (durata di vita in senso lato) include vita e acustica del grasso così come durata di vita a fatica. L'affidabilità risulta ridotta in seguito a vari tipi di danni e degradazione. Sebbene esistano altre tipologie di danni, la rottura e la usura per esempio, queste devono essere considerate separatamente dalla durata del cuscinetto. La gestione, il montaggio, la lubrificazione e le regolazioni eseguiti in modo inappropriato sono la causa principale di problemi che comportano una durata del cuscinetto inferiore a quella calcolata. I cuscinetti dinamici possono rompersi a volte per la fatica di rotolamento generata dallo stress ripetitivo del carico del cuscinetto e ciò avviene indipendentemente dalle modalità con cui sono sottoposti a manutenzione, montati e gestiti. La durata di vita di un cuscinetto deve essere esaminata da due prospettive: 1) Se da una ispezione, una traccia di fatica risulta visibile, il cuscinetto è danneggiato e non più impiegabile per usi futuri; o 2) la durata di vita in ore o numeri di giri può essere predeterminata come limite oltre il quale il cuscinetto dovrà essere automaticamente rimpiazzato. Poiché il calcolo della durata di vita a fatica varierà per taglia e per tipo di cuscinetto in presenza di identiche condizioni di carico, grande cura deve essere presa nella analisi delle condizioni di carico e nella scelta finale dei cuscinetti per soddisfare le richieste applicative.

La durata a fatica dei singoli cuscinetti si disperde tra gli stessi. Quando un gruppo di cuscinetti identici è usato con le stesse condizioni compare il fenomeno statistico della dispersione. La durata media non è un criterio adequato per la scelta dei cuscinetti con contatto volvente. È più appropriato invece considerare il limite (ore o

numeri di rotazioni) che è in grado di sostenere un'ampia percentuale di cuscinetti funzionanti.

In base a ciò, la durata calcolata e il coefficiente di carico dinamico di base Cr o Ca sono stabiliti usando la seguente definizione:

Durata calcolata di base

Numero totale di rotazioni che il 90% di un gruppo di cuscinetti identici utilizzati singolarmente in condizioni identiche è in grado di completare senza subire danni materiali per lo stress da rotolamento.

Coefficiente di carico dinamico base (Cr o Ca)

Carico del cuscinetto di direzione e grandezza costante che considera conclusa la durata del cuscinetto dopo un milione di rotazioni.

La durata calcolata del cuscinetto è ottenuta con la Formula 2.1 e la Formula 2.2.

$$L = \left(\frac{C}{P}\right)^{p}$$
 (Formula 2.1)

$$Lh = \left(\begin{array}{c} C \\ \hline P \end{array}\right)^p \cdot \frac{10^6}{60n}$$
 (Formula 2.2)

- : Coefficiente base durata di vita (106 di giri)
- Lh : Coefficiente base durata di vita (ore)
- C : Coefficiente di carico dinamico di base (N) (Cr per cuscinetti radiali, Ca per cuscinetti di spinta)
- : Carico cuscinetto (carico dinamico equivalente) (N) (Pr per cuscinetti radiali, Pa per cuscinetti di spinta)
- : 3 (cuscinetti a sfere), 10/3 (cuscinetti a rulli)
- : Numero di giri:(min⁻¹)

Nel caso di file multiple di disposizioni di cuscinetti a sfera radiali, il coefficiente di carico dinamico di base è calcolato utilizzando i fattori riportati di seguito.

Disposizione a 2 fi	le Disposizione a 3 file	Disposizione a 4 file
1,62	2,16	2,64

2-2 Carico dinamico equivalente

Il carico del cuscinetto P nella Formula 2.1 e nella Formula 2.2 è il carico puramente radiale (carico puramente assiale) di direzione e grandezza costante. In condizioni di funzionamento effettive sono molti i casi in cui i carichi radiali e assiali sono applicati contemporaneamente. In taluni casi, la vita del cuscinetto deve essere calcolata convertendo i carichi radiali e assiali in carico dinamico equivalente.

Il carico dinamico equivalente è calcolato utilizzando la Formula 2.3. Carico del cuscinetto di direzione e grandezza costante che considera conclusa la durata del cuscinetto dopo un milione di rotazioni. La durata calcolata del cuscinetto è ottenuta con la Formula 2.1 e la Formula 2.2.

$$Pr=XFr+YFa$$
 or $Pa=XFr+YFa$ — (Formula 2.3)

Pr : Carico radiale dinamico equivalente (N)

Pa: Carico assiale dinamico equivalente (N)

Fr : Carico radiale (N)

Fa: Carico assiale (N)

: Fattori di carico radiale (Tabella 2.1)

: Fattori di carico assiale (Tabella 2.1)

Tabella 2.1 Fattori di carico

	Angolo di	iFa/			etto fila / e singola	Cuscine	etto file/d	lirezioni r	nultiple	
	contatto nominale	Cor	е	Fa/F	r>e	Fa/F	r≤e	Fa/Fr>e		
	Hommaic			Х	Υ	Х	Υ	Х	Υ	
		0,015	0,38		1,47		1,65		2,39	
		0,029	0,40		1,40		1,57		2,28	
		0,058	0,43		1,30	1	1,46		2,11	
		0,087	0,46		1,23		1,38	0,72	2,00	
Cuscinetti	15°	0,12	0,47	0,44	1,19		1,34		1,93	
a sfera		0,17	0,50		1,12		1,26		1,82	
radiali		0,29	0,55		1,02		1,14		1,66	
raulali		0,44	0,56		1,00		1,12		1,63	
		0,58	0,56		1,00		1,12		1,63	
	25°	_	0,68	0,41	0,87		0,92	0,67	1,41	
	30°	_	0,80	0,39	0,76		0,78	0,63	1,24	
	40°		1,14	0,35	0,57		0,55	0,57	0,93	
Cuscinetti	50°	_	1,49	0,73	1	1,37	0,57	0,73	1	
a sfera di	55°		1,79	0,81	1	1,6	0,56	0,81	1	
spinta	60°		2,17	0,92	1	1,9	0,55	0,92	1	

Nota 1) i = 2 per DB o DF, i = 1 per singolo o DT.

Nota 2) Per singolo o DT, usare Pr=Fr quando Fa/Fr≤e.

Nota 3) Quando l'angolo di contatto nominale è pari a 15°, utilizzare l'interpolazione lineare per stabilire X, Y, ed i valori e di iFa/Cor che non sono inclusi nella tabella.

Nota 4) Per uso ad alta velocità (valore dmn > 800.000), si deve considerare la forza centrifuga del rullo oltre al carico esterno. Per tali applicazioni si prega di contattare NACHI.

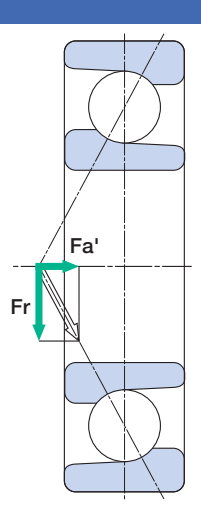
2-3 Carico dei cuscinetti obliqui a sfere

Nel caso di cuscinetti obliqui a sfere i punti in cui le linee di contatto estese tra il cuscinetto e l'asse come da Figura 2.1 devono essere utilizzati come punti di supporto del cuscinetto (centri di carico). In considerazione di ciò, i cuscinetti obliqui a sfere sono illustrati nelle tabelle dimensionali con dimensioni "a" che indicano le posizioni dei punti di supporto. Tale considerazione è molto importante quando un carico di momento è in azione su una serie di cuscinetti. Le forze assiali del componente sono generate quando un carico radiale agisce su un cuscinetto o obliquo a sfere. Si possono calcolare le forze del componente assiale utilizzando la Formula 2.4.

$$Fa' = \frac{Fr}{2Y} -$$
 (Formula 2.4)

Fa': Carico assiale indotto (N) Fr : Carico radiale (N) Fa : Fattore di carico assiale

In seguito a queste forze del componente, il carico assiale e il carico radiale dinamico equivalente che agiscono sul cuscinetto sono illustrate nella Tabella 2.2.



• Figura 2.1 Carico assiale indotto per cuscinetti obliqui a sfere

Tabella 2.2 Carico assiale e Carico dinamico equivalente con Cuscinetti obliqui a sfere

Disposizione del Cuscinetto	Condizioni di carico	Carico assiale	Carico radiale dinamico equivalente
II I Fa Fri Fri	Fa \geq 0.5 $\left(\frac{\mathrm{Fr}_{\mathrm{I}}}{\mathrm{Y}_{\mathrm{I}}} - \frac{\mathrm{Fr}_{\mathrm{II}}}{\mathrm{Y}_{\mathrm{II}}}\right)$	$Fa_{\text{I}}=Fa_{\text{II}}+Fa$ $Fa_{\text{II}}=0.5rac{Fr_{\text{II}}}{Y_{\text{II}}}$	Prı=XıFrı+Yı(Faı+Fa) Prı=Frı
I II Fa Fri Fri	$Fa < 0.5 \left(\frac{Fr_I}{Y_I} - \frac{Fr_{II}}{Y_{II}} \right)$	$Fa_{I}=0.5\frac{Fr_{I}}{Y_{I}}$ $Fa_{II}=Fa_{I}-Fa$	Pr=Fr Pr=XnFrn+Yn(Fa1-Fa)
II I Fa Fri Fri	$Fa \ge 0.5 \left(\frac{Fr_{II}}{Y_{II}} - \frac{Fr_{I}}{Y_{I}} \right)$	Fa_{I} =0.5 $\frac{Fr_{I}}{Y_{I}}$ Fa_{II} = Fa_{I} + Fa_{I}	Prı=Frı Prı=XıFrı+Yı(Faı+Fa)
I II Fa Fri Fri	$Fa < 0.5 \left(\frac{Fr_{II}}{Y_{II}} - \frac{Fr_{I}}{Y_{I}} \right)$	Fa ₁ =Fa ₁ -Fa Fa ₁ =0.5 Fr ₁ /Y ₁₁	Prı=XıFrı+Yı(Fa॥-Fa) Pr॥=Fr॥

Fr_I, Fr_{II} : Carico radiale (N) applicato ai cuscinetti I e II Fa : Carico assiale esterno (N)

: Fattori di carico assiale dei cuscinetti I e II X_I, X_{II} : Fattori di carico radiale dei cuscinetti I e II

 $Pr_{\rm I},\ Pr_{\rm II}$: Carico radiale dinamico equivalente (N) dei cuscinetti I e II

Selezione cuscinetto

Durata del

Tolleranza cuscinetto

Disposizione cuscinetto

e rigidità

Lubrificazione

Struttura dell'albero e dell'allog-giamento

Durata del cuscinetto

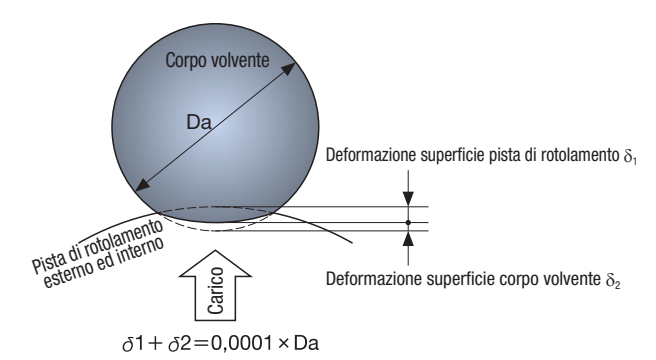
2-4 Coefficiente di carico statico di base e carico statico equivalente

2.4.1 Coefficiente di carico statico di base

Il carico applicato su cuscinetti fermi può creare intaccature permanenti sulle superfici di carico. Mentre si tollerano alcuni livelli di deformazione, un livello di deformazione sarà raggiunto quando rumore e vibrazione, durante l'esercizio del cuscinetto, renderanno il cuscinetto non più usabile. Il termine Coefficiente di carico statico di base (Cor o Coa) si riferisce al massimo valore di carico statico di stress da contatto fra corpi volventi e pista di rotolamento.

Cuscinetti a sfere ——— 4200 MPa Cuscinetti a rulli ——— 4000 MPa

Con questi stress da contatto, la somma delle deformazioni è approssimativamente 1/10.000 del diametro del corpo volvente. (Figura 2.2).



• Figura 2.2 Intaccatura permanente

2.4.2 Carico statico equivalente

Il Carico Statico Equivalente è il carico statico che riflette le condizioni attuali di carico sulla sezione di contatto fra i corpi volventi e la pista di rotolamento che ricevono il massimo stress.

Per i cuscinetti radiali il carico di direzione e grandezza costante è denominato carico radiale statico equivalente e per i cuscinetti assiali, il carico assiale di direzione e grandezza costante è denominato carico assiale statico equivalente.

Per calcolare il carico radiale statico equivalente, si deve utilizzare il più grande dei due valori ottenuti dalla **Formula 2.5** e dalla **Formula 2.6**.

$$Por=Xo Fr + Yo Fa$$
 (Formula 2.5)
 $Por=Fr$ (Formula 2.6)

Il carico assiale statico equivalente è calcolato utilizzando la Formula 2.7.

$$Poa=Xo\ Fr+Yo\ Fa$$
 (Formula 2.7)

Por : Carico radiale statico equivalente (N)

Fr : Carico radiale (N)
Fa : Carico assiale (N)

Xo : Fattori di carico radiale statico (**Tabella 2.3**) Yo : Fattori di carico assiale statico (**Tabella 2.3**)

Poa : Carico assiale statico equivalente (N)

■ Tabella 2.3 Fattori di carico statico

	Angolo di	Singol	o o DT	DB o DF				
	contatto nominale	Xo	Yo	Xo	Yo			
	15°	0,5	0,46	1	0,92			
Cuscinetti a sfera	25°	0,5	0,38	1	0,76			
radiali	30°	0,5	0,33	1	0,66			
	40°	0,5	0,26	1	0,52			
Cuscinetti	50°	2,74	1	2,74	1			
a sfera di	55°	3,28	1	3,28	1			
spinta	60°	3,98	1	3,98	1			

2.4.3 Fattore di sicurezza

Il coefficiente di carico statico di base è considerato come il carico limite nelle applicazioni in genere.

Un'applicazione potrebbe richiedere un fattore di sicurezza maggiore di 1.

La **Formula 2.8** e la **Tabella 2.4** mostrano la forma di calcolo e il fattore di sicurezza (linee guida).

Po
$$\max = \frac{Co}{So}$$
 (Formula 2.8)

Po max : Carico statico equivalente ammesso (N)
Co : Coefficiente di carico statico di base (N)
So : Fattore di sicurezza (**Tabella 2.4**)

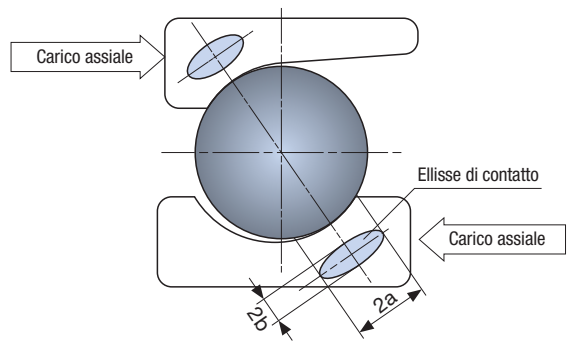
■ Tabella 2.4 Fattore di sicurezza So

Condizioni applicative	So							
Condizioni applicative	Cuscinetti a sfere	Cuscinetti a rulli						
È richiesta un'alta precisione di rotolamento	2	3						
Presenza di vibrazioni/urti	1,5	2						
Condizioni di funzionamento normali	1	1,5						

2.4.4 Carico di spinta ammesso

Esiste un carico di spinta ammesso per i cuscinetti che può essere applicato con carico assiale come per i cuscinetti obliqui a sfere. Per i cuscinetti a sfere il carico ammesso è il valore minore tra i due riportati di seguito.

- ① Carico assiale quando il valore della pressione di contatto tra corpo volvente e pista di rotolamento è 4200 MPa o meno
- ② Carico assiale che genera l'ellisse di contatto tra corpo volvente e pista di rotolamento per deviare oltre lo spallamento della pista di rotolamento (Figura 2.3)



• Figura 2.3 Ellisse di contatto

Tolleranza del cuscinetto

Tolleranze del cuscinetto radiale

La tolleranza dei cuscinetti a contatto volvente comprende la precisione dimensionale e di rotolamento. La tolleranza è classificata in base alla norma ISO 492 e alla JIS B 1514 (cuscinetti a rulli -

tolleranze) con cuscinetti a rulli conformi alla Classe 5, 4 e 2. Le tolleranze dei cuscinetti radiali sono mostrate nella Tabella 3.1 e Tabella 3.2 (pagina 8).

● Tabella 3.1 Tolleranze dell'anello interno (JIS Classe 5, Classe 4, Classe 2)

Unità: µm

	Diametro nominale foro del cuscinetto d (mm) Variazione media nel singolo piano del diametro del foro (1) $\Delta d_{\rm mp}$							ametro	Deviazio	ne del dia $arDelta$		el foro (1)	Differe	ford	ingolo pi o (1) dsp	Differenza media nel singolo piano del diametro del foro (1) $V_{d m mp}$			
			Clas	sse 5	Clas	se 4	Clas	se 2	Clas	se 4	Clas	se 2	Clas	se 5	Clas	se 4	Classe 5	Classe 4	Classe 2
	Oltre	Fino a							Serie dei diametri		i	Serie dei diametri			i				
'	oille	re Fino a Alto Basso Alto Basso Alto Bas		Basso		0,	2		9	0,2	9	0,2	Max	Max	Max				
										Basso	Alto	Basso	Max	Max	Max	Max			
	2.5	10	0	-5	0	-4	0	-2,5	0	-4	0	-2,5	5	4	4	3	3	2	1,5
	10	18	0	-5	0	-4	0	-2,5	0	-4	0	-2,5	5	4	4	3	3	2	1,5
	18	30	0	-6	0	-5	0	-2,5	0	-5	0	-2,5	6	5	5	4	3	2,5	1,5
	30	50	0	-8	0	-6	0	-2,5	0	-6	0	-2,5	8	6	6	5	4	3	1,5
	50	80	0	-9	0	-7	0	-4	0	-7	0	-4	9	7	7	5	5	3,5	2
	80	120	0	-10	0	-8	0	-5	0	-8	0	-5	10	8	8	6	5	4	2,5
1	20	150	0	-13	0	-10	0	-7	0	-10	0	-7	13	10	10	8	7	5	3,5
1	50	180	0	-13	0	-10	0	-7	0	-10	0	-7	13	10	10	8	7	5	3,5
1	80	250	0	-15	0	-12	0	-8	0	-12	0	-8	15	12	12	9	8	6	4

																			Unità: µm	
foro del c	nominale cuscinetto nm)	Eccentricità radiale dell'anello interno del cuscinetto assemblato $K_{\rm ia}$ Eccentricità della facci di riferimento dell'anel interno con foro $S_{\rm d}$						di riferir interno assemb	nento de del cus	cinetto pista di	Deviazione della larghezza di un anello singolo						Variazione della larghezza dell'anello interno VBs			
		Classe 5	Classe 4	Classe 2	Classe 5	Classe 4	Classe 2	Classe 5	Classe 4	Classe 2	Clas			/Classe 2		/Classe 4 sse 2	Classe 5	Classe 4	Classe 2	
Oltre	Fino a	Max	Max	Max	Max	Max	Max	Max	Max	Max	C			Cuscinetto singolo		Cuscinetto in dispo- sizione doppia (3)		Max	Max	Max
											Alto	Basso	Alto	Basso	Alto	Basso				
2.5	10	4	2,5	1,5	7	3	1,5	7	3	1,5	0	-40	0	-40	0	-250	5	2,5	1,5	
10	18	4	2,5	1,5	7	3	1,5	7	3	1,5	0	-80	0	-80	0	-250	5	2,5	1,5	
18	30	4	3	2,5	8	4	1,5	8	4	2,5	0	-120	0	-120	0	-250	5	2,5	1,5	
30	50	5	4	2,5	8	4	1,5	8	4	2,5	0	-120	0	-120	0	-250	5	3	1,5	
50	80	5	4	2,5	8	5	1,5	8	5	2,5	0	-150	0	-150	0	-250	6	4	1,5	
80	120	6	5	2,5	9	5	2,5	9	5	2,5	0	-200	0	-200	0	-380	7	4	2,5	
120	150	8	6	2,5	10	6	2,5	10	7	2,5	0	-250	0	-250	0	-380	8	5	2,5	
150	180	8	6	5	10	6	4	10	7	5	0	-250	0	-250	0	-380	8	5	4	
180	250	10	8	5	11	7	5	13	8	5	0	-300	0	-300	0	-500	10	6	5	

Nota 1) Si applica ai cuscinetti a rulli cilindrici.

Nota 2) Si applica a tutti i cuscinetti a sfere.

Nota 3) Si applica agli anelli dei singoli cuscinetti realizzati per i cuscinetti montati.

Osservazione: L'alta deviazione del diametro del foro del cuscinetto a rulli cilindrici in Tabella 3.1 non deve essere applicata fra la distanza della faccia della pista di rotolamento dell'anello di 1,2 x r (max) dello smusso.

Selezione cuscinetto

Durata del cuscinetto Tolleranza

Disposizione del cuscinetto Precarico e rigidità

Lubrificazione

Velocità

Struttura dell'albero e dell'allog-giamento Gestione cuscinetto

Tolleranza del cuscinetto

• Tabella 3.2 Tolleranze dell'anello esterno (JIS Classe 5, Classe 4, Classe 2)

Unità: µm

esteri	nominale no del inetto	Variazione media nel singolo piano del diametro esterno dell'anello esterno $\Delta D_{ m mp}$							Deviazione del diametro esterno $\Delta D_{ m S}$				Variazione diametro esterno in un singolo piano radiale (1) $V_{D{ m sp}}$					Variazione media del diametro esterno $V_{D_{mp}}$		
	mm)	Clas	se 5	Clas	se 4	Classe 2		Clas	Classe 4 Classe 2		sse 2	Classe 5		Classe 5 Classe 4		Classe 2	Classe 5	Classe 4	Classe 2	
								Serie dei diametri			Serie dei diametri									
Oltre	re Fino a Alto Basso Alto Basso Alto Basso		Basso		0,	2		9	0,2	9	0,2	0,2	Max	Max	Max					
								Alto	Basso	Alto	Basso	Max	Max	Max	Max	Max				
18	30	0	-6	0	-5	0	-4	0	-5	0	-4	6	5	5	4	4	3	2,5	2	
30	50	0	-7	0	-6	0	-4	0	-6	0	-4	7	5	6	5	4	4	3	2	
50	80	0	-9	0	-7	0	-4	0	-7	0	-4	9	7	7	5	4	5	3,5	2	
80	120	0	-10	0	-8	0	-5	0	-8	0	-5	10	8	8	6	5	5	4	2,5	
120	150	0	-11	0	-9	0	-5	0	-9	0	-5	11	8	9	7	5	6	5	2,5	
150	180	0	-13	0	-10	0	-7	0	-10	0	-7	13	10	10	8	7	7	5	3,5	
180	250	0	-15	0	-11	0	-8	0	-11	0	-8	15	11	11	8	8	8	6	4	
250	315	0	-18	0	-13	0	-8	0	-13	0	-8	18	14	13	10	8	9	7	4	
315	400	0	-20	0	-15	0	-10	0	-15	0	-10	20	15	15	11	10	10	8	5	

	nominale no del	dell'a	entricità ra nello ester netto asser	no del	della super	e della inc generatrice ficie esterr	e della na con	riferiment del cuscir	icità della t to dell'anel netto assen	lo esterno nblato con	Deviazione della larghezza di un	Variazione della larghezza dell'anello esterno			
	inetto mm)	000011	K ea		riferimento anello esterno $S_{\it D}$			pista di rotolamento (2) Sea			anello singolo	V Cs			
		Classe 5	Classe 4	Classe 2	Classe 5	Classe 4	Classe 2	Classe 5	Classe 4	Classe 2	ΔC s	Classe 5	Classe 4	Classe 2	
Oltre	Fino a	Max	Max	Max	Max	Max	Max	Max	Max	Max		Max	Max	Max	
18	30	6	4	2,5	8	4	1,5	8	5	2,5		5	2,5	1,5	
30	50	7	5	2,5	8	4	1,5	8	5	2,5		5	2,5	1,5	
50	80	8	5	4	8	4	1,5	10	5	4		6	3	1,5	
80	120	10	6	5	9	5	2,5	11	6	5	Corrisponde ai valori di	8	4	2,5	
120	150	11	7	5	10	5	2,5	13	7	5	ΔB s dell'anello interno	8	5	2,5	
150	180	13	8	5	10	5	2,5	14	8	5	abbinato ad esso.	8	5	2,5	
180	250	15	10	7	11	7	4	15	10	7		10	7	4	
250	315	18	11	7	13	8	5	18	10	7		11	7	5	
315	400	20	13	8	13	10	7	20	13	8		13	8	7	

Nota 1) Si applica a tutti i cuscinetti di tipo aperto.

Nota 2) Si applica a tutti i cuscinetti a sfere.

Osservazione: La deviazione bassa del diametro esterno dei cuscinetti in Tabella 3.2 non si applica entro la distanza dalla faccia dell'anello di 1,2 x r (max) dello smusso.

Tolleranze e valori ammessi dei cuscinetti obliqui a sfere per carichi di spinta (serie TAH/TBH)

Tranne per il diametro esterno del diametro esterno dell'anello esterno, la precisione dei cuscinetti obliqui a sfere per carichi di spinta conformi a JIS Classe 4. Il diametro esterno delle tolleranze dell'anello esterno corrisponde a quanto illustrato nella Tabella 3.3.

● Tabella 3.3 Tolleranza del diametro esterno

-										
Diametro nominale esterno del cuscinetto D (mm)		Deviazione del diametro esterno $\Delta D_{ extsf{S}}$								
Oltre Fino a		Alto	Basso							
50	80	-30	-49							
80	120	-36	-58							
120	180	-43	-68							
180	250	-50	-79							
250	315	-56	-88							

3-3 Tolleranze dei cuscinetti a rulli conici incrociati

Le tolleranze per i cuscinetti a rulli conici incrociati sono illustrate nella Tabella 3.4 e nella Tabella 3.5.

Cuscinetto n.	Variazione media nel singolo piano del diametro del foro Δd mp		Variazione media nel singolo piano del diametro esterno dell'anello esterno $\Delta D_{\rm mp}$		Variazione dell'altezza assemblata Ts		Eccentricità anello esterno (Max)		
	Alto	Basso	Alto	Basso	Alto	Basso	Eccentricità radiale	Eccentricità faccia laterale	
50XRN23	0	-13	0	-15	+350	-250	7	7	
00XRN28	0	-15	0	-18	+350	-250	7	7	
50XRN33	0	-15	0	-18	+350	-250	7	7	
50XRN35	0	-10	0	-13	+350	-250	9	9	
00XRN40	0	-13	0	-15	+350	-250	7	7	
10XRN42	0	-13	0	-15	+350	-250	7	7	
330XRN045	+25	0	+25	0	+350	-250	8	8	
50XRN47	0	-13	0	-15	+350	-250	9	9	
75XRN49	0	-13	0	-15	+350	-250	7	7	
00XRN55	0	-13	0	-18	+350	-250	9	9	
457XRN060	+25	0	+25	0	+380	-380	9	9	
80XRN76	+25	0	+38	0	+406	-406	10	10	
685XRN091	+38	0	+38	0	+508	-508	12	12	

950XRN117

labella 3.5 lolleraliz	Tabella 3.5 Tolleranze dell'anello interno e dell'anello esterno serie XRG (XRGV)											
Cuscinetto n.	piano del diar	dia nel singolo netro del foro ^{Imp}	diametro esterno	el singolo piano del dell'anello esterno _{Omp}	Variazione assemb	dell'altezza olata Ts	Eccentricità anello interno (Max)					
	Alto	Basso	Alto	Basso	Alto	Basso	Eccentricità radiale	Eccentricità faccia laterale				
130XRG23	0	-10	0	-15	+350	-250	6	7				
140XRGV20	0	-13	0	-15	+350	-350	5	5				
150XRG23	0	-13	0	-15	+350	-250	6	7				
200XRGV028	0	-15	0	-18	+350	-350	7	7				
320XRG43	0	-13	0	-15	+350	-250	7	7				
480XRGV66	0	-45	-70	-100	+450	-450	11	11				

-750

Selezione cuscinetto

Durata del

Tolleranza

Disposizione cuscinetto

Precarico e rigidità

Lubrificazione

Velocità

Gestione

cuscinetto

14

Diametro nominale

foro del cuscinetto

d (mm)

Fino a

18

30

50

80

Oltre

10

18

30

50

Tolleranza del cuscinetto

Tolleranze per cuscinetti per supporto di viti con ricircolo di sfere (serie TAB)

Le tolleranze per i cuscinetti per supporto di viti con ricircolo di sfere (serie TAB) sono illustrate nella Tabella 3.6 e nella Tabella 3.7.

Variazione

diametro del

foro in un

singolo piano

radiale

 V_{dp}

Max

3

4

5

5

Max

4

5

6

Tabella 3.6 Tolleranze dell'anello interno (larghezza dell'anello esterno ed eccentricità della faccia laterale dell'anello esterno riferita alla pista di scorrimento)

foro

Max

3

3

4

5

Eccentricità faccia Deviazione della **Eccentricità** laterale riferita alla Variazione larghezza di un Deviazione radiale pista di scorrimento Eccentricità media del anello singolo della larghezza dell'anello dell'anello interno faccia laterale dell'anello del cuscinetto diametro del (oppure larghezza interno del S_d riferita al esterna di un interno cuscinetto assemblato S_{ia} e foro $V_{d^{\mathsf{mp}}}$ anello singolo) V_{Bs} assemblato dell'anello esterno Kia del cuscinetto ΔB s, ΔC s assemblato S_{ea} Classe 5 Classe 4 Max Alto Basso Max Max Max Max Max Max Max Max 2 0 -80 5 2.5 4 2.5 7 3 4 2 0 -120 2,5 5 2.5 4 3 8 4 5 2,5 -120 5 5 8 3 0 3 4 4 6 2.5

5

4

8

5

2,5

● Tabella 3.7 Tolleranze per l'anello esterno

Classe 5

Basso

-5

-6

-8

-9

Alto

0

0

0

0

Variazione del foro e variazione

media nel singolo piano del foro

 Δd mp, Δd s

Classe 4

Basso

-4

-5

-6

-7

Alto

 \cap

0

 \cap

0

Unità: µm Variazione della Variazione inclinazione della Eccentricità radiale Variazione media nel singolo piano del generatrice della Inclinazione esterna diametro esterno Variazione media del dell'anello esterno Diametro nominale diametro esterno dell'anello esterno in un singolo piano diametro esterno superficie esterna del cuscinetto dell'anello esterno esterno del radiale $V_{D^{\mathsf{mp}}}$ con riferimento assemblato ΛD mp, ΛD s cuscinetto V_{Dp} anello esterno Kea D (mm) V_Cs Classe 5 Classe 4 Classe 5 | Classe 4 Classe 5 Classe 4 Classe 5 | Classe 4 Classe 5 | Classe 4 Classe 5 Classe 4 Oltre Fino a Alto Basso Alto Basso Max 30 50 \cap 5 5 2.5 4 0 -6 80 -9 -7 5 4 50 0 0 5 3,5 6 8 5 8 3 80 120 -10 -8 8 6 5 0 0 4 8 10 5

3,5

0

-150

6

4

Per il tipo con "Flush ground" della serie TAB si stabiliscono dei rigorosi valori di tolleranza per il diametro esterno e il diametro del foro per ridurre le differenze all'interno dei cuscinetti accoppiati. (Tabella 3.8, Tabella 3.9)

■ Tabella 3.8 Tolleranze per diametro del foro dell'anello interno

	(Classe 4 "Flush ground")								
	nominale suscinetto	Variazione media nel singolo piano del diametro del foro Δd mp, Δd s							
d (r	nm)	Classe 4 "Flush ground"							
Oltre	re Fino a Alto		Basso						
10	18	0	-4						
18	30	0	-4						
30	50	0	-4						
50	80	0	-5						

Tolleranze per altri elementi diversi dal diametro del foro conformi alla Classe 4 nella Tabella 3.6.

■ Tabella 3.9 Tolleranze per diametro esterno dell'anello esterno

	(Classe 4 "Flush ground")								
Diametro esterno del D (n	cuscinetto	/ariazione media nel singolo piano del diametro esterno dell'anello esterno $\Delta D_{ m mp}, \Delta D_{ m s}$ Classe 4 "Flush ground"							
וו) ע	11111)	Classe 4 Flush ground							
Oltre	Fino a	Alto	Basso						
30	50	0	-4						
50	80	0	-5						
80	120	0	-6						

Tolleranze per altri elementi diversi dal diametro esterno conformi alla Classe 4 nella Tabella 3.7.

Selezione cuscinetto Durata del

cuscinetto

e rigidità

Lubrificazione

Velocità

Gestione

cuscinetto

3-5 Tolleranze per cuscinetti per supporto di viti con ricircolo di sfere (serie TAF)

Le tolleranze per i cuscinetti per supporto di viti con ricircolo di sfere (serie TAF) sono illustrate nella Tabella 3.10 e nella Tabella 3.11.

● Tabella 3.10 Tolleranze dell'anello interno (larghezza anello esterno compresa, JIS Classe 5)

Unità: um

Diametro nominale foro del cuscinetto d (mm)		singolo piano del	media nel del diametro foro Imp	Variazione diametro del foro in un singolo piano radiale $V_{d_{ m P}}$	Variazione media del diametro del foro Vd_{mp}	dell'anello inte	ariazione della larghezza dell'anello esterno ed interno $\Delta B_{\rm S}, \Delta C_{\rm S}$		Eccentricità radiale dell'anello inter- no del cuscinetto assemblato Kia	riferita al foro	Eccentricità faccia laterale riferita alla pista di scorrimento dell'anello interno del cuscinetto assemblato Sia	
	Oltre	Fino a	Alto	Basso	Max	Max	Alto	Basso	Max	Max	Max	Max
	18	30	0	-6	5	3	0	-120	5	4	8	8
	30	50	0	-8	6	4	0	-120	5	5	8	8
	50	80	0	-9	7	5	0	-150	6	5	8	8
	80	120	0	-10	8	5	0	-200	7	6	a	g

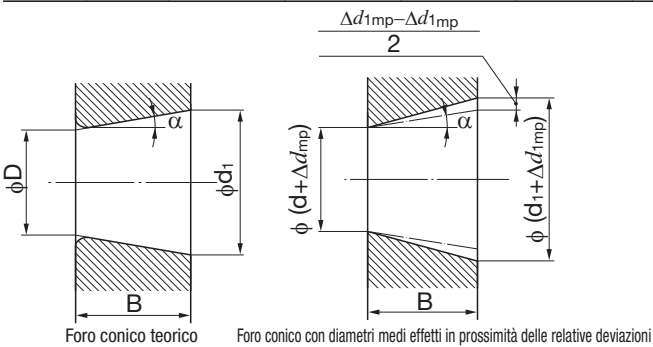
	• Tabella 3.11 Tolleranze dell'anello esterno (JIS Classe 5) Unità: μm Diametro nominale Variazione media nel singolo piano diametro esterno diametro estern										
esteri cusci			del diametro es este			Variazione media del diametro esterno V_{Dmp}		radiale dell'anello esterno	nazione della genera- trice della superficie		
	Oltre	Fino a	Alto	Basso	Max	Max	Max	Max	Max	Max	
	50	80	0	-9	7	5	6	8	8	10	
	80	120	0	-10	8	5	8	10	9	11	
	120	150	0	-11	8	6	8	11	10	13	
	150	180	0	-13	10	7	8	13	10	14	
	180	250	0	-15	11	8	10	15	11	15	
	250	315	0	-18	14	9	11	18	13	18	

Tolleranze per cuscinetti a rulli conici (cuscinetti a rulli cilindrici)

Le tolleranze dei cuscinetti a rulli conici (cuscinetti a rulli cilindrici) sono specificate da JIS. Considerato che le tolleranze JIS sono piuttosto ampie, NACHI ha definito una propria gamma ristretta per cuscinetti di precisione.

Tabella 3.12 Tolleranze per cuscinetti a rulli conici (cuscinetti a rulli cilindrici)

• Iubciii	tabella 5.12 folicitatize per describeta a fulli contott a fulli cinitation)											
	nominale	Devia	zione media d	conico	Variazione diametro del foro in un piano singolo radiale							
	cuscinetto mm)		$\Delta \epsilon$	dmp			Δd 1mp	V_{dp}				
<u> </u>		Clas	se 5	Clas	Classe 4		Classe 5 Cla		se 4	Classe 5	Classe 4	
Oltre	Fino a	Alto	Basso	Alto	Basso	Alto	Basso	Alto	Basso	Max	Max	
18	30	+10	0	+6	0	+5	0	+3	0	3	3	
30	50	+12	0	+8	0	+5	0	+4	0	4	3	
50	80	+15	0	+9	0	+6	0	+4	0	5	4	
80	120	+20	0	+10	0	+7	0	+5	0	5	4	
120	180	+25	0	+13	0	+10	0	+7	0	7	5	
180	250	+30	0	+15	0	+12	0	+9	0	8	6	
250	315	+35	0	+18	0	+15	0	+11	0	9	9	
315	400	+40	0	+23	0	+16	0	+12	0	12	12	



: Diametro nominale foro del cuscinetto

: diametro base in prossimità del foro grande teorico del conico

$$d_1 = d + \frac{1}{12} B$$

: Deviazione del diametro medio del foro in prossimità del foro piccolo teorico del conico : Deviazione del diametro medio del foro in prossimità del foro grande teorico del conico

В : Larghezza anello interno nominale del cuscinetto : Angolo nominale di conicità (metà dell'angolo del cono)

• Figura 3.1 Fori conici di cuscinetti a rulli cilindrici



Disposizione del cuscinetto

4-1 Caratteristiche cuscinetto doppio

Oltre alla disposizione in coppia, i cuscinetti obliqui a sfere e i cuscinetti per supporto di viti con ricircolo di sfere sono disponibili a coppia con disposizione di 3 e di 4. I cuscinetti in queste combinazioni sono prodotti in serie con precarico desiderato, laddove è controllata la variazione dimensionale del diametro esterno e del

diametro del foro nelle serie di cuscinetti. A causa di ciò, si consiglia di evitare di scambiare i cuscinetti in disposizione a coppia di una serie con altri cuscinetti.

Tabella 4.1 mostra le combinazioni principali e descrive le relative caratteristiche.

● Tabella 4.1 Combinazioni principali e caratteristiche

Combinazioni principali	Vista in sezione	Capacità di carico	Rigidità con momenti ribaltanti	Velocità	Caratteristiche
Spalla a spalla (DB)	Distanza dal centro di carico	1	0	©	 Si possono applicare carichi radiali e assiali in entrambe le direzioni. La distanza dal centro di carico è lunga per cui la capacità dei momenti ribaltanti è alta. Il mancato allineamento o altri errori di montaggio aumentano il carico interno e tendono a generare scheggiature premature.
Faccia a faccia (DF)	Distanza dal centro di carico	1	0	©	 La distanza dal centro di carico è minore per cui la capacità dei momenti ribaltanti è bassa. Poiché la capacità dei momenti ribaltanti è bassa, si deve tenere sotto controllo l'aumento del carico interno per mancato allineamento. In seguito a ciò questa combinazione è idonea quando non è possibile evitare il mancato allineamento o quando la deflessione dell'albero è ampia in seguito al carico.
Tandem (DT)		-	Δ	©	 Si possono applicare carichi radiali e assiali in una direzione. Poiché la capacità di carico assiale è doppia rispetto alla disposizione singola, questa combinazione è idonea per carichi assiali elevati in una direzione.
Disposizione di 3 (FFB)	Precarico	1	0	Δ	 Si possono applicare carichi radiali e assiali in tutte e due le direzioni. La capacità di carico assiale è doppia rispetto alla disposizione singola ma il precarico non è distribuito in modo uniforme su ciascun cuscinetto e la configurazione a disposizione singola è doppia rispetto alla configurazione con disposizione di due. Questa distribuzione non uniforme del precarico rende difficile impostare in modo appropriato il precarico in caso di rotazioni a velocità alta.
Disposizione di 4 (FFBB)		1	0	0	 Si possono applicare carichi radiali e assiali in entrambe le direzioni. Rispetto alla configurazione spalla a spalla per lo stesso giuoco di precarico, il precarico è doppio e la rigidità e maggiore.

Montaggio e simboli per il montaggio

I simboli utilizzati per ciascun tipo di combinazione sono mostrati nella Tabella 4.1. La sequenza di disposizione e la direzione del carico sono dei fattori fondamenti per i cuscinetti a coppia. In seguito a ciò, la superficie esterna dell'anello esterno dei cuscinetti a coppia

in Figura 4.1 presenta un simbolo di combinazione ([<]) che può essere utilizzato per controllare la sequenza della disposizione. Se i cuscinetti vengono disposti nella sequenza giusta, i simboli sulla superficie esterna di ciascun cuscinetto corrispondono a "<"

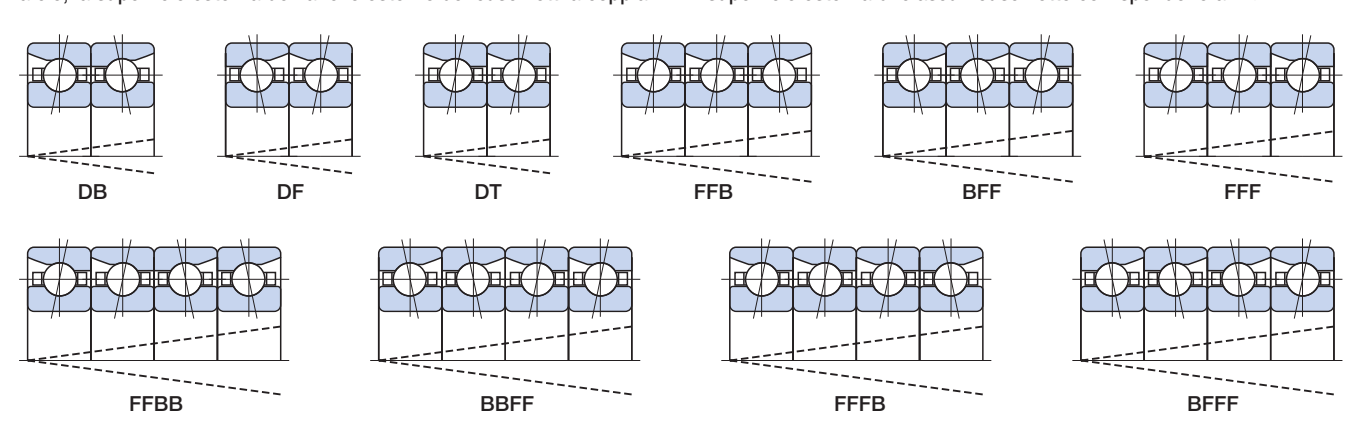
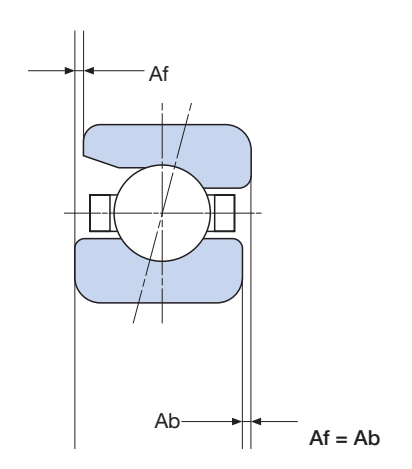


Figura 4.1 Combinazioni di serie e simboli di combinazione dell'anello esterno

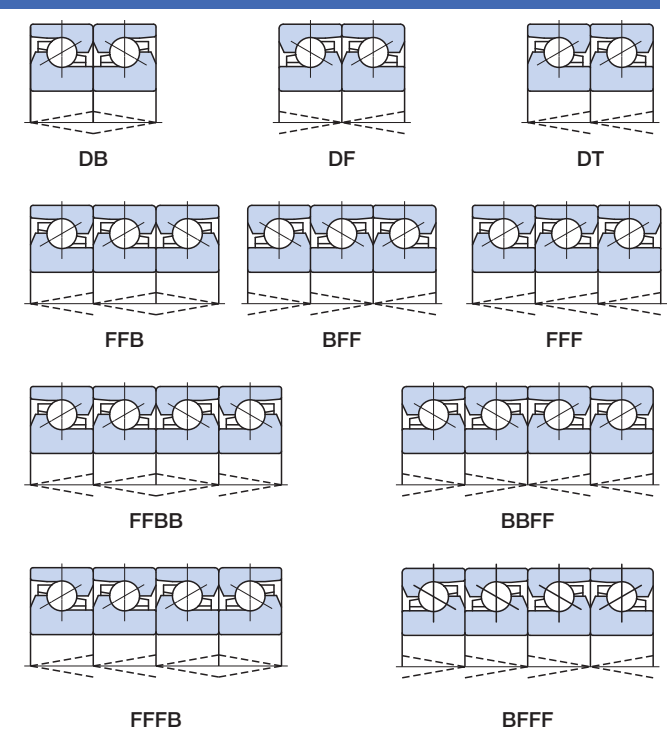
Cuscinetti obliqui a sfere con "Flush ground"

Nel caso dei cuscinetti obliqui a sfere con "flush ground" la dimensione della larghezza laterale della faccia (Af) e la dimensione della larghezza laterale posteriore (Ab) sono controllate per corrispondere allo stesso valore. Pertanto, con qualsiasi serie di combinazione si ottiene il precarico desiderato. (Figura 4.2). I cuscinetti obliqui a sfere con "flush ground" vengono forniti singolarmente (simbolo suffisso: U) o in coppia (simbolo suffisso: DU). Le serie in coppia presentano una variazione dimensionale piccola del diametro del foro e del diametro esterno. Se si utilizza la serie U in una combinazione, selezionare un cuscinetto i cui valori effettivamente misurati del diametro esterno e del diametro del foro sono simili tra loro.

Per la serie TAB con "flush ground" dei cuscinetti per supporto di viti con ricircolo di sfere, sulla superficie esterna dell'anello esterno è riportato il simbolo di combinazione ([<]). Per maggiori informazioni riquardo le combinazioni e i relativi simboli, vedere la Figura 4.3.



• Figura 4.2 Cuscinetti obliqui a sfere con "flush ground"



• Figura 4.3 Combinazioni di serie di cuscinetti con "flush ground" e simboli di combinazione

Selezione cuscinetto

Durata del cuscinetto

Tolleranza

cuscinetto

Precarico e rigidità

Lubrificazione

Velocità

Gestione

cuscinetto



Precarico e rigidità

5-1 Finalità del precarico

Generalmente, i cuscinetti volventi vengono montati in modo che abbiano un giuoco interno ridotto durante il funzionamento, anche i cuscinetti obliqui a sfere possono essere montati applicando un giuoco negativo prestabilito, appropriato (precarico assiale). Tale valore è noto come "precarico". Per stabilire il precarico è richiesta molta attenzione. Un precarico inadeguato può aumentare la coppia di attrito, la temperatura, può avere effetti negativi sulla rumorosità e ridurre la durata del cuscinetto provocando anche altri problemi. Si riporta di seguito un elenco di quello che si può ottenere quando si esegue il precarico.

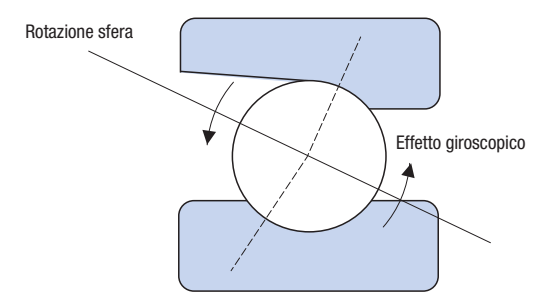
- Ridotto spostamento assiale in seguito a forza esterna e maggiore rigidità assiale
- Contribuisce a evitare le vibrazioni e a ridurre il rumore e ad ottenere velocità superiori in seguito alla maggiore rigidità assiale
- Evita la corrosione da attrito dovuta a vibrazioni esterne
- Rotazione uniforme
- Contribuisce a ridurre il rumore e la formazione del calore in seguito alla forza centrifuga delle sfere e all'effetto giroscopico

Effetto giroscopico

Le sfere dei cuscinetti obliqui ruotato attorno agli assi di rotazione girando attorno a un asse orbitale (linea dell'asse). Tra l'asse di rotazione e l'asse orbitale si genera un angolo e un momento angolare quando una sfera tenta di girare attorno al centro dei due

assi differenti. Tale fenomeno è noto come "effetto giroscopico" (Figura 5.1).

La dimensione dell'effetto giroscopico è proporzionale alla velocità angolare della rotazione e alla velocità angolare orbitale. Alle basse velocità di rotazione l'effetto giroscopico è talmente minimo da poter essere ignorato ma la generazione del calore in seguito allo slittamento provocato dall'effetto giroscopico in corrispondenza di velocità di rotazione elevate non può essere trascurata. Per ridurre lo slittamento provocato dall'effetto giroscopico si deve preservare l'attrito (carico sfera x coefficiente di attrito) tra le sfere e la superficie della pista di scorrimento. Ciò significa che a volte è possibile scegliere il precarico minimo.



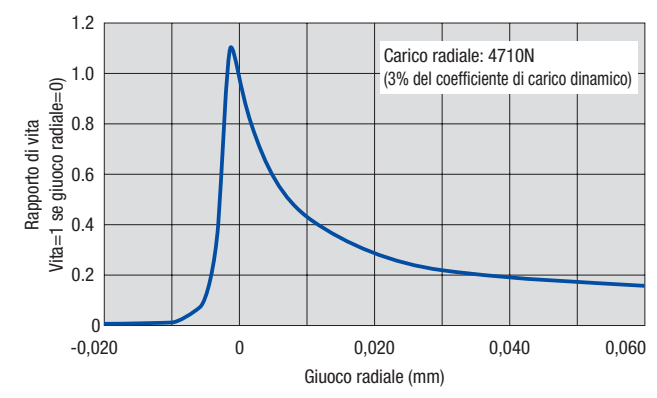
• Figura 5.1 Effetto giroscopico

5-2 Metodi di precarico

I cuscinetti con combinazione di precarico possono essere ampiamente suddivisi in precarico a posizione fissa e a pressione costante

Tabella 5.1 (pagina 15) mostra alcuni esempi grafici e descrive le caratteristiche di ciascun tipo di precarico.

Anche un cuscinetto a rulli cilindrici con foro conico può essere utilizzato con precarico radiale (giuoco radiale negativo) applicato. Tuttavia è richiesta un'attenzione estrema poiché un precarico radiale troppo elevato riduce drasticamente la durata del cuscinetto (Figura 5.2).



• Figura 5.2 Cuscinetti a rulli cilindrici (NN3020) - giuoco radiale e durata

5-3 Misurazione del precarico

- Metodo di misurazione con uso di carico assiale Se il precarico viene effettuato mediante molle (precarico a pressione costante) il precarico viene determinato se lo spostamento delle molle è noto.
 - Se il precarico viene effettuato mediante ghiere di serraggio (precarico a posizione fissa)il precarico viene determinato in base al rapporto tra la coppia di serraggio della ghiera e la forza di serraggio. Tuttavia si richiede molta attenzione perché nel rapporto tra la coppia di serraggio della ghiera e la forza di serraggio è presente una variazione ampia insieme alla precisione e alla ruvidità della parte filettata.
- ② Metodo di misurazione basato sullo spostamento assiale Il valore di precarico è determinato in base al rapporto tra il carico assiale sul cuscinetto e lo spostamento assiale.
- ③ Metodo di misurazione basato sulla coppia di attrito alla partenza del cuscinetto

Per utilizzare questo sistema si deve creare innanzitutto un grafico del carico e della coppia iniziale del cuscinetto esterno. Tuttavia, è richiesta molta attenzione in seguito alla variazione dovuta al tipo di cuscinetto e alle condizioni di lubrificazione, ecc.

Tabella 5.1 Metodi di precarico

Sistemi di precarico	Esempio di strutturazione	Caratteristiche
Precarico a	Sistema che utilizza un cuscinetto a coppia con precarico pre-regolato o un distanziale regolato a livello dimensionale	 Dato che si utilizza la dispersione del cuscinetto, il precarico prescritto può essere ottenuto semplicemente tramite il serraggio di una ghiera. La regolazione provoca inconsistenza di precarico. La generazione di calore provoca inconsistenza di precarico. Applicando un carico assiale eccessivo si può provocare la perdita di precarico.
fissa	Sistema di regolazione del precarico con ghiera di serraggio	 Precarico uniforme anche se la regolazione è inconsistente Possibilità di praticare ulteriore serraggio La generazione di calore provoca inconsistenza di precarico. Applicando un carico assiale eccessivo si può provocare la perdita di precarico.
Precarico a pressione costante	Sistema con molla	 Precarico uniforme e costante durante il funzionamento Nessuna perdita di precarico Idoneo per le velocità elevato In linea di principio si possono applicare carichi assiali in una direzione Minore rigidità rispetto al precarico a posizione fissa per la stessa quantità di precarico

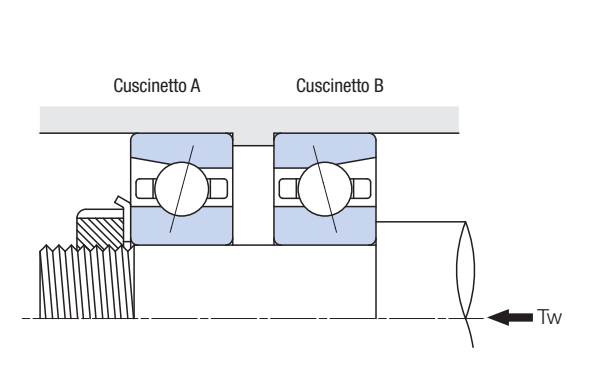
5-4 Effetto del precarico

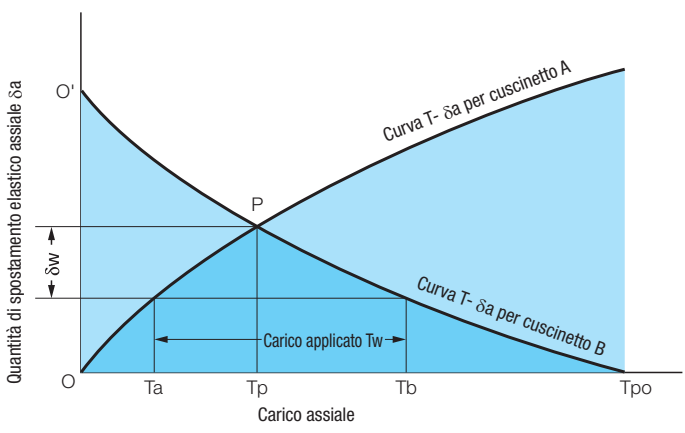
Di seguito si descrive l'analisi del grafico di distribuzione del carico e spostamento assiale su due cuscinetti quando il precarico è applicato con un carico esterno, come illustrato in **Figura 5.3**.

- (1) Disegnare la curva del carico assiale T deflessione assiale δa per il cuscinetto A.
- ② Prendere il precarico Tp sull'asse T, determinare l'intersezione P con la curva del cuscinetto A, disegnare la curva T- δa del cuscinetto B attraverso il punto P.
- ③ Collegare le due curve orizzontalmente lungo l'asse T con una lunghezza equivalente al valore del carico esterno Tw.
- 4 I carichi Ta e Tb, che corrispondo alle intersezioni delle due linee diventeranno i carichi dei singoli cuscinetti sottoposti alle condizioni di carico esterno.

⑤ Lo spostamento assiale si ottiene come lo spostamento δw del cuscinetto B. (Lo spostamento del cuscinetto B si ottiene sottraendo lo spostamento di Tp dallo spostamento per Tb) Il motivo è che se i due cuscinetti sono precaricati, lo spostamento di entrambi non è uniforme all'interno di un intervallo in cui il precarico non diventa zero per un carico esterno. (In Figura 5.3 è uniforme). In altri termini, il cuscinetto A viene spostato quanto il cuscinetto B è spostato dal carico esterno.

Se il carico esterno aumenta e il precarico viene eliminato, il carico Tb sul cuscinetto B sarà uguale al carico esterno Tw e il carico sul cuscinetto A diventa zero. L'entità del carico esterno che causa perdita di precarico è indicata in Figura 5.3 con Tpo.





• Figura 5.3 Precarico a posizione fissa

Selezione del cuscinetto

Durata del cuscinetto

Tolleranza del cuscinetto

Disposizione del cuscinetto

> Precarico e rigidità

Lubrificazione

Velocità limite

Struttura dell'albero e dell'alloggiamento

Precarico e rigidità

5-5 Precarico standard e rigidità assiale

5.5.1 Cuscinetti obliqui a sfere

I valori di precarico e rigidità assiale per disposizioni a coppia, faccia a faccia e spalla a spalla sono illustrati nella **Tabella 5.3** da **1** a **6** (pagine da 16 a 18). I valori di precarico per disposizioni multiple si ottengono moltiplicando per i coefficienti nella **Tabella 5.2**.

● Tabella 5.2 Fattori di precarico per disposizioni multiple

Disposizione a 3 file	Disposizio	ne a 4 file
FFB·BFF	FFFB-BFFF	FFBB·BBFF
1,36	1,57	2

● Tabella 5.3

1 Serie 7900C con angolo di contatto a 15°

Numero del diametro	E (precarico	ultra leggero)	L (precario	o leggero)	M (precar	ico medio)
del foro	Precarico (N)	Rigidità assiale (N/µm)	Precarico (N)	Rigidità assiale (N/µm)	Precarico (N)	Rigidità assiale (N/µm)
00	5	10	15	15	30	20
01	7	12	20	18	40	24
02	8	13	25	21	50	28
03	8	13	25	21	50	28
04	15	19	40	27	80	36
05	15	19	50	33	100	43
06	15	21	50	36	100	48
07	25	28	70	41	140	56
08	25	28	80	44	155	60
09	35	35	100	53	195	70
10	35	35	100	56	195	72

2 Serie 7900AC con angolo di contatto a 25°

Numero del diametro	L (precario	co leggero)	M (precar	ico medio)	H (precario	co pesante)
del foro	Precarico (N)	Rigidità assiale (N/µm)	Precarico (N)	Rigidità assiale (N/µm)	Precarico (N)	Rigidità assiale (N/µm)
00	20	33	88	59	196	82
01	20	33	98	65	216	90
02	29	42	108	67	235	94
03	29	42	118	74	255	102
04	59	65	235	107	490	149
05	69	69	265	120	560	169
06	78	78	294	134	628	190
07	88	88	323	147	785	212
08	88	98	412	165	1.000	244
09	98	109	470	188	1.040	260
10	118	118	520	208	1.140	284

3 Serie 7000C con angolo di contatto a 15°

Numero del diametro	E (precarico	ultra leggero)	L (precario	co leggero)	M (precar	ico medio)	H (precario	co pesante)
del foro	Precarico (N)	Rigidità assiale (N/µm)						
00	20	13	50	20	100	29	145	37
01	20	14	50	21	100	31	145	39
02	20	15	50	23	100	34	145	42
03	20	16	50	25	100	35	145	43
04	50	23	100	33	195	48	295	59
05	50	26	100	36	195	50	295	63
06	50	27	100	38	195	53	390	75
07	70	33	145	46	295	64	390	75
08	70	34	145	49	295	68	590	98
09	70	34	145	49	295	68	590	98
10	70	36	145	51	295	70	590	100
11	100	43	195	56	390	78	785	112
12	100	43	195	58	390	82	785	115
13	100	47	195	61	390	85	785	123
14	145	57	295	75	590	105	1170	149
15	145	57	295	77	590	107	1170	153
16	145	57	295	75	590	105	1170	149
17	195	65	390	89	785	125	1470	171
18	195	65	390	87	785	121	1470	165
19	195	68	390	91	785	125	1470	171
20	195	70	390	93	785	127	1470	173

4 Serie 7000AC con angolo di contatto a 25°

Numara dal diamatra	L (precario	o leggero)	M (precari	co medio)	H (precario	co pesante)
Numero del diametro del foro	Precarico (N)	Rigidità assiale (N/µm)	Precarico (N)	Rigidità assiale (N/µm)	Precarico (N)	Rigidità assiale (N/µm)
00	39	39	118	62	314	95
01	39	44	127	67	343	104
02	49	49	157	83	353	118
03	59	59	216	98	520	144
04	59	59	274	110	608	152
05	108	83	392	140	804	187
06	118	91	441	158	892	208
07	127	98	539	174	1.156	236
08	147	113	617	193	1.176	256
09	216	135	745	213	1.646	300
10	225	141	784	224	1.744	317
11	314	157	1.040	254	2.078	341
12	333	167	1.098	268	2.205	362
13	363	191	1.225	299	2.450	402
14	392	196	1.460	332	3.010	443
15	412	206	1.530	348	3.155	464
16	529	230	1.900	373	3.880	504
17	549	239	1.990	390	4.080	530
18	676	260	2.185	405	4.600	555
19	706	272	2.300	427	4.810	580
20	745	287	2.400	445	5.050	608

Selezione del cuscinetto

Durata del cuscinetto

Tolleranza del cuscinetto Disposizione del cuscinetto

Precarico e rigidità

Lubrificazione

Velocità limite

Struttura dell'albero e dell'alloggiamento Gestione del cuscinetto

Precarico e rigidità

 $\fine 5$ Serie 7200C con angolo di contatto a 15°

Numero del diametro	E (precarico	ultra leggero)	L (precario	co leggero)	M (precar	ico medio)	H (precario	co pesante)
del foro	Precarico (N)	Rigidità assiale (N/µm)						
00	30	16	70	24	145	36	195	42
01	30	16	70	24	145	36	195	42
02	30	17	70	25	145	38	195	44
03	30	17	70	25	145	37	195	44
04	70	25	145	37	295	53	490	71
05	70	29	145	41	295	58	490	77
06	70	29	145	41	295	58	590	83
07	100	35	195	47	490	74	590	82
08	100	36	195	49	490	77	785	98
09	100	36	195	50	490	77	785	98
10	100	39	195	52	490	80	785	102
11	145	46	295	63	590	88	980	114
12	145	46	295	61	590	84	980	109
13	145	47	295	64	590	88	980	113
14	195	54	390	73	785	102	1470	139
15	195	56	390	75	785	105	1470	144
16	195	58	390	77	785	105	1470	143
17	295	68	490	85	980	117	1960	166
18	295	67	490	83	980	114	1960	161
19	295	68	490	85	980	114	1960	159
20	295	68	490	85	980	115	1960	159

6 Serie 7200AC con angolo di contatto a 25°

Numero del diametro	L (precario	co leggero)	M (precari	ico medio)	H (precario	co pesante)
del foro	Precarico (N)	Rigidità assiale (N/µm)	Precarico (N)	Rigidità assiale (N/µm)	Precarico (N)	Rigidità assiale (N/µm)
00	39	44	186	78	412	108
01	39	44	196	78	421	111
02	69	57	265	95	530	129
03	78	60	274	98	628	143
04	118	74	420	120	853	164
05	147	92	430	139	922	188
06	157	92	628	165	1.314	227
07	225	119	853	194	1.890	270
80	255	127	950	216	1.960	288
09	333	145	1.200	241	2.470	321
10	353	153	1.295	259	2.655	345
11	460	177	1.500	278	3.145	379
12	540	186	1.600	280	3.410	383
13	600	206	2.069	328	4.175	440
14	610	210	2.108	335	4.260	444
15	650	223	2.255	358	4.310	464
16	800	241	2.725	389	5.730	531
17	940	262	2.970	407	6.090	549
18	1.200	285	3.745	441	7.620	591
19	1.235	294	3.870	450	8.140	612
20	1.588	324	4.930	503	9.950	677

5.5.2 Cuscinetti obliqui a sfere ad alta velocità

● Tabella 5.4 Serie BNH000 con angolo di contatto a 15°

Numero del	Diametro del	L (precaric	o standard)
diametro del foro	foro (mm)	Precarico (N)	Rigidità assiale (N/µm)
07	35	78,5	44
08	40	98,1	49
09	45	98,1	52
10	50	98,1	54
11	55	147	61
12	60	147	64
13	65	147	67
14	70	245	88
15	75	245	91
16	80	294	98
17	85	294	98
18	90	392	115
19	95	392	119
20	100	392	123
21	105	490	136
22	110	588	144
24	120	588	147
26	130	785	163
28	140	834	174
30	150	1080	200
32	160	1180	206
34	170	1370	221

5.5.3 Cuscinetti obliqui a sfere con carico di spinta

● Tabella 5.5

Serie TAH con angolo di contatto a 30°

Diametro nominale M (precarico medio)										
Diametro nominale	M (precari	ico medio)								
del foro (mm)	Precarico (N)	Rigidità assiale (N/µm)								
50	294	226								
55	392	262								
60	392	280								
65	392	280								
70	588	327								
75	588	327								
80	686	361								
85	686	361								
90	1080	449								
95	1080	449								
100	1080	469								
105	1180	490								
110	1370	528								
120	1470	566								
130	1860	621								
140	1960	654								
150	2450	721								
160	2650	779								
170	3040	800								

2 Serie TBH con angolo di contatto a 40°

Diametro nominale	M (precari	ico medio)
del foro (mm)	Precarico (N)	Rigidità assiale (N/µm)
50	539	415
55	686	458
60	686	490
65	686	528
70	1080	599
75	1080	599
80	1270	671
85	1270	671
90	1860	776
95	1860	810
100	1860	847
105	2060	858
110	2450	943
120	2550	1.020
130	3330	1.111
140	3530	1.177
150	4310	1.269
160	4510	1.367
170	5300	1.431

Selezione del cuscinetto

Durata del cuscinetto Tolleranza

del cuscinetto Disposizione del cuscinetto

> Precarico e rigidità

Lubrificazione Velocità

Struttura dell'albero e dell'alloggiamento

Precarico e rigidità

5.5.4 Cuscinetti per supporto di viti con ricircolo di sfere

● Tabella 5.6

1 Serie TBH con angolo di contatto a 60° Precario standard: M (medio)

	Disp	osizione a 2	file	Disp	osizione a 3	file			Disposizio	ne a 4 file		
		DB/DF			BFF/FFB			BBFF/FFBB			BFFF/FFFB	
Cuscinetto n.	Precarico (N)	Rigidità assiale (N/µm)	Coppia iniziale (N·cm)									
15TAB04	2160	735	15	2940	1080	20	4310	1470	30	3430	1320	25
17TAB04	2160	735	15	2940	1080	20	4310	1470	30	3430	1320	25
20TAB04	2160	735	15	2940	1080	20	4310	1470	30	3430	1320	25
25TAB06	3330	981	20	4510	1470	27	6670	1960	40	5200	1910	30
30TAB06	3330	981	20	4510	1470	27	6670	1960	40	5200	1910	30
35TAB07	3920	1230	25	5300	1770	35	7840	2350	50	6180	2300	40
40TAB07	3920	1230	25	5300	1770	35	7840	2350	50	6180	2300	40
40TAB09	5200	1320	50	7060	1910	68	10400	2550	100	8140	2500	80
45TAB07	4120	1270	30	5590	1910	40	8240	2550	60	6470	2500	45
45TAB10	5980	1470	60	8140	2160	82	12000	2890	120	9410	2790	95
50TAB10	6280	1520	65	8530	2260	88	12600	3040	130	9810	2940	100
55TAB10	6280	1520	65	8530	2260	88	12600	3040	130	9810	2940	100
55TAB12	7060	1770	70	9610	2550	95	14100	3480	140	11100	3380	110
60TAB12	7060	1770	70	9610	2550	95	14100	3480	140	11100	3380	110

Nota) La coppia iniziale mostra i valori per un tipo aperto e un tipo con guarnizione non a contatto con lubrificazione con grasso.

2 Serie TAF con angolo di contatto a 50° o 55° Precario standard: M (medio)

Z OCHC IAI C												
	Disp	osizione a 2	tile	Disposizione a 3 file			Disposizione a 4 file					
		DB/DF		BFF/FFB			BBFF/FFBB			BFFF/FFFB		
Cuscinetto n.	Precarico (N)	Rigidità assiale (N/µm)	Coppia iniziale (N·cm)	Precarico (N)	Rigidità assiale (N/µm)	Coppia iniziale (N·cm)	Precarico (N)	Rigidità assiale (N/µm)	Coppia iniziale (N·cm)	Precarico (N)	Rigidità assiale (N/µm)	Coppia iniziale (N·cm)
25TAF06	1670	555	20	2270	805	27	3340	1110	40	2620	1060	30
30TAF07	1860	642	20	2530	944	27	3720	1284	40	2920	1180	30
35TAF09	3700	908	55	5030	1340	75	7400	1816	110	5810	1680	85
40TAF09	3700	908	55	5030	1340	75	7400	1816	110	5810	1680	85
40TAF11	4600	1020	80	6250	1530	110	9200	2040	160	7220	1960	125
45TAF11	4600	1020	80	6250	1530	110	9200	2040	160	7220	1960	125
50TAF11	4600	1020	80	6250	1530	110	9200	2040	160	7220	1960	125
60TAF13	5200	1130	105	7070	1680	145	10400	2260	210	8160	2140	165
60TAF17	8300	1440	215	11300	2110	290	16600	2880	430	13000	2660	340
80TAF17	8300	1440	215	11300	2110	290	16600	2880	430	13000	2660	340
100TAF21	13200	1970	485	17900	2940	660	26400	3940	970	20700	4160	760
120TAF03	19600	2550	700	26600	3810	950	39200	5100	1400	30800	4810	1100

Nota) La coppia iniziale mostra i valori con lubrificazione con grasso.

5.5.5 Giuoco radiale interno per cuscinetti a rulli cilindrici a file multiple

Il giuoco radiale interno per cuscinetti a rulli cilindrici a file multiple è specificato dal JIS; Nachi ha definito una propria gamma ristretta per

massimizzare la precisione di rotazione. I giochi radiali interni per cuscinetti a rulli cilindrici e per cuscinetti a rulli conici è specificata nella Tabella 5.7. Quando si manovrano e si montano i cuscinetti con gioco non intercambiabile bisogna prestare molta attenzione, poiché non esiste intercambiabilità con altro anello esterno o interno del cuscinetto.

● Tabella 5.7

1 Giuoco non intercambiabile per cuscinetto a rulli cilindrici

Unità: µm

	nominale			Giuoco per	cuscinetto a rulli d	cilindrici (non inter	cambiabile)		
	cuscinetto mm)	C1	C1na		na l	Cı	na	C3na	
Oltre	Fino a	Min	Min Max		Max	Min	Max	Min	Max
24	30	0	10	10	25	25	35	40	50
30	40	0	12	12	25	25	40	45	55
40	50	0	15	15	30	30	45	50	65
50	65	0	15	15	35	35	50	55	75
65	80	0	20	20	40	40	60	70	90
80	100	0	25	25	45	45	70	80	105
100	120	0	25	25	50	50	80	95	120
120	140	0	30	30	60	60	90	105	135
140	160	0	35	35	65	65	100	115	150
160	180	0	35	35	75	75	110	125	165
180	200	0	40	40	80	80	120	140	180
200	225	0	45	45	90	90	135	155	200
225	250	0	50	50	100	100	150	170	215
250	280	0	55	55	110	110	165	185	240
280	315	0	60	60	120	120	180	205	265
315	355	0	65	65	135	135	200	225	295

2 Giuoco non intercambiabile per cuscinetto a rulli conici

Unità: µm

	nominale		Giuo	co per cuscinetto a rulli	conici (non intercambia	ıbile)	
	cuscinetto nm)	C9	na	C1	na	C2	na en
Oltre	Fino a	Min	Max	Min	Max	Min	Max
24	30	5	10	15	25	25	35
30	40	5	12	15	25	25	40
40	50	5	15	17	30	30	45
50	65	5	15	20	35	35	50
65	80	10	20	25	40	40	60
80	100	10	25	35	55	45	70
100	120	10	25	40	60	50	80
120	140	15	30	45	70	60	90
140	160	15	35	50	75	65	100
160	180	15	35	55	85	75	110
180	200	20	40	60	90	80	120
200	225	20	45	60	95	90	135
225	250	25	50	65	100	100	150
250	280	25	55	75	110	110	165
280	315	30	60	80	120	120	180
315	355	30	65	90	135	135	200

Selezione del cuscinetto Durata del cuscinetto

Tolleranza del cuscinetto Disposizione del cuscinetto

> Precarico e rigidità

Lubrificazione

Velocità

Struttura dell'albero e dell'alloggiamento



6-1 Funzioni della lubrificazione

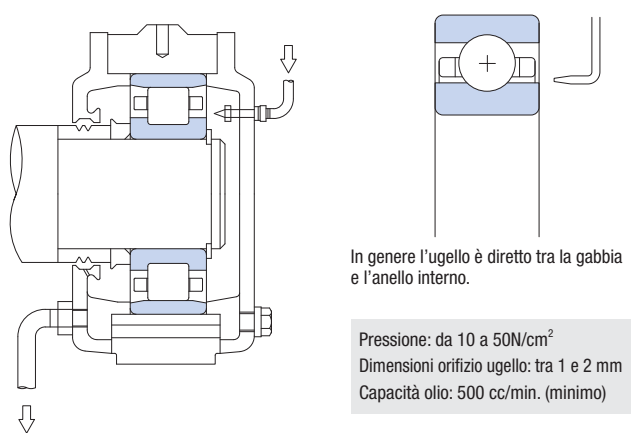
La funzione principale dei lubrificanti nei cuscinetti a contatto volvente è ridurre l'attrito e l'usura di ciascun elemento. I sistemi di lubrificazione appropriati e gli agenti lubrificanti giusti contribuiscono sensibilmente alle prestazioni e alla durata dei cuscinetti a contatto volvente.

- Di seguito si riportano le funzioni della lubrificazione.
- (1) Lubrificazione delle superfici di attrito
 - Riduzione dell'attrito volvente fra corpi volventi e piste di rotolamento e riduzione dell'attrito radente fra le facce dei rulli e i bordi della pista di rotolamento
- Riduzione dell'attrito radente fra i corpi volventi e la gabbia di ritenuta
- Riduzione dell'attrito radente fra gabbia di ritenuta e le facce dei bordi della pista di rotolamento
- 2 Rimozione del calore prodotto dall'attrito o da altri meccanismi
- (3) Impermeabilità alla polvere e prevenzione dalla ruggine
- (4) Aiuto nella riduzione della concentrazione da fatica
 - Distribuzione uniforme della fatica sulle superfici volventi a contatto
 - 2) Effetto attutito di carichi per urto

6-2 Sistemi di lubrificazione

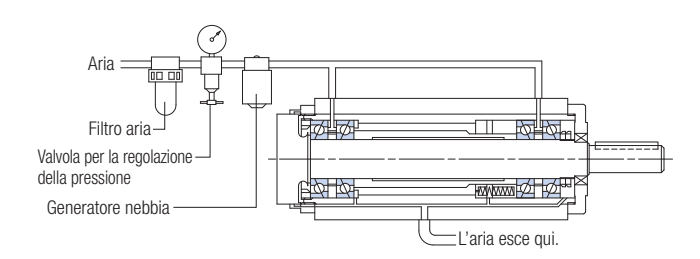
6.2.1 Lubrificazione a olio

- (1) Lubrificazione forzata (lubrificazione a spruzzo)
 - La lubrificazione forzata è utilizzata per produrre il raffreddamento in corrispondenza di condizioni di alta velocità di rotazione o di temperatura ambiente elevata.
 - La lubrificazione a getto fornisce olio lubrificante vaporizzato utilizzando olio sotto pressione e un ugello di piccole dimensioni con effetto di raffreddamento.
 - L'apertura per lo scarico dell'olio deve essere più grande di quella per la fornitura dell'olio poiché l'olio scosso si accumula all'interno dell'alloggiamento aumenta la generazione di calore e la perdita di potenza. Nel caso specifico della lubrificazione a getto è necessaria un'apertura per lo scarico dell'olio almeno 10 volte più grande dell'apertura di rifornimento opposta all'ugello e si deve utilizzare una pompa per favorire lo scarico forzato.
 - La Figura 6.1 mostra un esempio di lubrificazione a getto.

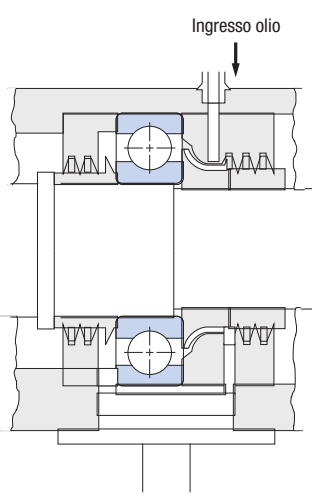


- Figura 6.1 Esempio di lubrificazione a getto
- 2 Lubrificazione a vapore (lubrificazione a nebbia d'olio)
 - Con questo metodo di lubrificazione, il cuscinetto è raffreddato ad aria e una minima quantità d'olio richiesta per la lubrificazione è vaporizzata e spruzzata sul cuscinetto. La Figura 6.2 mostra un esempio di lubrificazione a nebbia d'olio.
 - L'aria inviata al generatore della nebbia d'olio tramite la valvola di regolazione della pressione viene miscelata all'olio e spruzzata sul cuscinetto.
 - L'ugello può spruzzare direttamente sul cuscinetto oppure può spruzzare sul cuscinetto utilizzando la forza centrifuga della

- parte scanalata di un anello di centrifugazione montato sull'asse (Figura 6.3).
- In generale la pressione della nebbia è compresa tra 5 e 15 N/cm², con qualche cc di olio mescolato con una quantità tra 10 e 50ℓ/parti di aria ogni ora.
- La nebbia d'olio utilizza solo una minima quantità di olio per cui è indicata per il funzionamento ad alta velocità con ridotta perdita di potenza del cuscinetto ma poiché il calore specifico dell'aria non è elevato e non ha un alto effetto riscaldante, questo tipo di lubrificazione è idonea per applicazioni con carico relativamente basso.



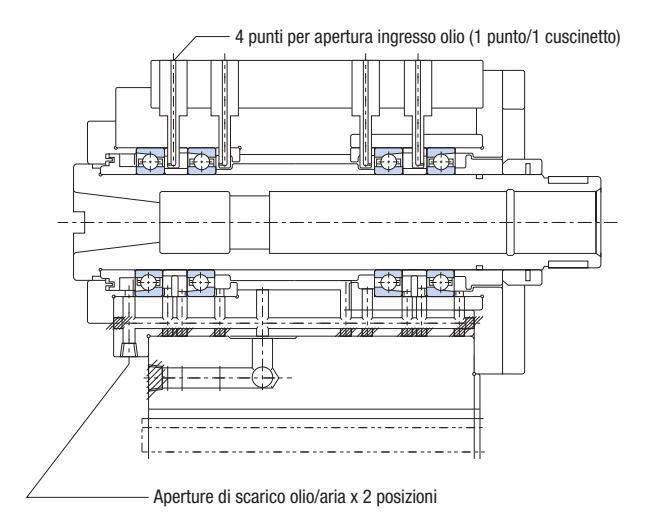
• Figura 6.2 Esempio di unità a mandrino che utilizza lubrificazione a vapore



• Figura 6.3 Esempio di fornitura di nebbia d'olio tramite anello di centrifugazione

(3) Lubrificazione aria olio

- Usando la lubrificazione aria/olio, una piccolissima quantità di olio viene scaricata da un pistone di misurazione ad intervalli fissi; l'olio lubrificante è alimentato dalla valvola miscelatrice nell'aria compressa, quindi fornito costantemente all'elemento volvente del cuscinetto.
- Dato che la fornitura di una quantità piccola e misurata di olio lubrificante nuovo è costante, questo metodo è idoneo per applicazioni ad alta velocità, in cui la generazione del calore è minima
- La lubrificazione aria olio è più ecologica perché i requisiti dell'olio presentano un rapporto 1/10 quelli della lubrificazione a vapore e l'olio è fornito in forma di gocce anziché di nebbia.
- Figura 6.4 mostra un esempio di lubrificazione a nebbia d'olio.



• Figura 6.4 Esempio di lubrificazione a nebbia d'olio di un'unità a mandrino

6.2.2 Lubrificazione con grasso

Si considerino le precauzioni seguenti qualora si utilizzi la lubrificazione con grasso.

- Selezionare il tipo di grasso appropriato. Per esempi dei tipi di grasso principali utilizzati per i cuscinetti delle macchine utensili vedere la Tabella 6.1.
- Controllare che la quantità di grasso e i punti di rifornimento siano corretti. Una quantità di grasso pari al 10 - 20% del volume di spazio interno del cuscinetto è consigliata per cuscinetti con rulli ad alta velocità. Si noti, tuttavia che si consiglia una quantità compresa tra il 40 e il 50% per un cuscinetto per supporto di viti con ricircolo di sfere (tipo aperto).
- Un ingrassaggio eccessivo può provocare un innalzamento delle temperature e ampia perdita di potenza in seguito ad agitazione. Per maggiori informazioni sul volume dello spazio interno dei cuscinetti vedere la Tabella 6.2 (a pagina 24 e 25).
- Per un esempio che illustra la differenza di aumento della temperatura del cuscinetto in seguito al metodo di lubrificazione, vedere Figura 6.5.

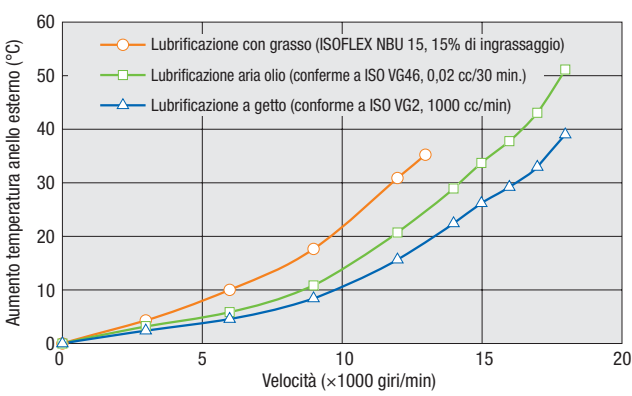


 Figura 6.5 Confronto di aumento di temperatura provocato da metodi di lubrificazione differenti

Tabella 6.1 Tipi principali di grasso utilizzati per i cuscinetti di macchine utensili

Marchio	Produttore	Olio base	Addensante	Intervallo di temperatura di funzionamento consigliato °C	Applicazioni principali
ISOFLEX NBU15	NOK KLUBER	Olio di estere	Composto di bario	-40 ~ +130	Cuscinetto mandrino
ISOFLEX LDS18 Special A	NOK KLUBER	Olio di estere	Litio	-60 ~ +130	Cuscinetto mandrino
Multemp LRL N. 3	Kyodo Yushi	Esteri di polioli	Litio	-50 ~ +150	Cuscinetto mandrino
Alvania Grease S N. 2	Showa Shell Oil	Olio minerale	Litio	-25 ~ +120	Cuscinetti per supporto di viti con ricircolo di sfere
Multemp PS N. 2	Kyodo Yushi	Olio di diestere + olio di idrocarburi	Litio	-55 ~ +130	Cuscinetti per supporto di viti con ricircolo di sfere

Selezione del cuscinetto

Durata del

Tolleranza del cuscinetto

Disposizione del cuscinetto

Precarico e rigidità

Lubrificazione

Velocità

Struttura dell'albero e dell'alloggiamento Gestione

Lubrificazione

● Tabella 6.2 Volume spazio interno del cuscinetto

1 Volume spazio interno di cuscinetti obliqui a sfere e cuscinetti a rulli cilindrici

Numero del	Diametro del				Serie			
diametro del foro	foro (mm)	7900C 7900AC	7000C 7000AC	7200C 7200AC	BNH000	TAH TBH	NN3000	NNU4900
00	10	0,44	0,9	1,2				
01	12	0,49	1,0	1,7				
02	15	0,68	1,4	2,2				
03	17	0,68	1,7	3,0	—			
04	20	1,5	2,9	4,7				
05	25	1,9	3,4	5,3			3,6	
06	30	2,2	4,8	8,2			5,9	
07	35	3,0	6,4	10,3	5,6		7,5	
80	40	5,2	7,8	13,0	7,2		9,5	
09	45	5,7	10,2	15,4	9,0		12,8	
10	50	6,2	10,7	18,6	9,7	8,0	13,8	
11	55	_	15,9	25,9	14,0	12,0	19,6	
12	60		17,0	33,2	15,0	13,0	20,7	
13	65		18,2	39,1	16,0	14,0	21,8	
14	70		27,7	45,2	22,0	19,0	30,4	
15	75		28,7	49,4	23,0	20,0	32,9	
16	80		32,1	59,0	30,0	27,0	46,3	
17	85		36,3	73,5	31,0	28,0	47,8	
18	90		49,2	93,1	40,0	38,0	62,9	
19	95		53,0	117	42,0	40,0	64,5	
20	100		55,1	135	43,0	41,0	67,3	49,5
21	105				54,0	52,0	91,8	57,9
22	110				66,0	65,0	114	59,6
24	120				71,0	70,0	126	86,4
26	130				108	105	178	102
28	140				114	111	195	114
30	150				138	139	235	195
32	160	_		_	174	167	288	199
34	170				227	225	374	209
36	180	_	_	_	_		508	281
38	190						530	296
40	200	_		_			684	448

2 Volume spazio interno di cuscinetti per supporto di viti con ricircolo di sfere (serie TAB)

di sicie (scrie iAb	')
Cuscinetto n.	Volume spazio interno [cc/cad]
15TAB04	3,8
17TAB04	3,8
20TAB04	3,8
25TAB06	4,8
30TAB06	4,8
35TAB07	5,8
40TAB07	5,8
40TAB09	14
45TAB07	6,5
45TAB10	15
50TAB10	16
55TAB10	16
55TAB12	19
60TAB12	19

3 Volume spazio interno di cuscinetti per supporto di viti con ricircolo di sfere (serie TAF)

un ororo (oorro m.	,
Cuscinetto n.	Volume spazio interno [cc/cad]
25TAF06	9,3
30TAF07	14
35TAF09	26
40TAF09	26
40TAF11	45
45TAF11	45
50TAF11	45
60TAF13	71
60TAF17	150
80TAF17	150
100TAF21	282
120TAF03	473

6.2.3 Durata del grasso

La durata del grasso dipende dalla temperatura di funzionamento, il tipo di grasso, la velocità di rotazione e altri fattori. Le stime approssimative per la durata del grasso per un cuscinetto a contatto volvente, utilizzate come esempio tipico, si possono ottenere utilizzando la Formula 5.1.

L : Durata del grasso (ore)

T : Temperatura del cuscinetto (°C)

S_G: Fattore di riduzione della durata in base al tipo di grasso

Tipo di grasso	SG
Grasso di petrolio e grasso di silicono a lunga durata	0
Grasso di petrolio convenzionale	1,0
Diestere e grasso a bassa temperatura	2,9

$$S_N = 0.864 \frac{d \cdot n}{(dn)_L}$$

S_N : Fattore di riduzione della durata in base alla velocità di rotazione

d : Diametro nominale foro del cuscinetto (mm)

n : Velocità del cuscinetto (giri/min)

 $(dn)_L$: Fattore di velocità specifico per il tipo di cuscinetto

Tipo di cuscinetto	(dn)L
Cuscinetti obliqui a sfere	400.000
Cuscinetti a rulli cilindrici	200.000

$$Sw=2.714 \frac{n \cdot d \cdot w}{C^2}$$

Sw : Fattore di riduzione della durata specifico per il carico

C : Coefficiente di carico dinamico di base (N)

w : Carico cuscinetto (N)

Selezione del cuscinetto

Durata del cuscinetto

Tolleranza del cuscinetto Disposizione del

cuscinetto

Precarico
e rigidità

Lubrificazione

Velocità limite

Struttura dell'albero e dell'alloggiamento

Correzione della velocità limite

L'uso di cuscinetti ad alta velocità oltre il proprio limite può generare calore per attrito all'interno del cuscinetto, provocando un innalzamento delle temperature a livelli non in grado di supportare le prestazioni del cuscinetto stesso. Il limite empirico alla velocità di rotazione che evita tali problemi è detto "velocità limite di rotazione". Le velocità limite variano a seconda del tipo di cuscinetto, delle dimensioni, del sistema di lubrificazione, dal carico, ecc. In aggiunta la velocità limite di rotazione di un cuscinetto con tenuta a contatto è limitato dalla velocità circonferenziale delle sezioni di contatto della tenuta e dell'anello della pista di scorrimento. Le tabelle dimensionali del presente catalogo mostrano le velocità limite di rotazione in

caso di lubrificazione con grasso e ad olio ma i valori sono espressi per cuscinetti con carichi leggeri, montaggio su albero orizzontale e lubrificazione appropriata.

Sebbene di norma si utilizzino due o più cuscinetti obliqui a sfere, la velocità di rotazione è limitata in modo che sia necessario moltiplicare le velocità nelle tabelle dimensionali per i fattori di correzioni illustrati nella Tabella 7.1.

Quando il cuscinetto è impiegato al 75% o più della velocità limite di rotazione la scelta corretta del tipo di grasso richiesto e della quantità o dell'olio lubrificante e del metodo diventa la più determinante.

● Tabella 7.1 Fattori di correzione per velocità limite di rotazione di cuscinetti doppi

N. di cuscinetti	Precarico ultra-leggero (E)	Precarico leggero (L)	Precarico medio (L)	Precarico pesante (L)
Disposizione di 2	0,83	0,78	0,63	0,54
Disposizione di 3	0,73	0,68	0,54	0,39
Disposizione di 4	0,78	0,73	0,59	0,44

Struttura dell'albero e dell'alloggiamento

8-1 Regolazione dell'albero e dell'alloggiamento

La regolazione appropriata dell'anello interno e dell'albero e quella dell'anello esterno e dell'alloggiamento sono necessarie per ottenere le migliori prestazioni di un cuscinetto.

Superfici di regolazione lente possono provocare rotazione degli anelli della pista di scorrimento sull'albero o nell'alloggiamento. Tale fenomeno è noto come "strisciamento". Lo strisciamento può provocare rottura prematura, vibrazioni ed altri problemi dovuti a generazione anomala di calore ed usura, dalla presenza di detriti che penetrano nel cuscinetto. Una regolazione dell'interferenza è un ottimo metodo per impedire lo strisciamento. Per comodità di

installazione la regolazione d'interferenza avviene sull'anello interno e sull'albero e sull'anello esterno e sull'alloggiamento (non entrambi). Tuttavia, ciò non può avvenire in determinate condizioni per cui la regolazione del cuscinetto deve essere determinato dopo aver considerato con attenzione il rapporto tra albero e alloggiamento e altri fattori. Le regolazioni consigliate per le condizioni di funzionamento generiche (rotazione anello interno) dei cuscinetti di precisione utilizzati per macchine utensili sono mostrate nelle **Tabelle da 8.1 a 8.3**.

Tabella 8.1 Albero e regolazione consigliata

Unità: µm

Diametro dell'albero Classe di precisione del cuscinetto (mm) Classe 5 Classe 4/Classe 2 Tipo di cuscinetto Regolazione Regolazione Oltre Fino a Tolleranza albero Tolleranza albero desiderata desiderata 10 18 0~2T h4 0~2T h3 18 50 0~2,5T h4 0~2,5T h3 Cuscinetti obliqui a sfere 50 80 0~3T h4 0~3T h3 80 150 0~4T js4 0~4T js3 150 200 0~5T js4 0~5T js3 25 40 js4 js4 Cuscinetti a rulli cilindrici 140 k3 40 k4 (foro cilindrico) 140 200 k4 k3 Cuscinetti assiali Per tutti i diametri di albero 0~6L h4 0~6L h4 mandrino principale Cuscinetti per supporto 0~10L Per tutti i diametri di albero 0~101 h5 h5 viti con ricircolo di sfere

■ Tabella 8.2 Alloggiamenti e regolazione consigliata (lato fisso)

Jnità: µm

tabella 6.2 Alloggiamenti e regolazione consignata (tato 11550)								
	Diametro foro alloggiamento (mm)		Classe di precisione del cuscinetto					
Tipo di cuscinetto			Clas	se 5	Classe 4/Classe 2			
	Oltre	Fino a	Regolazione desiderata	Tolleranza foro alloggiamento	Regolazione desiderata	Tolleranza foro alloggiamento		
Cuscinetti obliqui a sfere	18	50	0~3L	JS4	0~3L	JS3		
	50	120	0~4L	JS4	0~4L	JS3		
	120	180	0~5L	JS4	0~5L	JS3		
	180	250	0~6L	JS4	0~6L	JS3		
Cuscinetti a rulli cilindrici	Foro alloggiam	nento generale	±0	K5	±0	K5		
Cuscinetti assiali mandrino principale	Foro alloggiamento generale		30L~40L	K5	30L~40L	K5		
Cuscinetti per supporto viti con ricircolo di sfere	Foro alloggiam	nento generale	10L~20L	H6	10L~20L	H6		

● Tabella 8.3 Alloggiamenti e regolazione consigliata (lato aperto)

Unità: um

	Diametro foro alloggiamento (mm)		Classe di precisione del cuscinetto				
Tipo di cuscinetto			Clas	se 5	Classe 4/Classe 2		
	Oltre	fino a	Regolazione desiderata	Tolleranza foro alloggiamento	Regolazione desiderata	Tolleranza foro alloggiamento	
Cuscinetti obliqui a sfere	18	50	6L~10L	H4	6L~10L	НЗ	
	50	120	8L~13L	H4	8L~13L	H3	
	120	180	12L~18L	H4	12L~18L	H3	
	180	250	15L~22L	H4	15L~22L	H3	
Cuscinetti a rulli cilindrici	Foro alloggiamento generale		±0	K5	±0	K4	
Cuscinetti per supporto viti con ricircolo di sfere	Foro alloggiamento generale		10L~20L	H6	10L~20L	H6	

Nota) Nelle tabelle da 8.1 a 8.3 "L" dopo un valore indica una regolazione lenta o la presenza di giuoco, mentre "T" indica aderenza o regolazione d'interferenza.

Struttura dell'albero e dell'alloggiamento 27

Selezione del cuscinetto

Durata del cuscinetto

Tolleranza del cuscinetto Disposizione

cuscinetto
Precarico
e rigidità

Lubrificazione

Velocità Iimite

e dell'alloggiamento Gestione

cuscinetto

Struttura dell'albero e dell'alloggiamento

8-2 Precisione richiesta per albero e alloggiamento

Per preservare le prestazioni meccaniche del mandrino principale delle macchine utensili, la precisione di installazione e dei componenti montati deve essere uguale o superiore a quella del cuscinetto.

La precisione consigliata per la sezione di installazione del cuscinetto e la scabrosità della superficie sono mostrate nelle Tabelle da 8.4 a

■ Tabella 8.4 Precisione albero Unità: µm						
Elemento di	Diametro	dell'albero	Classe di p	recisione del	cuscinetto	
precisione	Oltre	Fino a	Classe 5	Classe 4	Classe 2	
	_	10	1,3	0,8	0,5	
	10	18	1,5	1,0	0,6	
Rotondità O, a	18	30	2,0	1,3	0,8	
	30	50	2,0	1,3	0,8	
	50	80	2,5	1,5	1,0	
	80	120	3,0	2,0	1,3	
	120	180	4,0	2,5	1,8	
	180	250	5,0	3,5	2,3	
		10	1,3	0,8	0,5	
	10	18	1,5	1,0	0,6	
	18	30	2,0	1,3	0,8	
Cilindricità	30	50	2,0	1,3	0,8	
♦, b	50	80	2,5	1,5	1,0	
	80	120	3,0	2,0	1,3	
	120	180	4,0	2,5	1,8	
	180	250	5,0	3,5	2,3	
	_	10	2,0	2,0	1,3	
	10	18	2,5	2,5	1,5	
	18	30	3,0	3,0	2,0	
Vibrazione	30	50	3,5	3,5	2,0	
∕*, C	50	80	4,0	4,0	2,5	
	80	120	5,0	5,0	3,0	
	120	180	6,0	6,0	4,0	
	180	250	7,0	7,0	5,0	
	_	10	4,0	4,0	2,5	
Concentricità	10	18	5,0	5,0	3,0	
	18	30	6,0	6,0	4,0	
	30	50	7,0	7,0	4,0	
⊚, d	50	80	8,0	8,0	5,0	
	80	120	10,0	10,0	6,0	
	120	180	12,0	12,0	8,0	

● Tabella 8.5 Scabrosità superficie di regolazione albero (Ra)

250

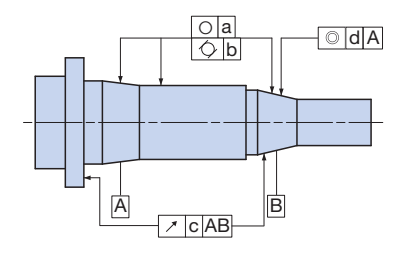
180

Diametro dell'albero	Classe di precisione del cuscinetto				
d	Classe 5	Classe 4	Classe 2		
d ≤ 80mm	0,2	0,2	0,1		
d > 80mm	0,4	0,4	0,2		

14,0

14,0

10,0



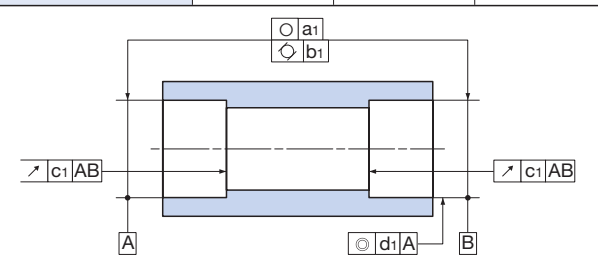
● Tabella 8.6 Precisione alloggiamento

Unità: um

Elemento di Diametro foro alloggiamento Classe di precisione del cuscii						
Elemento di precisione						
precisione	Oltre	Fino a	Classe 5	Classe 4	Classe 2	
Rotondità		10	1,3	0,8	0,5	
	10	18	1,5	1,0	0,6	
	18	30	2,0	1,3	0,8	
Rotondità	30	50	2,0	1,3	0,8	
O, a1	50	80	2,5	1,5	1,0	
	80	120	3,0	2,0	1,3	
	120	180	4,0	2,5	1,8	
	180	250	5,0	3,5	2,3	
		10	1,3	0,8	0,5	
	10	18	1,5	1,0	0,6	
	18	30	2,0	1,3	0,8	
Cilindricità	30	50	2,0	1,3	0,8	
⊘ , b₁	50	80	2,5	1,5	1,0	
	80	120	3,0	2,0	1,3	
	120	180	4,0	2,5	1,8	
	180	250	5,0	3,5	2,3	
	_	10	2,0	2,0	1,3	
	10	18	2,5	2,5	1,5	
	18	30	3,0	3,0	2,0	
Vibrazione	30	50	3,5	3,5	2,0	
∕*, C1	50	80	4,0	4,0	2,5	
	80	120	5,0	5,0	3,0	
	120	180	6,0	6,0	4,0	
	180	250	7,0	7,0	5,0	
		10	4,0	4,0	2,5	
	10	18	5,0	5,0	3,0	
	18	30	6,0	6,0	4,0	
Concentricità ©, d ₁	30	50	7,0	7,0	4,0	
	50	80	8,0	8,0	5,0	
	80	120	10,0	10,0	6,0	
	120	180	12,0	12,0	8,0	
	180	250	14,0	14,0	10,0	

■ Tabella 8.7 Scabrosità superficie di regolazione albero (Ra)

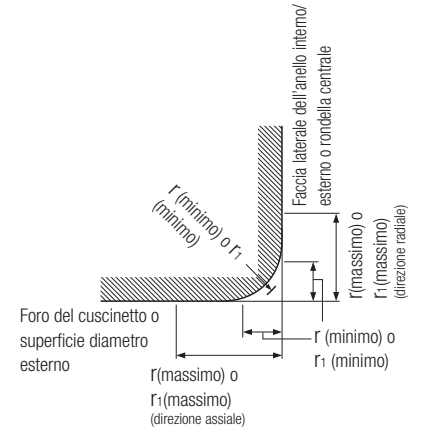
Diametra fara alla reismanta	Classe di precisione del cuscinetto		scinetto
Diametro foro alloggiamento D	Classe 5	Classe 4	Classe 2
D ≤ 80mm	0,4	0,4	0,2
80mm < D ≤ 250mm	0,8	0,8	0,4
D > 250mm	1,6	1,6	0,8



8-3 Limiti delle dimensioni dello smusso

Tabella 8.8 Dimensioni dello smusso per cuscinetti radiali (esclusi cuscinetti a rulli conici)

 Tabella 8.8 Dimensioni dello smusso per cuscinetti radiali (esclusi cuscinetti a rulli conici) Unità: mm 					
Dimensioni smusso più piccole ammesse di anelli interni ed esterni	Diametro nominale foro del cuscinetto		Dimensioni smusso più piccole ammesse di anelli interni ed esterni r (max) o r ₁ (min)		(Riferimento) Albero o raggio ra del filetto dell'alloggiamento
r (min) o r ₁ (min)	Oltre	Fino a	Direzione radiale	Direzione assiale	Max
0,05	_		0,1	0,2	0,05
0,08			0,16	0,3	0,08
0,1	_		0,2	0,4	0,1
0,15			0,3	0,6	0,15
0,2			0,5	0,8	0,2
0.2		40	0,6	1	0.2
0,3	40		0,8	1	0,3
0.6		40	1	2	0.6
0,6	40		1,3	2	0,6
1		50	1,5	3	1
'	50		1,9	3	1
1,1		120	2	3,5	1
1,1	120		2,5	4	ı ı
1,5		120	2,3	4	1,5
1,0	120		3	5	1,0
		80	3	4,5	
2	80	220	3,5	5	2
	220		3,8	6	
0.1		280	4	6,5	2
2,1	280		4,5	7	2
		100	3,8	6	
2,5	100	280	4,5	6	2
	280		5	7	
3		280	5	8	0.5
S	280		5,5	8	2,5
4			6,5	9	3
5	_	_	8	10	4
6	_	_	10	13	5
7,5	_	_	12,5	17	6
9,5	_	_	15	19	8
12	_	_	18	24	10
15	_	_	21	30	12
19	_	_	25	38	15



- r: dimensioni smusso di anello interno e anello esterno
- r1: dimensioni smusso di anello interno e anello esterno (faccia anteriore, ecc.) o di anello centrale di cuscinetti assiali a sfere

Selezione cuscinetto

Durata del cuscinetto

Tolleranza cuscinetto

Disposizione del cuscinetto

Precarico e rigidità

Lubrificazione

Velocità

cuscinetto

- Nota ① La forma precisa dello smusso non è specificata. I limiti cadono entro il raggio minimo radiale e assiale e il raggio massimo.
 - 2) I valori r (minimo) nella direzione assiale dei cuscinetti con larghezze nominali del cuscinetto di 2 mm o meno r (max) sono gli stessi nella direzione radiale.



Gestione del cuscinetto

9-1 Conservazione e trasporto dei cuscinetti

I cuscinetti contatto volvente sono componenti di precisione. Pertanto è molto importante trattarli con molta cura per evitare di provocare danni in seguito all'urto. Inoltre essi sono suscettibili allo sporco e alla ruggine per cui bisogna adottare delle precauzioni per la conservazione e il trasporto.

- Per conservare i cuscinetti scegliere un posto freddo e asciutto, non esposto all'irradiazione solare diretta o all'umidità.
- Non lasciare i cuscinetti sul pavimento. Conservarli a un'altezza di 30 cm, ed evitare di esporli alla polvere.
- Per la gestione dell'inventario dei cuscinetti si deve adottare una conservazione per cui si utilizzano per primi i cuscinetti conservati più a lungo. Sistemare i cuscinetti in modo che quelli con la data di confezione più vecchia siano utilizzati per primi.
- Durante il trasporto i cuscinetti non devono essere schiacciati, non devono cadere, ecc., proteggerli da danni e deformazioni provocati da eventuale impatto, e controllare che non si sporchino per la presenza di materiali di imballaggio rotti.

9-2 Assemblaggio di cuscinetti

La qualità del montaggio dei cuscinetti influenza la precisione, la durata le prestazioni ed altri fattori, per cui deve essere svolta con cura. Di seguito si riporta la procedura per il lavoro di assemblaggio.

- (1) Ispezione dell'albero e dell'alloggiamento
- 2 Apertura dell'imballaggio e pulizia
- (3) Assemblaggio
- (4) Controlli post-assemblaggio

9.2.1 Ispezione dell'albero e dell'alloggiamento

- Pulire l'albero e l'alloggiamento con cura e togliere sporco e detriti. Controllare inoltre l'assenza di sbavature.
- Controllare che l'albero e l'alloggiamento siano ultimati in base ai disegni e controllare e registrare le dimensioni, lo squadro dello spallamento e il raggio angolare. Come mostrato in Figura 9.1, misurare il diametro dell'albero e il foro dell'alloggiamento presso su due punti in direzione assiale e quattro punti in direzione radiale.

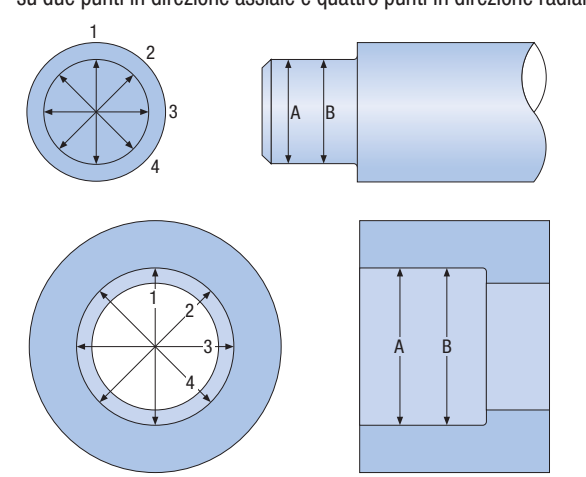


 Figura 9.1 Punti di misurazione del diametro dell'albero e del diametro dell'alloggiamento

9.2.2 Apertura dell'imballaggio e pulizia

- Non aprire l'imballaggio del cuscinetto finché non si è pronti per usare lo stesso. Indossare guanti di vinile durante questa operazione. Se si apre l'imballaggio del cuscinetto a mani nude o con guanti di tessuto si rischia di provocare l'infiltrazione di ruggine o di pilucchi.
- Applicare olio anti-ruggine sulla superficie del cuscinetto disimballato. Lavare il cuscinetto con cherosene bianco. Per il lavaggio preparare una doccia filtrata o due contenitori con parte inferiore rialzata con filtro, uno per il lavaggio base e una per il lavaggio finale.

 Dopo il lavaggio, scuotere l'olio dal cuscinetto e coprirlo. Non ruotare un cuscinetto che è stato sgrassato.

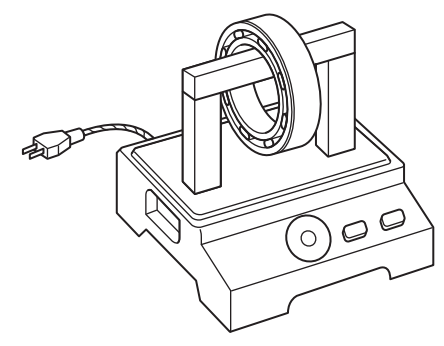
9.2.3 Assemblaggio

Di norma la maggior parte dei cuscinetti montati sulle macchine utensili presentano regolazioni dell'albero di interferenza e regolazioni alloggiamento lente. I metodi utilizzati per il montaggio dei cuscinetti sugli alberi sono il montaggio per dilatazione termica e il montaggio a pressa.

Montaggio per dilatazione termica

Con questo metodo di montaggio, il cuscinetto viene riscaldato finché non si espande diventando più largo dell'albero e l'anello interno può scorrere sull'albero. Un riscaldatore elettromagnetico con demagnetizzatore (**Figura 9.2**) evita di sollecitare inutilmente l'anello interno, mentre un forno è utile per ridurre il tempo di lavorazione. La temperatura di riscaldamento non deve superare i 120°C. Temperature superiori a 120°C possono diminuire la durezza del cuscinetto e ridurne la durata.

Dopo aver montato un cuscinetto riscaldato sull'albero, raffreddandosi si contrae in direzione assiale, formando uno spazio tra l'anello interno e lo spallamento dell'albero (**Figura 9.3**) per cui il posizionamento corretto è ottenuto utilizzando un dado, ecc.



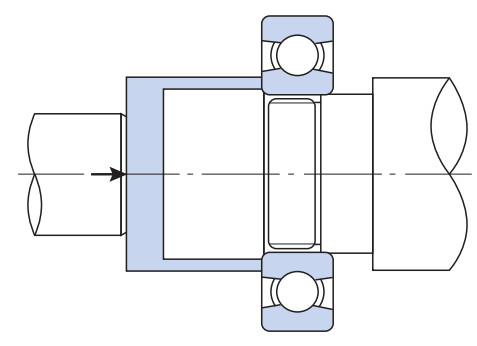
• Figura 9.2 Riscaldatore a induzione



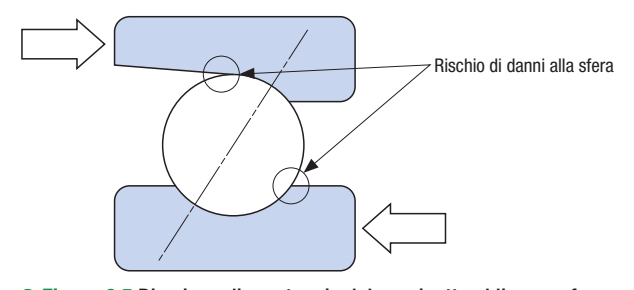
• Figura 9.3 Spazio con lo spallamento dell'albero dopo il raffreddamento

Montaggio a pressa

Questo metodo utilizza un utensile posto sulla superficie laterale dell'anello interno e un martinetto o pressa usata per eseguire il montaggio a pressione (Figura 9.4). Quando si esegue il montaggio a pressa dell'anello interno sull'albero non esercitare troppa forza sull'anello esterno o sulla gabbia. Nel caso di cuscinetti obliqui a sfere evitare di applicare la forza in direzione opposta alla direzione dell'angolo di contatto perché si rischia di danneggiare lo spallamento della pista di scorrimento (Figura 9.5).



• Figura 9.4 Montaggio a pressa dell'anello interno



● Figura 9.5 Direzione di montaggio del cuscinetto obliquo a sfere

Riferimento: posizione dell'eccentricità radiale massima

Le posizioni dell'eccentricità radiale massima dell'anello interno e dell'anello esterno sono contraddistinti dai simboli "O" sulla faccia dell'anello. L'eccentricità assiale può essere ridotta allineando la posizione di eccentricità radiale minima dell'asse con il simbolo "O" sull'anello interno. Anche l'anello esterno dovrebbe essere montato in modo che il relativo simbolo "O" sia allineato con le posizioni di eccentricità minima dell'alloggiamento.

Si noti che non esiste un rapporto tra la posizione del simbolo "O" dell'anello esterno e la posizione del simbolo di montaggio "<" del diametro esterno.

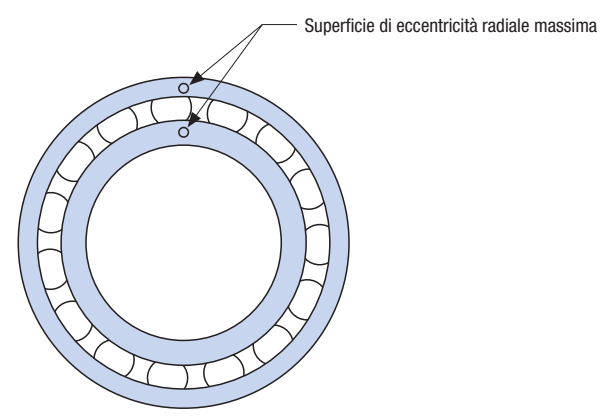


Figura 9.6 Posizioni di eccentricità radiale massima

Riferimento: forza di montaggio a pressa e forza di rimozione

Sebbene la forza richiesta per montare a pressa un anello interno del cuscinetto sull'albero e per smontarlo dipenda dalle quantità di interferenza e dalla finitura della superficie dell'albero si possono ottenere dei valori generici utilizzando la Formula 9.1.

$$Ka = fk \cdot \Delta de \cdot B \cdot \left(1 - \left\{\frac{d}{di}\right\}^2\right) \quad ---- \quad \text{(Formula 9.1)}$$

a : Forza per montaggio a pressa (forza per lo smontaggio) (kN)

fk : Coefficiente per la condizione di montaggio/smontaggio (Tabella 9.1)

Δde : Interferenza effettiva (mm)

B : Larghezza nominale anello interno (mm)
d : Diametro nominale foro del cuscinetto (mm)

i : Diametro esterno medio dell'anello interno (mm)

Cuscinetto a rulli cilindrici

di = (D + 3d)/4

Altri tipi di cuscinetto

di = (3D + 7d)/10

In questo caso, D: Diametro nominale esterno del cuscinetto (mm)

● Tabella 9.1 Coefficiente per la condizione di montaggio/smontaggio

Condizioni	fk (valore medio)
Montaggio a pressa di anello interno sul albero solido cilindrico	39
Smontaggio di anello interno sul albero solido cilindrico	59

Nota) Valori che si hanno quando il foro dell'albero e l'albero stesso sono rivestiti con strato sottile di olio.

Selezione del cuscinetto

Durata del cuscinetto

Tolleranza del cuscinetto

Disposizione del cuscinetto

Precarico e rigidità

Lubrificazione

Velocità limite

Struttura dell'albero e dell'alloggiamento

Gestione del cuscinetto

Montaggio sull'albero

Di solito si utilizza la ghiera dell'albero per fissare l'anello interno del cuscinetto sull'albero. Si deve controllare che la superficie laterale della ghiera dell'albero si trovi in posizione angolare giusta rispetto alla filettatura. Se le superfici non sono serrate a squadro con la ghiera dell'albero si può provocare la deformazione dell'albero stesso. Inoltre è necessario regolare la ghiera dell'albero quando se ne effettua il serraggio per il contatto marginale che si ottiene in seguito allo spazio tra le superfici di accoppiamento tra la ghiera e l'albero

Il serraggio con la ghiera dell'albero consente di applicare una forza di serraggio specifica controllandone la coppia. Nonostante la discrepanza esistente nella relazione tra coppia di serraggio della ghiera dell'albero e la forza di serraggio da applicare per motivi di precisione e ruvidezza di ciascuna parte filettata, essa può essere espressa come la Formula 9.2.

La forza di montaggio consigliata per ciascun foro del cuscinetto è mostrata nella Tabella 9.2.

$$F \approx \frac{M_n}{\frac{d2}{2} \tan{(\beta + \rho)} + \frac{d_n}{2} \cdot \mu_m}$$
 (Formula 9.2)

: Forza di serraggio (N)

: Coppia di serraggio (N·mm)

d₂ : Diametro nominale filettatura (mm)

: Angolo di inclinazione β

$$\tan \beta = \frac{P}{\pi d_2}$$

: Passo (mm)

: Angolo di attrito superficie filettatura

$$\tan \rho = \frac{\mu}{\cos \alpha}$$

: Semi-angolo di filettatura α

: Diametro medio della superficie della rondella del cuscinetto (mm) dn

: Coefficiente di attrito della superficie della rondella del cuscinetto (≈ 0,15) Цm

: Coefficiente di attrito della superficie della filettatura (≈ 0,15)

Tabella 9.2 Valori consigliati per la forza di serraggio della ghiera dell'albero

Diametro nominale foro del cuscinetto (mm)	Forza di serraggio dado dell'albero (N)	Diametro nominale foro del cuscinetto (mm)	Forza di serraggio dado dell'albero (N)
10	1500	80	19600
12	2500	85	19600
15	2500	90	19600
17	2500	95	19600
20	4900	100	19600
25	4900	105	19600
30	4900	110	19600
35	4900	120	19600
40	9800	130	19600
45	9800	140	29400
50	9800	150	29400
55	14700	160	29400
60	14700	170	29400
65	14700	180	29400
70	14700	190	29400
75	14700	200	29400

Montaggio sull'alloggiamento

Per fissare l'anello esterno del cuscinetto in direzione assiale, si mantiene uno spazio tra la copertura a pressione e l'alloggiamento e per il serraggio si usa un bullone. Tuttavia è richiesta un'attenzione estrema poiché se i dadi non sono serrati in modo corretto o uniforme si può provocare il mancato allineamento dell'anello esterno e la deformazione (Figura 9.7).

In genere si consiglia uno giuoco D di riduzione spazio anello esterno compreso tra 0,010 - 0,020. I valori del giuoco di riduzione spazio consigliati per un cuscinetto di supporto faccia-a-faccia (Serie TAB. Serie TAF) sono mostrate nelle Tabelle 9.3 e 9.4.

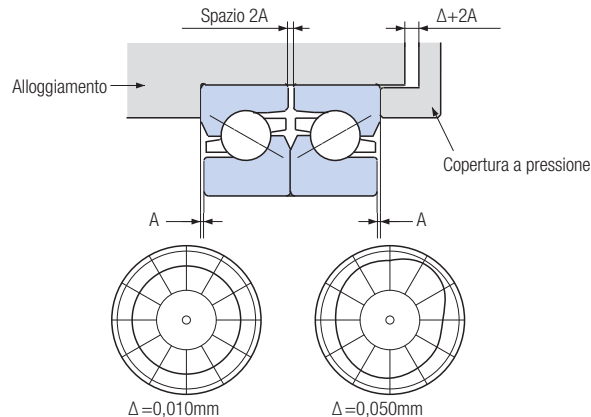


 Figura 9.7 Esempio di deflessione di pista di scorrimento dipendente dal gioco di riduzione spazio dell'anello esterno

● Tabella 9.3 Valori del giuoco di riduzione spazio consigliati per cuscinetti per supporto viti con ricircolo di sfere (Serie TAB)

Cuscinetto n.	Giuoco di riduzione spazio anello esterno Δ (mm)	
15TAB04 DF		
17TAB04 DF	0,010 ~ 0,030	
20TAB04 DF		
25TAB06 DF		
30TAB06 DF	0,010 ~ 0,040	
35TAB07 DF	0,010 ~ 0,040	
40TAB07 DF		
40TAB09 DF		
45TAB07 DF		
45TAB10 DF	0,020 ~ 0,050	
50TAB10 DF		
55TAB10 DF		
55TAB12 DF	0.020 ~ 0.060	
60TAB12 DF	0,020 ~ 0,000	

■ Tabella 9.4 Valori del giuoco di riduzione spazio consigliati per

cuscinetti per supporto viti con noncolo di siere (serie IAF)		
Cuscinetto n.	Giuoco di riduzione spazio anello esterno Δ (mm)	
25TAF06 DF	0,020	
30TAF07 DF		
35TAF09 DF	0,030	
40TAF09 DF		
40TAF11 DF		
45TAF11 DF	0.040	
50TAF11 DF	0,040	
60TAF13 DF		
60TAF17 DF		
80TAF17 DF	0,050	
100TAF21 DF	0,050	
120TAF03 DF		

Regolazione giuoco per cuscinetto a rulli conici con foro rastremato

Il giuoco interno del cuscinetto a rulli cilindrici con foro rastremato può essere regolato tramite larghezza del distanziale utilizzando la seguente procedura.

- (1) Controllare il cono dell'albero. Rivestire il cono con uno strato sottile di pasta pigmentata blu; è richiesto un contatto pari all'80% o superiore.
- (2) Posizionare con cautela l'unità secondaria interna sul cono dell'albero (Figura 9.8).
- (3) Sistemare l'anello esterno e fissare l'albero orizzontalmente.
- (4) Toccare il centro dell'anello esterno con una sonda con calibro doppia.
- (5) Premendo dall'alto verso il basso sull'anello esterno, ruotarlo a sinistra a destra più volte in modo da sistemarlo e azzerare la sonda di misurazione.
- (6) Premere l'anello esterno ruotandolo di 180° dalla sua posizione di simmetria (direttamente sotto) e ruotarlo a sinistra e a destra per ottenere la lettura del valore massimo (Figura 9.9).
- (7) Modificare la posizione dell'albero con passaggio di circa 30°, misurare lo spostamento assiale e calcolare la media delle letture come il valore di AR.
- (8) Usare un misuratore a blocco per misurare la lunghezza della superficie dei bordi dell'anello interno e dello spallamento dell'albero (Figura 9.10).
- (9) Modificare la posizione e usare una media di cinque o sei punti come valore per L'.
- (10) Usare la Formula 9.3 per stabilire le dimensioni della larghezza del distanziale richiesto.

$$L=L'-12(\Delta R-\Delta-\lambda e\cdot \delta)$$
 (Formula 9.3)

Ľ : Larghezza media del distanziale ottenuta al passaggio (9)

ΔR : Giuoco radiale misurato

Δ : Giuoco radiale post-montaggio desiderato

: Rapporto di contrazione anello esterno

$$\lambda e = \frac{D_e}{D} - \frac{1 - \left(\frac{D}{D_h}\right)^2}{1 - \left(\frac{D_e}{D_h}\right)^2}$$

: Diametro esterno anello interno (mm)

De : Foro anello interno (mm) Dh : Foro alloggiamento (mm) : Interferenza anello esterno

- (1) Correggere la dimensione della larghezza del distanziale.
- (1) Smontare l'unità secondaria interna dall'albero. Questa volta evitare di colpire l'anello interno con forza eccessiva. Per facilitare lo smontaggio dell'anello usare un attrezzo speciale per lo smontaggio.
- (13) Montare il distanziale e il cuscinetto sull'albero.
- (14) Misurare di nuovo il giuoco radiale e confermare che sia presente il giuoco radiale desiderato (Figura 9.11).

9.2.4 Controllo post-assemblaggio

Utilizzare la procedura "5-3 Misurazione del precarico" (pagina 14) per confermare che venga applicato il precarico prescritto.

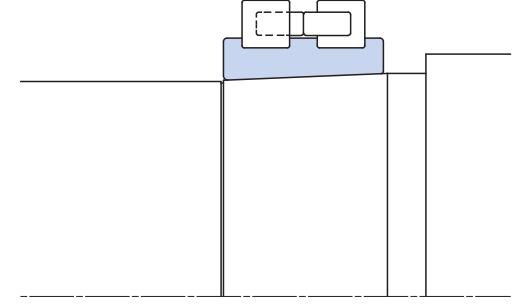
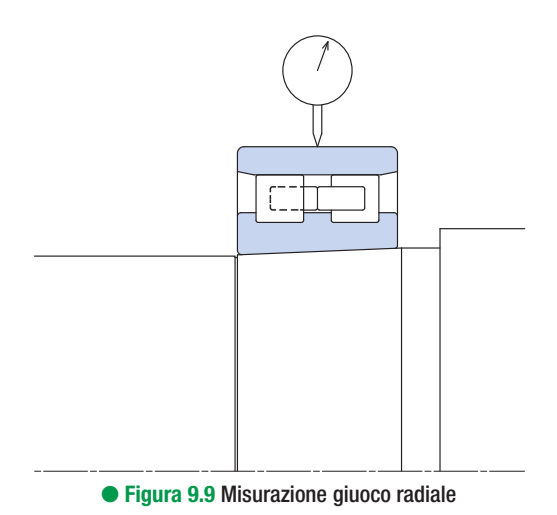


Figura 9.8 Serraggio temporaneo unità secondaria interna



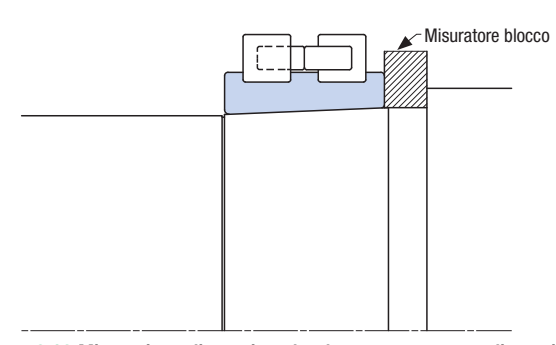
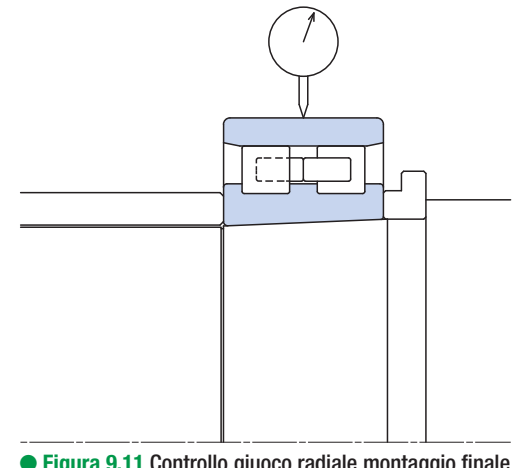


Figura 9.10 Misurazione dimensione larghezza temporanea distanziale



• Figura 9.11 Controllo giuoco radiale montaggio finale

Selezione cuscinetto

Durata del cuscinetto

Tolleranza cuscinetto

Disposizione cuscinetto

> Precarico e rigidità

Lubrificazione

Velocità

Gestione del cuscinetto

9-3 Test di funzionamento

Dopo aver montato i cuscinetti si svolge un test di funzionamento per verificarne il corretto funzionamento. Nello specifico, se si utilizza lubrificazione con grasso si deve consentire al grasso di penetrare all'interno del cuscinetto per cui è necessario un tempo adeguato per il funzionamento discontinuo.

- Di seguito si riporta la procedura generale per il test di funzionamento.
- ① Controllare l'assenza di spazio tra albero e alloggiamento o copertura e che tutti i giochi siano uniformi.
- ② Innanzitutto ruotare a mano tutti i meccanismi che ruotano e controllare rumori anomali ed eventuali sfregamenti.
- (3) Per grandi meccanismi che non possono essere ruotati a mano,

- avviarli a velocità molto bassa e svolgere gli stessi controlli del passaggio (2).
- ④ Se non è stato trovato alcun problema durante i primi tre passaggi, aumentare la velocità gradualmente fino alla velocità di funzionamento confermando che l'aumento di temperatura rientra in condizioni normali.
- ⑤ Per il funzionamento a lungo termine ricontrollare il serraggio del bullone e della ghiera, controllare le perdite d'olio e anomalie di rumore. Se possibile al termine del test estrai un campione di olio e controlla se sono presenti corpi estranei.
- (6) L'esercizio regolare può iniziare dopo aver completato il test.

9-4 Smontaggio di cuscinetti

Sebbene la ragione per lo smontaggio dei cuscinetti sia la manutenzione periodica o la rottura meccanica, esso può rappresentare l'opportunità per controllare lo stato effettivo della macchina e per apportare migliorie, ecc. Soprattutto in caso di problemi di funzionamento i motivi effettivi della rottura di solito si riscontrano soltanto dopo lo smontaggio. Pertanto, quando si smontano i cuscinetti controllare i seguenti punti.

- 1) Problemi con il montaggio di cuscinetti
- ② Grasso od olio lubrificante insufficiente, e quantità di contaminanti (raccolta campioni).
- 3 Regolazione anello interno ed esterno
- (4) Problema con i cuscinetti

Prima di smontare il cuscinetto si devono valutare anche i seguenti aspetti.

- (1) Metodo per lo smontaggio del cuscinetto
- (2) Condizioni di regolazione
- (3) Utensili necessari per lo smontaggio

Tipologie e progettazione

7900 7000 7200

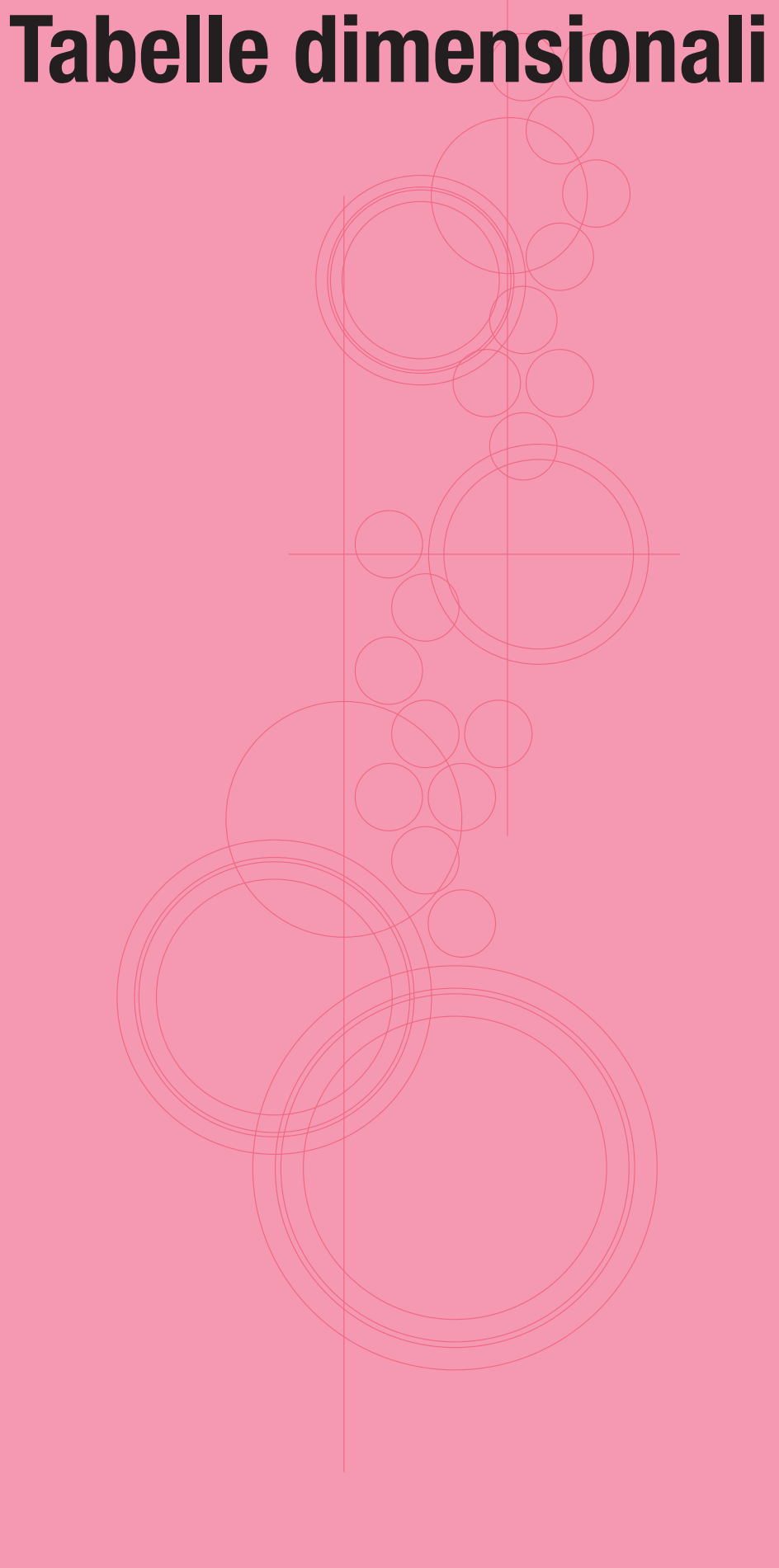
BNH

TAH TBH

NN3000 NNU4900

XRG

TAB TAF



Cuscinetti a rulli di precisione



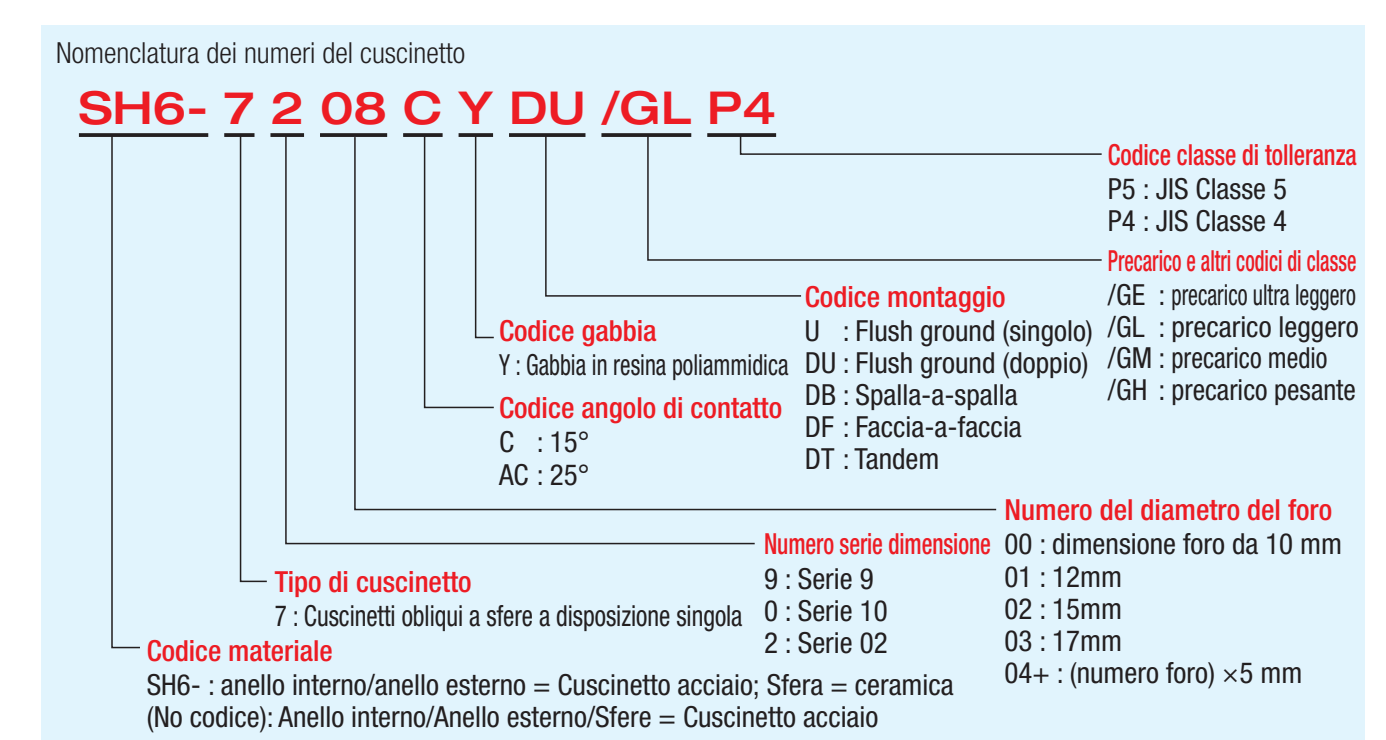
Tipologie e progettazione

Tipologie e progettazione di
Tipologie e progettazione di cuscinetti a rulli di precisione

Tipo	Vista in sezione	Serie cuscinetto	Angolo di contatto	Descrizione
		7900C	15°	● Le sfere e le piste di scorrimento dell'anello interno e dell'anello esterno sono
		7900AC 25°		progettate per il contatto secondo uno specifico angolo di contatto, e ciò significa
		7000C	15°	che questo tipo di cuscinetti è idoneo per carichi compositi (carico assiale e carico radiale).
Cuscinetti obliqui a sfere		7000AC	25°	L'angolo di contatto vuol dire che si generano componenti di forza assiale quando
Siele		7200C	15°	si applica un carico radiale, per cui questi cuscinetti sono usati di solito in coppia
		7200AC	25°	alle estremità dell'albero. ■ Un angolo di contatto di 15° è ottimale per le alte velocità, mentre un angolo di contatto di 25° è migliore per i carichi assiali.
Cuscinetti obliqui a sfere ad alta velocità		BNH	15°	 Dato che lo spostamento della sfera è ridotto dall'effetto giroscopico ad alte velocità, il diametro della sfera di questo tipo di cuscinetto è minore rispetto ai cuscinetti obliqui a sfere standard. Questo tipo di cuscinetto è intercambiabile per dimensioni con la Serie 7000 e può essere usato in sostituzione della stessa.
Cuscinetti obliqui a sfere con carico di		TAH	30°	L'angolo di contatto è minore di quello della precedente serie TAD (cuscinetti obliqui a sfera con spinta in direzione doppia) poiché l'effetto giroscopico indotto è
spinta		TBH	40°	minore sullo spostamento della sfera e si generano temperature inferiori. Può essere utilizzato per sostituire i cuscinetti della serie TAD.
Cuscinetti a rulli cilindrici a disposizione multipla tipo NN		NN3000	Ι	 Un numero elevato di rulli (cilindrici) per elevata rigidità. Il foro rastremato consente la regolazione del giuoco interno.
Cuscinetti a rulli cilindrici a disposizione multipla tipo NNU		NNU4900	_	Sono presenti anche una scanalatura e un foro per l'olio al centro della larghezza dell'anello esterno.
Cuscinetti a rulli conici incrociati		XRN XRG	_	 Progettati come alternativa ai cuscinetti a rulli conici, questa serie fornisce un carico assiale elevato e rigidità del carico di coppia. I rulli presentano centri di rotazione e orbitali per una rotazione uniforme.
Cuscinetti per supporto viti con		TAB	60°	 Utilizzati principalmente in applicazioni di supporto per viti con ricircolo di sfere di macchine utensili. Disponibile tipo aperto e tipo a tenuta (tipo a contatto, tipo non a contatto).
ricircolo di sfere		TAF	50° (55°)	 Utilizzati principalmente in applicazioni di supporto per viti con ricircolo di sfere a carico elevato di macchine utensili per lo stampo a iniezione. Le sfere di diametro ampio forniscono un angolo di contatto grande per capacità di carico di spinta elevata.

Cuscinetti obliqui a sfere Tipo standard





Caratteristiche

- Nei cuscinetti obliqui a sfere, le sfere e le piste di scorrimento dell'anello interno e dell'anello esterno formano un angolo di contatto specifico. Se utilizzati in configurazione singola, il carico assiale è limitato ad una sola direzione e questo tipo di cuscinetti è idoneo per carichi composti in senso assiale e radiale.
- Dato che questo tipo di cuscinetti presenta un angolo di contatto, i componenti assiali sono generati quando si applica un carico radiale. Pertanto, questo tipo di cuscinetti è usato di norma in coppia alle estremità dell'albero.
- Sono disponibili le sfere in ceramica.

Angolo di contatto

Sono disponibili due angoli di contatto: a 15° e a 25°. 15° per applicazioni ad alta velocità. 25° per applicazioni che richiedono elevata rigidità assiale.

Gabbia

Come standard viene fornita una gabbia poliammidica di guida per la sfera. La gabbia poliammidica deve essere usata a temperature inferiori a 120°.

Precisione dimensionale, precisione rotazionale

Conforme a JIS Classe 5 o Classe 4. Vedere pagina 7 per maggiori dettagli.

Precarico

- Sono disponibili quattro tipi di impostazioni del precarico standard.
 Utilizzare la tabella per selezionare il precarico che soddisfa le proprie esigenze.
- Vedere le pagine da 16 a 18 per i precarichi standard disponibili per ciascuna serie e dimensione.

Criteri di scelta del precarico

Codice precarico	Criteri di scelta
E (precarico ultra leggero)	Evita vibrazioni meccaniche e aumenta la precisione.
L (precarico leggero)	Fornisce rigidità ad alte velocità (valore dmn = 500.000) di funzionamento.
M (precarico medio)	Fornisce rigidità maggiore del precarico leggero per velocità standard di funzionamento.
H (precarico pesante)	Fornisce massima rigidità per funzionamento a basse velocità.

Montaggio

Vedere pagina 12 e 13 per disposizioni multiple.

Tipi di sfere in ceramica

Sono disponibili anche cuscinetti con sfere in ceramiche con densità minore delle sfere in acciaio per forza centrifuga minore quando le sfere ruotano ad alte velocità.

- Le caratteristiche delle sfere in ceramica e delle sfere in acciaio sono mostrate nella sequente tabella.
- Il numero del cuscinetto che utilizza sfere in ceramica inizia per "SH6-".
- Il precarico e la rigidità assiale è circa 1,2 volte quello dei cuscinetti con sfere in acciaio.

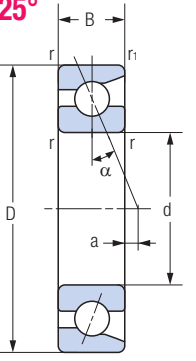
Confronto tra le caratteristiche delle sfere in ceramica e delle sfere in acciaio

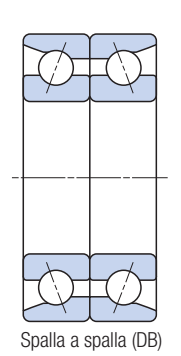
Caratteristiche	Unità	Ceramica (Si₃N₄)	Sfere in acciaio (SUJ2)
Resistenza termica	°C	800	180
Densità	g/cc	3,2	7,8
Coefficiente di espansione lineare	1/°C	3,2×10 ⁻⁶	12,5×10 ⁻⁶
Durezza	Hv	1400~1700	700~800
Coefficiente elastico longitudinale	GPa	314	206
Rapporto di Poisson		0,26	0,30
Resistenza alla corrosione		Buona	Non buona
Magnetismo		Sostanza non magnetica	Sostanza altamente magnetica
Conduttività		Materiale isolante	Conduttore
Legame chimico cristallino		Covalente	Metallico

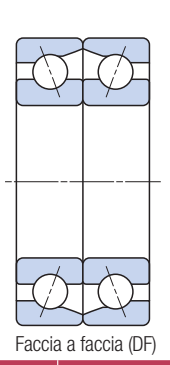
Cuscinetti obliqui a sfere

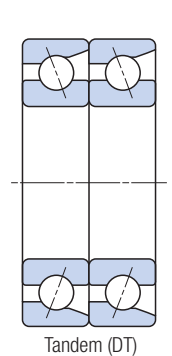
Angolo di contatto α = 15° **Serie 7900C**

Angolo di contatto α = 25° Serie 7900AC

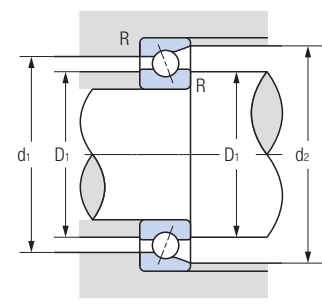


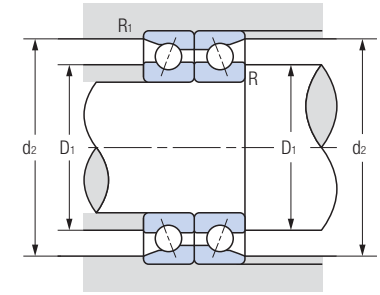


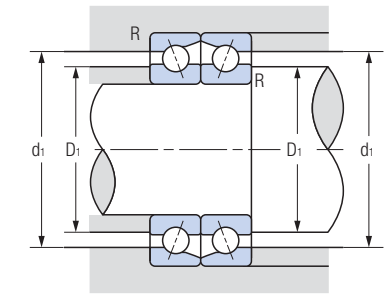




		Dim	ensioni limite (mm)	Centro di carico	Coefficiente di carico dinamico	Coefficiente di carico statico		
Cuscinetto n.	d	D	В	r (Min)	r1 (Min)	a (mm)	di base Cr (kN)	base Cor (kN)	
7900C	10	22	6	0,3	0,15	-0,9	3,00	1,52	
7900AC	10	22	6	0,3	0,15	0,7	2,88	1,45	
7901C	12	24	6	0,3	0,15	-0,6	3,20	1,72	
7901AC	12	24	6	0,3	0,15	1,2	3,05	1,63	
7902C	15	28	7	0,3	0,15	-0,6	4,75	2,64	
7902AC	15	28	7	0,3	0,15	1,5	4,55	2,53	
7903C	17	30	7	0,3	0,15	-0,3	5,00	2,95	
7903AC	17	30	7	0,3	0,15	2,1	4,75	2,82	
7904C	20	37	9	0,3	0,15	-0,7	7,30	4,55	
7904AC	20	37	9	0,3	0,15	2,1	6,95	4,35	
7905C	25	42	9	0,3	0,15	0,1	7,80	5,45	
7905AC	25	42	9	0,3	0,15	3,5	7,40	5,15	
7906C	30	47	9	0,3	0,15	0,7	8,30	6,25	
7906AC	30	47	9	0,3	0,15	4,5	7,85	5,95	
7907C	35	55	10	0,6	0,3	1,0	12,5	9,65	
7907AC	35	55	10	0,6	0,3	5,5	11,9	9,20	
7908C	40	62	12	0,6	0,3	0,8	15,7	12,4	
7908AC	40	62	12	0,6	0,3	5,9	14,9	11,8	
7909C	45	68	12	0,6	0,3	1,6	16,6	14,1	
7909AC	45	68	12	0,6	0,3	7,2	15,7	13,3	
7910C	50	72	12	0,6	0,3	2,2	17,7	15,5	
7910AC	50	72	12	0.6	0.3	8.2	16.4	14.9	







Disnos	izione	singola	
Diopus	1210110	oniguia	

Spalla a spalla

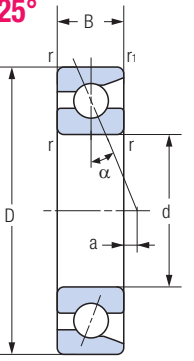
Faccia-a-faccia

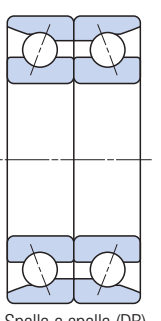
		-1	opositions on gold					r doord a radord		
Limite velocit (giri/			Rag	Massa						
Lubrificazione con grasso	Lubrificazione con olio	D ₁ (Min)	d ₁ (Max)	d ₂ (Max)	R (Max)	R ₁ (Max)	(kg) (Riferimento)	Cuscinetto n.		
73000	100000	12,5	19,5	20,8	0,3	0,15	0,008	7900C		
63500	85000	12,5	19,5	20,8	0,3	0,15	0,008	7900AC		
64800	88800	14,5	21,5	22,8	0,3	0,15	0,010	7901C		
56400	75500	14,5	21,5	22,8	0,3	0,15	0,010	7901AC		
54300	74400	17,5	25,5	26,8	0,3	0,15	0,015	7902C		
47200	63200	17,5	25,5	26,8	0,3	0,15	0,015	7902AC		
49700	68000	19,5	27,5	28,8	0,3	0,15	0,016	7903C		
43200	57800	19,5	27,5	28,8	0,3	0,15	0,016	7903AC		
41000	56100	22,5	34,5	35,8	0,3	0,15	0,035	7904C		
35600	47700	22,5	34,5	35,8	0,3	0,15	0,035	7904AC		
34800	47700	27,5	39,5	40,8	0,3	0,15	0,041	7905C		
30300	40600	27,5	39,5	40,8	0,3	0,15	0,041	7905AC		
30300	41500	32,5	44,5	45,8	0,3	0,15	0,046	7906C		
26300	35300	32,5	44,5	45,8	0,3	0,15	0,046	7906AC		
25900	35500	39,5	50,5	52,5	0,6	0,3	0,074	7907C		
22500	30200	39,5	50,5	52,5	0,6	0,3	0,074	7907AC		
22900	31300	44,5	57,5	59,5	0,6	0,3	0,107	7908C		
19900	26600	44,5	57,5	59,5	0,6	0,3	0,107	7908AC		
20600	28300	49,5	63,5	65,5	0,6	0,3	0,127	7909C		
18000	24000	49,5	63,5	65,5	0,6	0,3	0,127	7909AC		
19100	26200	54,5	67,5	69,5	0,6	0,3	0,128	7910C		
16600	22300	54,5	67,5	69,5	0,6	0,3	0,128	7910AC		

Cuscinetti obliqui a sfere

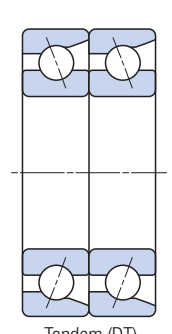
Serie 7000C Angolo di contatto α = 15°

Serie 7000AC Angolo di contatto α = 25°









					Spalla a spalla	a (DB) Facci	a a faccia (DF)	Tandem (DT)	
Cuscinetto n.		1	ensioni limite (mm)	r1	Centro di carico a (mm)	Coefficiente di carico dinamico di base Cr	carico statico base Cor	
	d	D	В	(Min)	(Min)		(kN)	(kN)	
7000C	10	26	8	0,3	0,15	-1,9	5,35	2,50	
7000AC	10	26	8	0,3	0,15	0,2	5,15	2,41	
7001C	12	28	8	0,3	0,15	-1,7	5,80	2,91	
7001AC	12	28	8	0,3	0,15	0,7	5,60	2,79	
7002C	15	32	9	0,3	0,15	-1,8	6,65	3,70	
7002AC	15	32	9	0,3	0,15	1,0	6,30	3,55	
7003C	17	35	10	0,3	0,15	-2,0	7,00	4,15	
7003AC	17	35	10	0,3	0,15	1,1	6,65	3,95	
7004C	20	42	12	0,6	0,3	-2,4	11,2	6,60	
7004AC	20	42	12	0,6	0,3	1,2	10,6	6,25	
7005C	25	47	12	0,6	0,3	-1,8	12,9	8,65	
7005AC	25	47	12	0,6	0,3	2,4	11,7	7,60	
7006C	30	55	13	1	0,6	-1,6	16,0	11,1	
7006AC	30	55	13	1	0,6	3,4	15,1	10,5	
7007C	35	62	14	1	0,6	-1,4	19,3	13,7	
7007AC	35	62	14	1	0,6	4,3	18,2	13,0	
7008C	40	68	15	1	0,6	-1,3	20,7	16,0	
7008AC	40	68	15	1	0,6	5,1	19,5	15,1	
7009C	45	75	16	1	0,6	-1,1	24,6	19,4	
7009AC	45	75	16	1	0,6	6,0	23,1	18,3	
7010C	50	80	16	1	0,6	-0,5	26,2	22,0	
7010AC	50	80	16	1	0,6	7,2	23,7	19,7	
7011C	55	90	18	1,1	0,6	-0,6	34,5	28,8	
7011AC	55	90	18	1,1	0,6	7,9	31,0	25,6	
7012C	60	95	18	1,1	0,6	-0,1	35,5	30,5	
7012AC	60	95	18	1,1	0,6	9,1	32,0	27,6	
7013C	65	100	18	1,1	0,6	0,5	37,5	34,5	
7013AC	65	100	18	1,1	0,6	10,2	34,0	31,0	
7014C	70	110	20	1,1	0,6	0,4	47,0	43,0	
7014AC	70	110	20	1,1	0,6	11,0	44,5	41,0	
7015C	75	115	20	1,1	0,6	1,0	48,5	46,0	
7015AC	75	115	20	1,1	0,6	12,2	45,5	43,0	
7016C	80	125	22	1,1	0,6	0,8	59,0	55,5	
7016AC	80	125	22	1,1	0,6	12,9	55,5	52,5	
7017C	85	130	22	1,1	0,6	1,4	60,5	59,0	
7017AC	85	130	22	1,1	0,6	14,1	57,0	55,5	
7018C	90	140	24	1,5	1	1,3	72,0	69,5	
7018AC	90	140	24	1,5	1	14,8	68,0	65,5	
7019C	95	145	24	1,5	1	1,9	74,0	73,5	
7019AC	95	145	24	1,5	1	16,0	69,5	69,5	
7020C	100	150	24	1,5	1	2,4	76,0	77,5	
	4.00	1.50		.,.			,-		

1,5

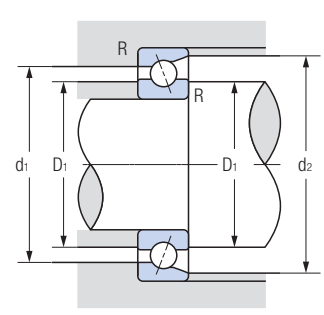
17,2

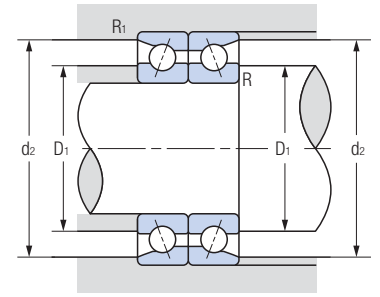
71,0

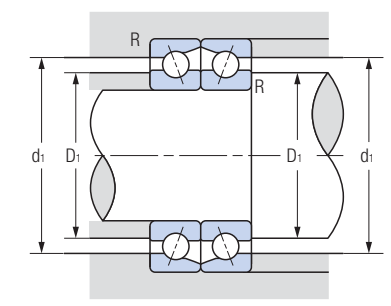
73,0

100

150







Disposizione singola

Spalla a spalla

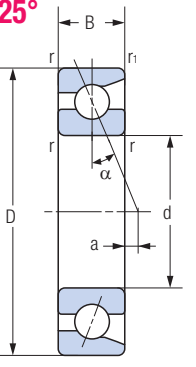
alla Faccia-a-faccia

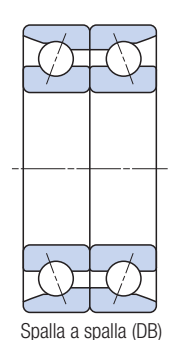
0	Massa	Raggio angolare (mm)						Limite velocit (giri/
Cuscinetto n.	(kg) (Riferimento)	R ₁ (Max)	R (Max)	d ₂ (Max)	d ₁ (Max)	D ₁ (Min)	Lubrificazione con olio	Lubrificazione con grasso
7000C	0,022	0,15	0,3	25	24	12	89000	65000
7000AC	0,022	0,15	0,3	25	24	12	75500	56500
7001C	0,024	0,15	0,3	27	26	14	80000	58500
7001AC	0,026	0,15	0,3	27	26	14	68000	51000
7002C	0,035	0,15	0,3	31	30	17	68000	49500
7002AC	0,035	0,15	0,3	31	30	17	58000	43000
7003C	0,045	0,15	0,3	34	33	19	61500	45000
7003AC	0,045	0,15	0,3	34	33	19	52500	39000
7004C	0,079	0,3	0,6	40	38	24	51500	37500
7004AC	0,079	0,3	0,6	40	38	24	44000	32500
7005C	0,091	0,3	0,6	45	43	29	44500	32500
7005AC	0,091	0,3	0,6	45	43	29	37500	28200
7006C	0,135	0,6	1	52	50	35	37500	27400
7006AC	0,135	0,6	1	52	50	35	32000	23900
7007C	0,170	0,6	1	59	57	40	33000	24100
7007AC	0,170	0,6	1	59	57	40	28000	21000
7008C	0,210	0,6	1	65	63	45	29600	21600
7008AC	0,210	0,6	1	65	63	45	25200	18800
7009C	0,265	0,6	1	72	70	50	26700	19500
7009AC	0,265	0,6	1	72	70	50	22700	16900
7010C	0,285	0,6	1	77	75	55	24600	18000
7010AC	0,285	0,6	1	77	75	55	20900	15600
7011C	0,420	0,6	1	86	84	61	22100	16100
7011AC	0,420	0,6	1	86	84	61	18800	14000
7012C	0,450	0,6	1	91	89	66	20600	15000
7012AC	0,450	0,6	1	91	89	66	17500	13100
7013C	0,470	0,6	1	96	94	71	19400	14200
7013AC	0,470	0,6	1	96	94	71	16500	12300
7014C	0,660	0,6	1	106	104	76	17800	13000
7014AC	0,660	0,6	1	106	104	76	15100	11300
7015C	0,695	0,6	1	111	109	81	16800	12300
7015AC	0,695	0,6	1	111	109	81	14300	10700
7016C	0,925	0,6	1	121	119	86	15600	11400
7016AC	0,925	0,6	1	121	119	86	13300	9900
7017C	0,960	0,6	1	126	124	91	14900	10900
7017AC	0,960	0,6	1	126	124	91	12700	9400
7018C	1,26	1	1,5	135,6	133	97	13900	10100
7018AC	1,26	1	1,5	135,6	133	97	11800	8800
7019C	1,36	1	1,5	140,6	138	102	13300	9700
7019AC	1,36	1	1,5	140,6	138	102	11300	8400
7020C	1,37	1	1,5	145,6	143	107	12800	9300
7020AC	1,37	1	1,5	145,6	143	107	10900	8100

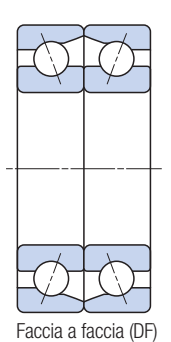
Cuscinetti obliqui a sfere

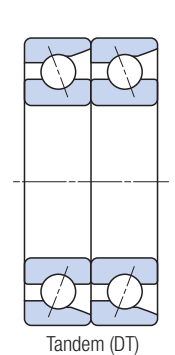
Serie 7200C Angolo di contatto α = 15°

Serie 7200AC Angolo di contatto α = 25°



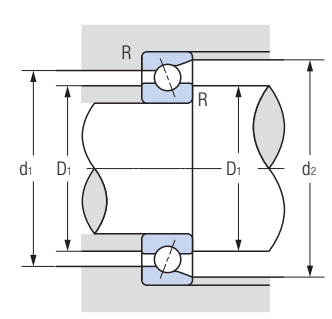


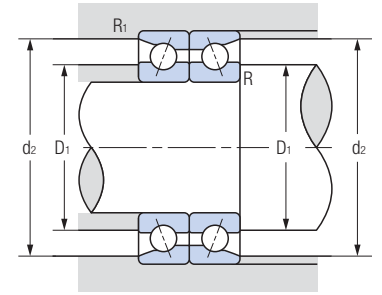


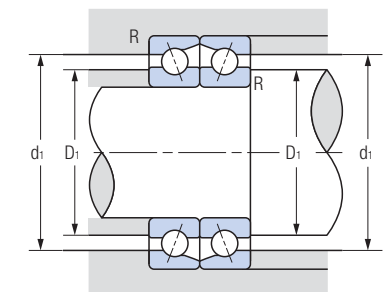


				Spalla a spall	ia (DB) Facci	a a faccia (DF)	Tandem (DT)		
Cuscinetto n.		Dim	ensioni limite (,		Centro di carico a	Coefficiente di carico dinamico di base Cr	Coefficiente di carico statico base Cor	
	d	D	В	r (Min)	r1 (Min)	(mm)	(kN)	(kN)	
7200C	10	30	9	0,6	0,3	-2,2	6,95	3,30	
7200AC	10	30	9	0,6	0,3	0,2	6,75	3,20	
7201C	12	32	10	0,6	0,3	-2,5	7,95	3,90	
7201AC	12	32	10	0,6	0,3	0,2	7,65	3,75	
7202C	15	35	11	0,6	0,3	-2,6	8,70	4,55	
7202AC	15	35	11	0,6	0,3	0,4	8,35	4,40	
7203C	17	40	12	0,6	0,3	-2,7	10,9	5,90	
7203AC	17	40	12	0,6	0,3	0,8	10,5	5,65	
7204C	20	47	14	1	0,6	-3,1	14,7	8,15	
7204AC	20	47	14	1	0,6	0,9	14,0	7,80	
7205C	25	52	15	1	0,6	-3,1	16,7	10,3	
7205AC	25	52	15	1	0,6	1,6	15,9	9,80	
7206C	30	62	16	1	0,6	-2,7	23,2	14,9	
7206AC	30	62	16	1	0,6	2,8	22,0	14,1	
7207C	35	72	17	1,1	0,6	-2,3	30,5	20,1	
7207AC	35	72	17	1,1	0,6	4	29,1	19,1	
7208C	40	80	18	1,1	0,6	-2,1	36,5	25,4	
7208AC	40	80	18	1,1	0,6	5	34,5	24,1	
7209C	45	85	19	1,1	0,6	-2,0	41,0	29,0	
7209AC	45	85	19	1,1	0,6	5,7	39,0	27,5	
7210C	50	90	20	1,1	0,6	-1,9	43,0	32,0	
7210AC	50	90	20	1,1	0,6	6,3	41,0	30,5	
7211C	55	100	21	1,5	1	-1,6	53,0	40,0	
7211AC	55	100	21	1,5	1	7,6	50,5	38,0	
7212C	60	110	22	1,5	1	-1,2	64,5	49,5	
7212AC	60	110	22	1,5	1	8,8	58,0	43,5	
7213C	65	120	23	1,5	1	-0,8	73,5	59,0	
7213AC	65	120	23	1,5	1	10,1	66,5	52,0	
7214C	70	125	24	1,5	1	-0,7	80,0	65,0	
7214AC	70	125	24	1,5	1	10,7	72,5	57,5	
7215C	75	130	25	1,5	1	-0,7	83,5	70,0	
7215AC	75	130	25	1,5	1	11,4	75,5	62,5	
7216C	80	140	26	2	1	-0,3	93,5	78,0	
7216AC	80	140	26	2	1	12,7	88,5	74,0	
7217C	85	150	28	2	1	-0,4	100	85,0	
7217AC	85	150	28	2	1	13,4	95,0	81,0	
7218C	90	160	30	2	1	-0,6	124	105	
7218AC	90	160	30	2	1	14,2	112	93,0	
7219C	95	170	32	2,1	1,1	-0,7	133	115	
7219AC	95	170	32	2,1	1,1	14,9	126	107	
7220C	100	180	34	2,1	1,1	-0,8	150	128	
7220AC	100	180	34	2,1	1,1	15,7	142	121	

TAB TAF







Disposizione singola

Spalla a spalla

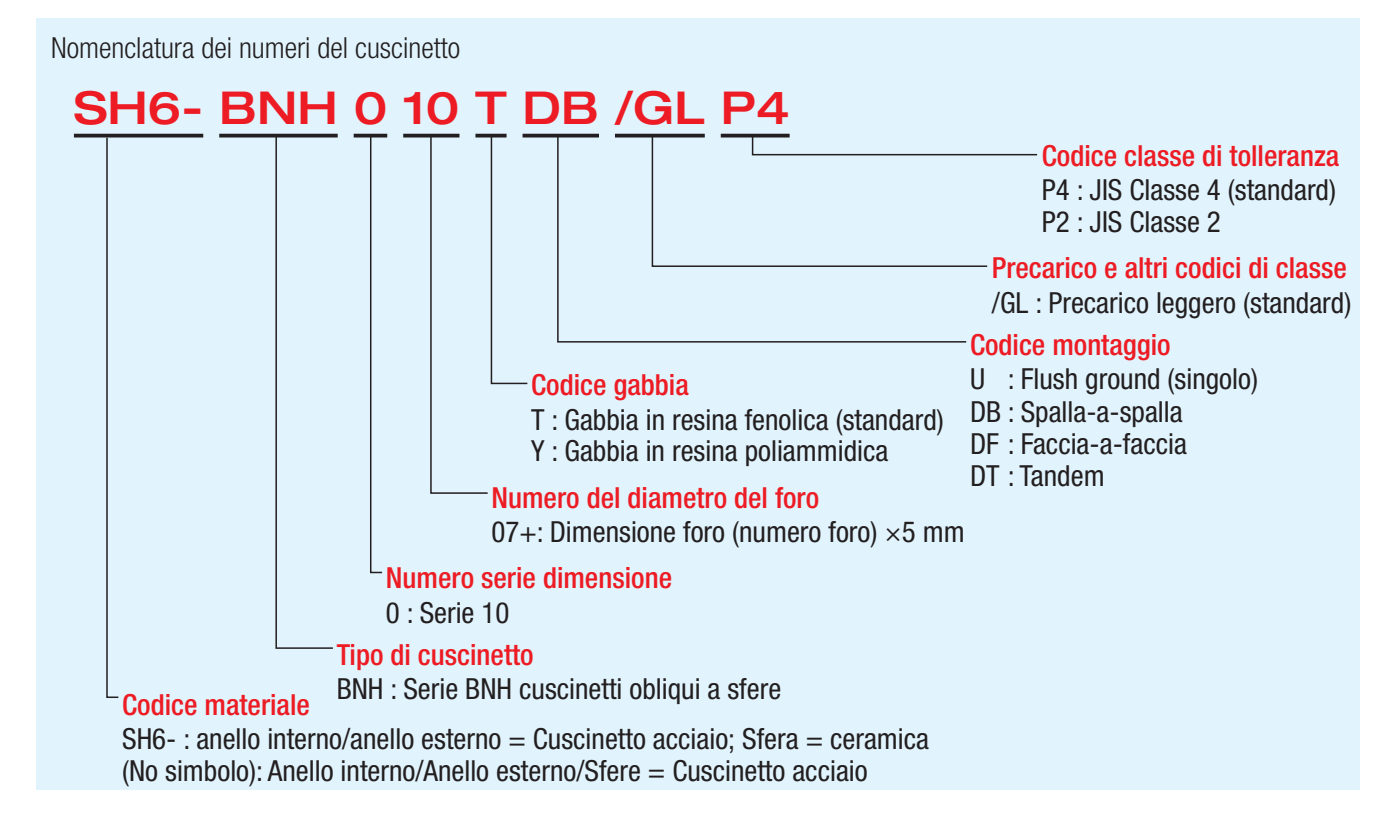
spalla Faccia-a-faccia

Cuccinatta	Massa		Limite velocità di rotazione (giri/min) Raggio angolare (mm)					
Cuscinetto n.	(kg) (Riferimento)	R ₁ (Max)	R (Max)	d ₂ (Max)	d ₁ (Max)	D1 (Min)	Lubrificazione con olio	Lubrificazione con grasso
7200C	0,034	0,3	0,6	27,4	25	15	80000	58500
7200AC	0,034	0,3	0,6	27,4	25	15	68000	51000
7201C	0,040	0,3	0,6	29,4	27	17	72500	53000
7201AC	0,040	0,3	0,6	29,4	27	17	62000	46000
7202C	0,048	0,3	0,6	32,4	30	20	64000	46500
7202AC	0,048	0,3	0,6	32,4	30	20	54500	40500
7203C	0,070	0,3	0,6	37,4	35	22	56000	41000
7203AC	0,070	0,3	0,6	37,4	35	22	47500	35500
7204C	0,110	0,6	1	43,4	41	26	47500	34500
7204AC	0,110	0,6	1	43,4	41	26	40500	30500
7205C	0,135	0,6	1	48,4	46	31	41500	30000
7205AC	0,135	0,6	1	48,4	46	31	35500	26400
7206C	0,210	0,6	1	58,4	56	36	34500	25200
7206AC	0,210	0,6	1	58,4	56	36	29600	22000
7207C	0,295	0,6	1	67	65	42	29900	21800
7207AC	0,295	0,6	1	67	65	42	25400	19000
7208C	0,380	0,6	1	75	73	47	26700	19500
7208AC	0,380	0,6	1	75	73	47	22700	16900
7209C	0,430	0,6	1	80	78	52	24600	18000
7209AC	0,430	0,6	1	80	78	52	20900	15600
7210C	0,485	0,6	1	85	83	57	22900	16700
7210AC	0,485	0,6	1	85	83	57	19400	14500
7211C	0,635	1	1,5	94,6	91	64	20600	15000
7211AC	0,635	1	1,5	94,6	91	64	17500	13100
7212C	0,820	1	1,5	104,6	101	69	18800	13700
7212AC	0,820	1	1,5	104,6	101	69	16000	12000
7213C	1,02	1	1,5	114,6	111	74	17300	12600
7213AC	1,02	1	1,5	114,6	111	74	14700	11000
7214C	1,12	0,8	1,5	119,6	116	79	16400	12000
7214AC	1,12	0,8	1,5	119,6	116	79	13900	10400
7215C	1,23	1	1,5	124,6	121	84	15600	11400
7215AC	1,23	1	1,5	124,6	121	84	13300	9900
7216C	1,50	1	2	134	130	90	14500	10600
7216AC	1,50	1	2	134	130	90	12400	9200
7217C	1,87	1	2	144	140	95	13600	9900
7217AC	1,87	1	2	144	140	95	11600	8600
7218C	2,30	1	2	154	150	100	12800	9300
7218AC	2,30	1	2	154	150	100	10900	8100
7219C	2,78	1	2	163	158	107	12100	8800
7219C	2,78	1	2	163	158	107	10300	7700
7219AC	3,32	1	2	173	168	112	11400	8300
7220AC	3,32	1	2	173	168	112	9700	7200
cinetti obliqui a sfere			2	170	100	112	9100	1200

Cuscinetti obliqui a sfere ad alta velocità

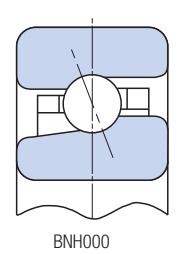
Serie BNH

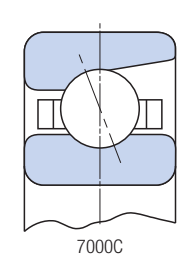




Caratteristiche

- Sfere di acciaio per macchine più piccole, velocità più elevate e temperature minori rispetto ai cuscinetti obliqui a sfere precedenti. Utilizzati principalmente per centri di lavorazione ad alta velocità con mandrino principale.
- Sono disponibili le sfere in ceramica.





Angolo di contatto

Angolo di contatto a 15° fornito come standard.

Gabbia

Come standard viene fornita una gabbia fenolica di guida per la sfera. Disponibile anche una gabbia in resina poliammidica di guida per la sfera.

Precisione dimensionale, precisione rotazionale

Conforme come standard a JIS Classe 4. Vedere pagina 7 per maggiori dettagli.

Precarico

Precarico leggero come standard. Vedere pagina 19 per informazioni relative ai precarichi.

Tipi di sfere in ceramica

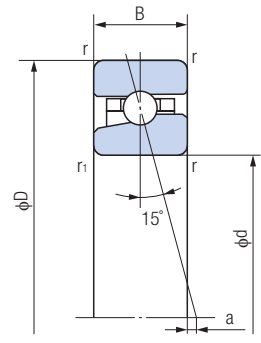
- Sono disponibili anche cuscinetti con sfere in ceramiche con densità minore delle sfere in acciaio per forza centrifuga minore quando le sfere ruotano ad alte velocità.
- Le caratteristiche delle sfere in ceramica e delle sfere in acciaio sono mostrate nella seguente tabella.
- I numeri dei cuscinetti che utilizzano sfere in ceramica inizia per "SH6-".
- Il precarico e la rigidità assiale è circa 1,2 volte quello dei cuscinetti con sfere in acciaio.

Confronto tra le caratteristiche delle sfere in ceramica e delle sfere in acciaio

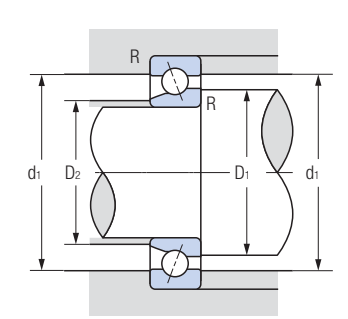
Caratteristiche	Unità	Ceramica (Si₃N₄)	Sfere in acciaio (SUJ2)
Resistenza termica	°C	800	180
Densità	g/cc	3,2	7,8
Coefficiente di espansione lineare	1/°C	3,2×10 ⁻⁶	12,5×10 ⁻⁶
Durezza	Hv	1400~1700	700~800
Coefficiente elastico longitudinale	GPa	314	206
Rapporto di Poisson		0,26	0,30
Resistenza alla corrosione		Buona	Non buona
Magnetismo		Sostanza non magnetica	Sostanza altamente magnetica
Conduttività		Materiale isolante	Conduttore
Legame chimico cristallino		Covalente	Metallico

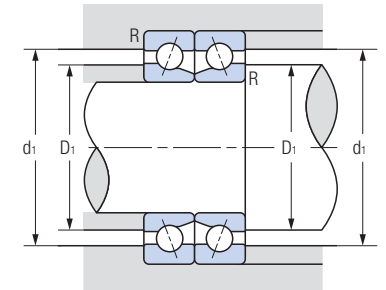
Serie BNH Cuscinetti obliqui a sfere ad alta velocità

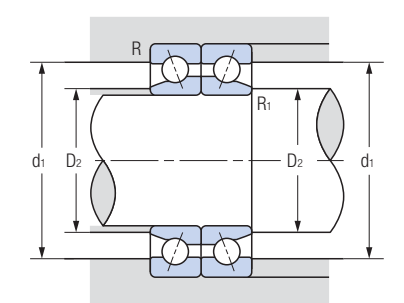
Angolo di contatto 15°



		Dim	ensioni limite (mm)		Occidental di consiste	Coefficiente di	Coefficiente di	
Cuscinetto n.	d	D	В	r (Min)	r1 (Min)	Centro di carico a (mm)	carico dinamico di base Cr (kN)	carico statico base Cor (kN)	
BNH007	35	62	14	1	0,6	-0,5	11,6	9,95	
BNH008	40	68	15	1	0,6	-0,3	14,8	12,9	
BNH009	45	75	16	1	0,6	0	15,5	14,5	
BNH010	50	80	16	1	0,6	0,7	16,1	15,9	
BNH011	55	90	18	1,1	0,6	0,7	20,0	20,1	
BNH012	60	95	18	1,1	0,6	1,4	20,8	21,9	
BNH013	65	100	18	1,1	0,6	2,1	21,5	23,4	
BNH014	70	110	20	1,1	0,6	2,1	29,4	31,5	
BNH015	75	115	20	1,1	0,6	2,7	29,8	32,5	
BNH016	80	125	22	1,1	0,6	2,7	35,0	39,0	
BNH017	85	130	22	1,1	0,6	3,4	35,5	40,0	
BNH018	90	140	24	1,5	1	3,4	46,5	53,0	
BNH019	95	145	24	1,5	1	4,1	47,0	55,0	
BNH020	100	150	24	1,5	1	4,7	48,0	56,5	
BNH021	105	160	26	2	1	4,8	54,5	65,0	
BNH022	110	170	28	2	1	4,8	61,0	74,0	
BNH024	120	180	28	2	1	6,1	63,0	79,0	
BNH026	130	200	33	2	1	5,6	83,5	105	
BNH028	140	210	33	2	1	6,9	86,0	112	
BNH030	150	225	35	2,1	1,1	7,6	102	132	
BNH032	160	240	38	2,1	1,1	7,8	110	145	
BNH034	170	260	42	2,1	1,1	7,8	129	173	







Disposizione singola o tandem

Spalla a spalla

Faccia-a-faccia

	Dioposizione singola o			орини и орини			i doold a idoold	
Limite velocità di r	otazione (giri/min)		Rag	gio angolare (r	nm)		Massa	
Lubrificazione con grasso	Lubrificazione con olio	D ₁ (Min)	D ₂ (Min)	d ₁ R (Max)		R ₁ (Max)	Massa (kg) (Riferimento)	Cuscinetto n.
28900	39000	40	39	57	1	0,6	0,167	BNH007
26000	35000	45	44	63	1	0,6	0,200	BNH008
23400	31500	50	49,5	70	1	0,6	0,260	BNH009
21600	29200	55	54,5	75	1	0,6	0,280	BNH010
19400	26200	61	59,5	84	1	0,6	0,400	BNH011
18100	24500	66	64,5	89	1	0,6	0,433	BNH012
17000	23000	71	69,5	94	1	0,6	0,460	BNH013
15600	21100	76	74,5	104	1	0,6	0,650	BNH014
14800	20000	81	79,5	109	1	0,6	0,690	BNH015
13700	18500	86	84,5	119	1	0,6	0,930	BNH016
13100	17700	91	89,5	124	1	0,6	0,973	BNH017
12200	16500	97	95,5	133	1,5	1	1,27	BNH018
11700	15800	102	100,5	138	1,5	1	1,33	BNH019
11200	15200	107	105,5	143	1,5	1	1,39	BNH020
10600	14300	115	110,5	150	2	1	1,77	BNH021
10000	13600	120	115,5	160	2	1	2,18	BNH022
9400	12700	130	125,5	170	2	1	2,32	BNH024
8500	11500	140	135,5	190	2	1	3,46	BNH026
8000	10900	150	145,5	200	2	1	3,68	BNH028
7500	10100	161	156	213	2	1	4,55	BNH030
7000	9500	172	166	228	2	1	5,57	BNH032
6500	8800	182	176	248	2	1	7,50	BNH034

Cuscinetti obliqui a sfere con carico di spinta

Serie TAH/TBH



7900 7000 7200

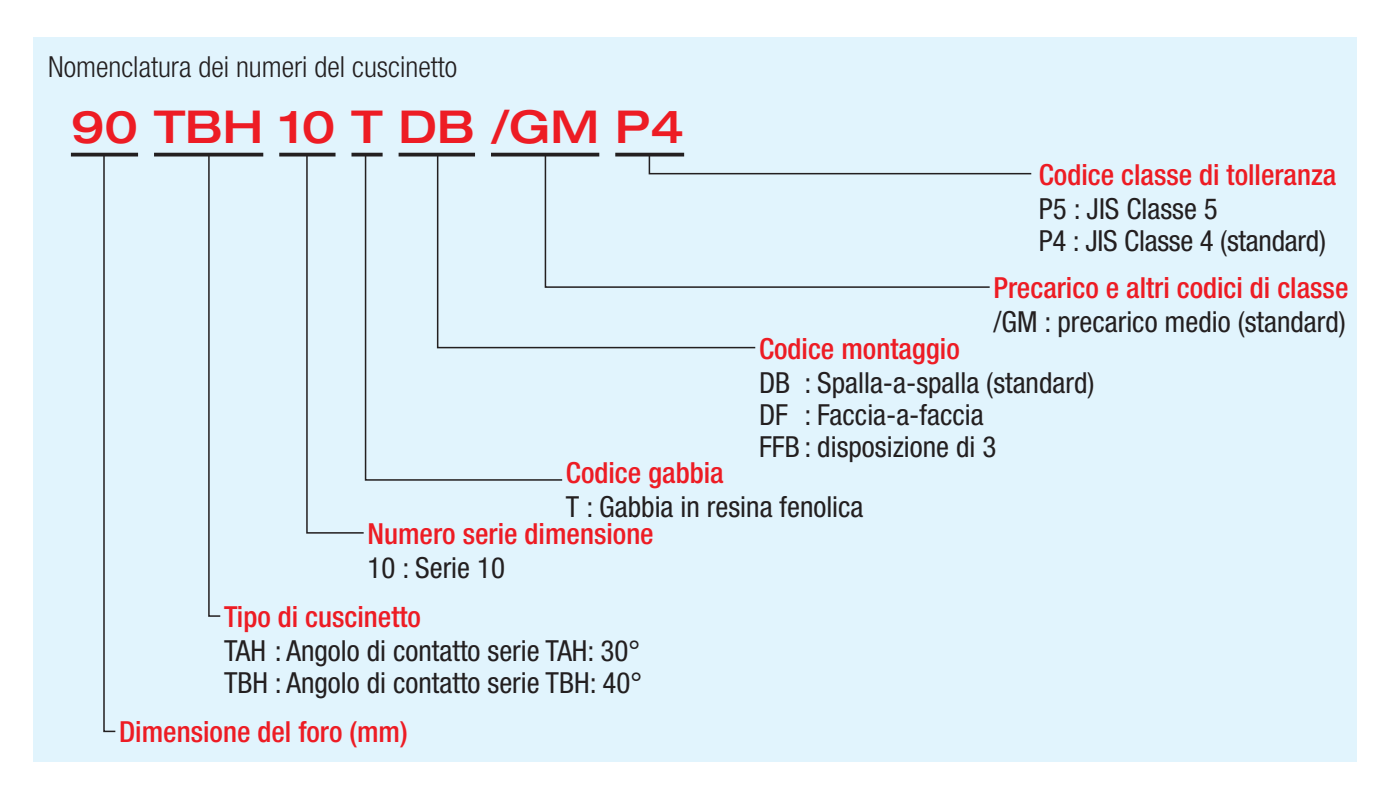
BNH

TBH NN3000

NNU4900

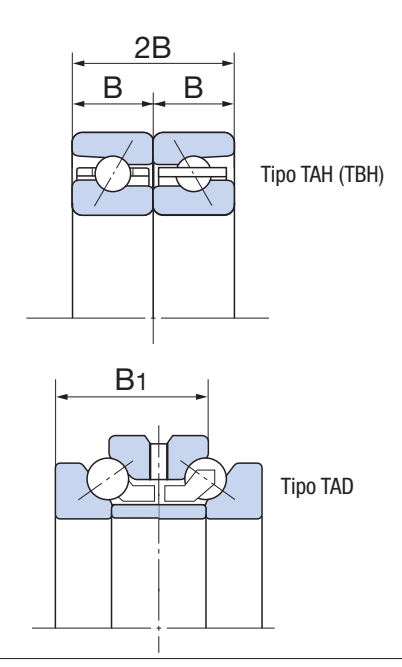
XRN XRG

TAB



Caratteristiche

- Stesso numero e diametro di sfere del tipo TAD20, cuscinetti obliqui a sfere di spinta in direzione doppia e angoli di contatto minori, 30° (serie TAH) o 40° (serie TBH), ma con migliori prestazioni ad alta velocità senza anello separabile.
- Dimensione larghezza 2B di un montaggio doppio (DB o DF) che è equivalente alla dimensione B1 del tipo TAD20. Le serie TAH/TBH sono intercambiabili modificando il metodo utilizzato per fissarle all'albero.



Angolo di contatto

Angolo di contatto a 30° per la serie TAH, angolo di contatto a 40° per la serie TBH.

Gabbia

Come standard viene fornita una gabbia fenolica di guida per la sfera.

Precisione dimensionale, precisione rotazionale

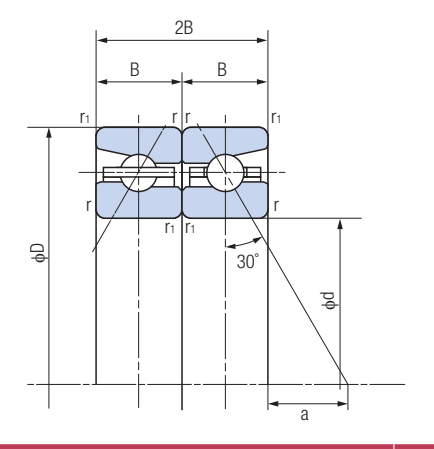
Conformità alla JIS Classe 4 come standard ma il diametro esterno anello esterno presenta tolleranze minori rispetto al cuscinetto radiale usato insieme. Vedere pagina 9 per maggiori dettagli.

Precarico

Precarico medio come standard. Vedere pagina 19 per informazioni relative ai precarichi.

Cuscinetti obliqui a sfere con carico di spinta Serie TAH

Angolo di contatto 30°



1N=0,102kgf

			Dim	ensioni limite (mm)		O and the all a series	Coefficiente di	Coefficiente di	
(Cuscinetto n.	d	D	2B	r (Min)	r1 (Min)	Centro di carico a (mm)	carico dinamico di base Ca (kN)	carico statico base Coa (kN)	
	50TAH10DB	50	80	28,5	1	0,6	11,6	19,2	40,5	
	55TAH10DB	55	90	33	1,1	0,6	12,7	23,8	51,0	
(OTAH10DB	60	95	33	1,1	0,6	14,1	24,7	56,0	
(STAH10DB	65	100	33	1,1	0,6	15,6	25,6	61,0	
7	70TAH10DB	70	110	36	1,1	0,6	17,0	35,0	80,0	
7	75TAH10DB	75	115	36	1,1	0,6	18,4	35,5	83,5	
8	30TAH10DB	80	125	40,5	1,1	0,6	19,5	41,5	99,5	
8	35TAH10DB	85	130	40,5	1,1	0,6	20,9	42,0	104	
	OTAH10DB	90	140	45	1,5	1	21,9	55,5	135	
9	95TAH10DB	95	145	45	1,5	1	23,4	56,0	141	
10	OTAH10DB	100	150	45	1,5	1	24,8	57,0	147	
10	5TAH10DB	105	160	49,5	2	1	25,9	64,5	168	
11	IOTAH10DB	110	170	54	2	1	26,9	73,0	191	
12	20TAH10DB	120	180	54	2	1	29,8	75,0	207	
13	30TAH10DB	130	200	63	2	1	31,9	99,5	269	
14	10TAH10DB	140	210	63	2	1	34,8	103	291	
15	50TAH10DB	150	225	67,5	2,1	1,1	37,3	121	340	
16	60TAH10DB	160	240	72	2,1	1,1	39,7	131	375	
17	70TAH10DB	170	260	81	2,1	1,1	41,8	154	445	



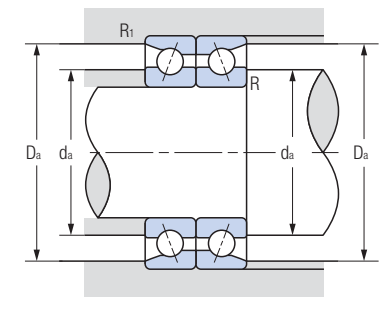
Tipologie e progettazione 7900 7000 7200

BNH

TAH TBH

NN3000 NNU4900

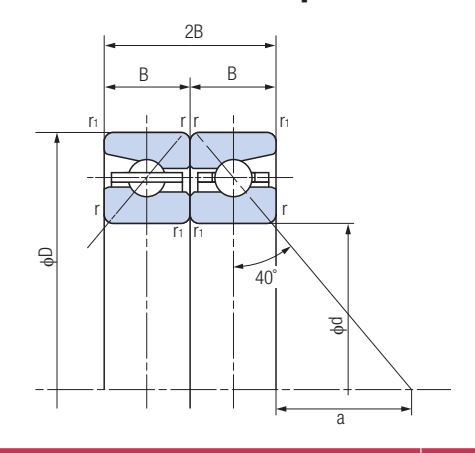
XRN XRG TAB TAF



Limite velocità di r	rotazione (giri/min)		Raggio ang	olare (mm)		Massa	
Lubrificazione con grasso	Lubrificazione con olio	da (Min)	Da (Max)	R (Min)	R ₁ (Min)	(kg) (Riferimento)	Cuscinetto n.
11500	14600	61	75	1	0,6	0,266	50TAH10DB
10300	13100	68	84	1	0,6	0,405	55TAH10DB
9700	12300	73	89	1	0,6	0,432	60TAH10DB
9100	11500	78	94	1	0,6	0,460	65TAH10DB
8300	10600	85	104	1	0,6	0,622	70TAH10DB
7900	10000	90	109	1	0,6	0,655	75TAH10DB
7300	9200	97	118	1	0,6	0,900	80TAH10DB
7000	8800	102	123	1	0,6	0,944	85TAH10DB
6500	8200	107,5	132	1,5	1	1,24	90TAH10DB
6200	7900	112,5	137	1,5	1	1,30	95TAH10DB
6000	7600	117,5	142	1,5	1	1,35	100TAH10DB
5600	7100	125	151	2	1	1,75	105TAH10DB
5300	6800	132	160	2	1	2,20	110TAH10DB
5000	6300	142	170	2	1	2,36	120TAH10DB
4500	5700	156	188	2	1	3,52	130TAH10DB
4200	5400	166	198	2	1	3,75	140TAH10DB
4000	5000	178	212	2	1	4,59	150TAH10DB
3700	4700	190	227	2	1	5,62	160TAH10DB
3400	4400	204	245	2	1	7,63	170TAH10DB

Cuscinetti obliqui a sfere con carico di spinta Serie TBH

Angolo di contatto 40°



1N=0,102kgf

			Dim	ensioni limite (mm)		O and the all a series	Coefficiente di	Coefficiente di	
Cuscine	tto n.	d	D	2B	r (Min)	r1 (Min)	Centro di carico a (mm)	carico dinamico di base Ca (kN)	carico statico base Coa (kN)	
50TBH	10DB	50	80	28,5	1	0,6	20,2	22,8	53,0	
55TBH	10DB	55	90	33	1,1	0,6	22,2	28,2	67,0	
60TBH	10DB	60	95	33	1,1	0,6	24,3	29,3	73,0	
65TBH	10DB	65	100	33	1,1	0,6	26,4	30,0	79,5	
70TBH	10DB	70	110	36	1,1	0,6	28,8	41,5	104	
75 TB H	10DB	75	115	36	1,1	0,6	30,9	42,0	109	
80TBH	10DB	80	125	40,5	1,1	0,6	32,9	49,0	130	
85 TB H	10DB	85	130	40,5	1,1	0,6	35,0	50,0	136	
90TBH	10DB	90	140	45	1,5	1	37,0	65,5	176	
95TBH	10DB	95	145	45	1,5	1	39,1	66,5	184	
100TBH	10DB	100	150	45	1,5	1	41,2	67,5	191	
105TBH	10DB	105	160	49,5	2	1	43,2	76,5	219	
110TBH	10DB	110	170	54	2	1	45,3	86,0	249	
120TBH	10DB	120	180	54	2	1	49,5	88,5	269	
130TBH	10DB	130	200	63	2	1	53,5	118	350	
140TBH	10DB	140	210	63	2	1	57,7	121	380	
150TBH	10DB	150	225	67,5	2,1	1,1	61,8	143	445	
160TBH	10DB	160	240	72	2,1	1,1	65,9	155	490	
170TBH	10DB	170	260	81	2,1	1,1	70,0	182	580	



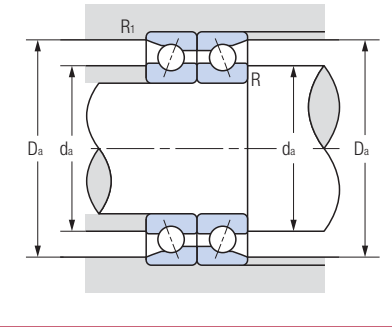
Tipologie e progettazione 7900 7000 7200

BNH

TAH TBH

NN3000 NNU4900

XRN XRG TAB TAF

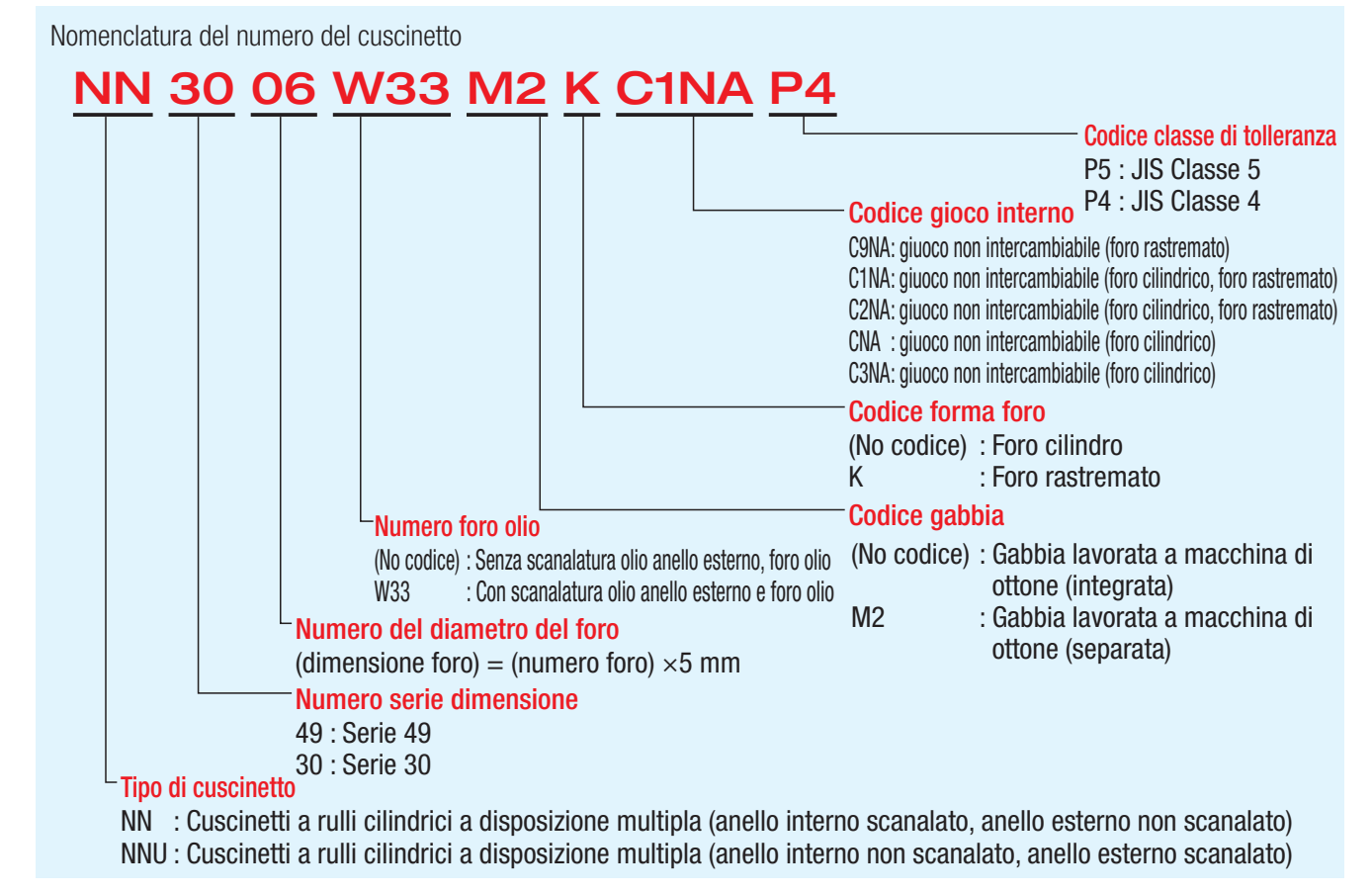


Limite velocità di r	rotazione (giri/min)		Raggio ang	olare (mm)		Massa	
Lubrificazione con grasso	Lubrificazione con olio	da (Min)	Da (Max)	R (Min)	R ₁ (Min)	Massa (kg) (Riferimento)	Cuscinetto n.
10000	13200	61	75	1	0,6	0,266	50TBH10DB
8900	11800	68	84	1	0,6	0,405	55TBH10DB
8300	11000	73	89	1	0,6	0,432	60TBH10DB
7900	10400	78	94	1	0,6	0,460	65TBH10DB
7200	9500	85	104	1	0,6	0,622	70TBH10DB
6800	9000	90	109	1	0,6	0,655	75TBH10DB
6300	8300	97	118	1	0,6	0,900	80TBH10DB
6000	7900	102	123	1	0,6	0,944	85TBH10DB
5600	7400	107,5	132	1,5	1	1,24	90TBH10DB
5400	7100	112,5	137	1,5	1	1,30	95TBH10DB
5200	6800	117,5	142	1,5	1	1,35	100TBH10DB
4900	6400	125	151	2	1	1,75	105TBH10DB
4600	6100	132	160	2	1	2,20	110TBH10DB
4300	5700	142	170	2	1	2,36	120TBH10DB
3900	5200	156	188	2	1	3,52	130TBH10DB
3700	4900	166	198	2	1	3,75	140TBH10DB
3400	4500	178	212	2	1	4,59	150TBH10DB
3200	4200	190	227	2	1	5,62	160TBH10DB
3000	3900	204	245	2	1	7,63	170TBH10DB

Cuscinetti a rulli cilindrici a disposizione multipla

Serie NN3000/ Serie NNU4900





Caratteristiche

- La struttura comparativamente semplice garantisce una precisione elevata. Presenza di un numero elevato di rulli per alta rigidità.
- Minori sezioni di scorrimento rispetto ai cuscinetti a rulli conici per cui minore generazione di calore.
- Il foro rastremato del cuscinetto consente la regolazione del giuoco interno radiale durante il montaggio.
- Questo tipo di cuscinetti non è idoneo per il carico assiale, per cui di solito è usato insieme ai cuscinetti assiali.

Gabbia

Sia la serie NN3000 che la serie NNU4900 sono forniti come standard con gabbia di guida rulli in lega di ottone.

Precisione dimensionale, precisione rotazionale

- Conforme a JIS Classe 5 o Classe 4. Vedere pagina 7 per maggiori dettagli.
- Nachi definisce dei propri valori di tolleranza per precisione delle dimensioni. Vedere pagina 11 per maggiori dettagli.

Giuoco interno radiale

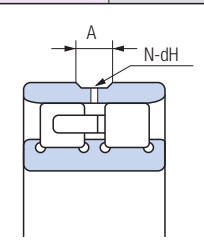
Nachi definisce i propri giochi non intercambiabili per fori cilindrici e fori conici per ridurre l'inconsistenza dell'eccentricità radiale. Vedere pagina 21 per maggiori dettagli.

Dimensioni foro olio anello esterno

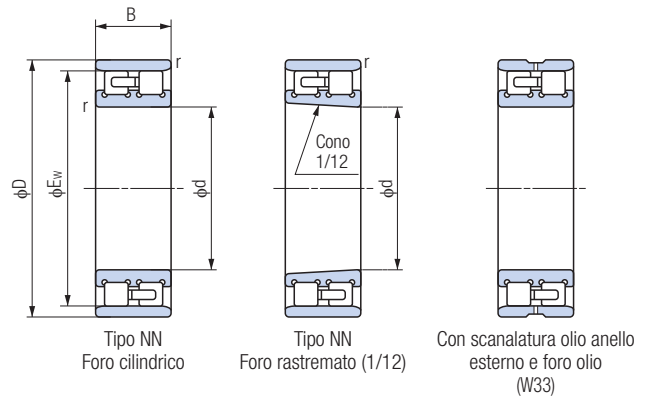
La seguente tabella mostra le dimensioni del foro olio dell'anello esterno e della scanalatura olio (specifiche W33).

Dimensione larghezz B (r		Diametro foro olio dH (mm)	Larghezza scanalatura olio
Oltre	Fino a	uri (ililii)	A (mm)
_	19	2	3,5
19	25	2	4
25	35	3	6
35	50	4	8
50	80	6	10
80		8	12

Dimensioni diametr D (r		Numero di fori olio
Oltre	Fino a	IN IN
	250	4
250	_	6



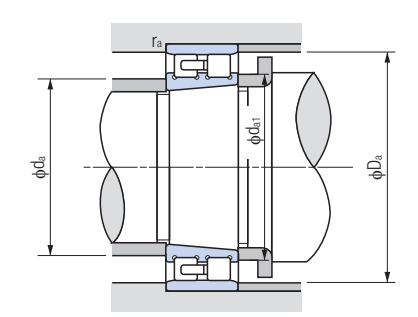
Cuscinetti a rulli cilindrici a disposizione multipla Serie NN3000



	(W33) Cussinatta n Confficiente di Confficiente di							
Cusci	netto n.		Dim	ensioni limite	(mm)		Coefficiente di carico dinamico	Coefficiente di carico statico
Foro cilindrico	Foro rastremato	d	D	В	Ew	r (Min)	di base Cr (kN)	base Cor (kN)
NN3005	NN3005K	25	47	16	41,3	0,6	25,8	30,0
NN3006	NN3006K	30	55	19	48,5	1	31,0	37,0
NN3007	NN3007K	35	62	20	55	1	39,5	50,0
NN3008	NN3008K	40	68	21	61	1	43,5	55,5
NN3009	NN3009K	45	75	23	67,5	1	52,0	65,5
NN3010	NN3010K	50	80	23	72,5	1	53,0	72,5
NN3011	NN3011K	55	90	26	81	1,1	69,5	96,5
NN3012	NN3012K	60	95	26	86,1	1,1	73,5	106
NN3013	NN3013K	65	100	26	91	1,1	77,0	116
NN3014	NN3014K	70	110	30	100	1,1	97,5	148
NN3015	NN3015K	75	115	30	105	1,1	96,5	149
NN3016	NN3016K	80	125	34	113	1,1	119	186
NN3017	NN3017K	85	130	34	118	1,1	125	201
NN3018	NN3018K	90	140	37	127	1,5	143	228
NN3019	NN3019K	95	145	37	132	1,5	150	246
NN3020	NN3020K	100	150	37	137	1,5	157	265
NN3021	NN3021K	105	160	41	146	2	198	320
NN3022	NN3022K	110	170	45	155	2	229	375
NN3024	NN3024K	120	180	46	165	2	239	405
NN3026	NN3026K	130	200	52	182	2	284	475
NN3028	NN3028K	140	210	53	192	2	298	515
NN3030	NN3030K	150	225	56	206	2,1	335	585
NN3032	NN3032K	160	240	60	219	2,1	375	660
NN3034	NN3034K	170	260	67	236	2,1	450	805
NN3036	NN3036K	180	280	74	255	2,1	565	995
NN3038	NN3038K	190	290	75	265	2,1	595	1080
NN3040	NN3040K	200	310	82	282	2,1	655	1170
NN3044	NN3044K	220	340	90	310	3	815	1480
NN3048	NN3048K	240	360	92	330	3	855	1600
NN3052	NN3052K	260	400	104	364	4	1080	2070
NN3056	NN3056K	280	420	106	384	4	1080	2080
NN3060	NN3060K	300	460	118	418	4	1430	2740
NN3064	NN3064K	320	480	121	438	4	1430	2750

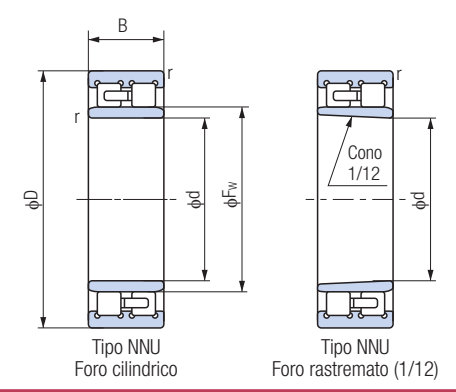
TAH TBH

NN3000 NNU4900 XRN XRG



Limite velocità di	rotazione (giri/min)		Ra	ggio angolare (r	nm)				
Lubrificaziona	Lubrificazione	do	do1	[Da		Massa (kg) (Riferimento)	Cuscinetto n.	
Lubrificazione con grasso	Lubrificazione con olio	da (Min)	da1 (Min)	(Max)	(Min)	ra (Max)	(Foro rastremato)	(Foro rastremato)	
21300	25000	30	30	42	41,8	0,6	0,123	NN3005K	
18000	21200	36	37	49	49	1	0,199	NN3006K	
15800	18600	41	42	56	56	1	0,258	NN3007K	
14200	16700	46	48	62	62	1	0,312	NN3008K	
12800	15000	51	52	69	69	1	0,405	NN3009K	
11700	13800	56	58	74	74	1	0,454	NN3010K	
10500	12400	62	64	83	82	1	0,651	NN3011K	
9800	11600	67	68	88	87	1	0,704	NN3012K	
9200	10900	72	74	93	92	1	0,758	NN3013K	
8500	10000	77	78	103	101	1	1,04	NN3014K	
8000	9400	82	84	108	106	1	1,14	NN3015K	
7500	8800	87	90	118	114	1	1,52	NN3016K	
7100	8300	92	96	123	119	1	1,61	NN3017K	
6600	7800	98,5	100	131,5	129	1,5	2,07	NN3018K	
6300	7500	103,5	106	136,5	134	1,5	2,17	NN3019K	
6100	7200	108,5	112	141,5	139	1,5	2,26	NN3020K	
5800	6800	115	116	150	148	2	2,89	NN3021K	
5400	6400	120	122	160	157	2	3,68	NN3022K	
5100	6000	130	132	170	167	2	3,98	NN3024K	
4600	5400	140	144	190	183	2	5,92	NN3026K	
4300	5100	150	154	200	194	2	6,44	NN3028K	
4100	4800	162	164	213	208	2	7,81	NN3030K	
3800	4500	172	174	228	221	2	8,92	NN3032K	
3500	4200	182	184	248	238	2	12,6	NN3034K	
3300	3900	192	196	268	257	2	16,6	NN3036K	
3200	3700	202	206	278	267	2	17,5	NN3038K	
2900	3500	212	216	298	285	2	21,6	NN3040K	
2700	3200	234	238	326	313	2,5	28,4	NN3044K	
2500	3000	254	256	346	333	2,5	31,8	NN3048K	
2300	2700	278	280	382	367	3	46,0	NN3052K	
2100	2500	298	300	402	387	3	49,6	NN3056K	
2000	2300	318	325	442	421	3	68,7	NN3060K	
1900	2200	338	345	462	442	3	74,0	NN3064K	

Cuscinetti a rulli cilindrici a disposizione multipla Serie NNU4900



Cusc	inetto n.		Dim	ensioni limite (mm)		Coefficiente di	Coefficiente di
Foro cilindrico	Foro rastremato	d	D	В	Ew	r (Min)	carico dinamico di base Cr (kN)	carico statico base Cor (kN)
NNU4920	NNU4920K	100	140	40	113	1,1	155	305
NNU4921	NNU4921K	105	145	40	118	1,1	161	325
NNU4922	NNU4922K	110	150	40	123	1,1	167	335
NNU4924	NNU4924K	120	165	45	134,5	1,1	183	360
NNU4926	NNU4926K	130	180	50	146	1,5	275	565
NNU4928	NNU4928K	140	190	50	156	1,5	283	585
NNU4930	NNU4930K	150	210	60	168,5	2	350	715
NNU4932	NNU4932K	160	220	60	178,5	2	365	760
NNU4934	NNU4934K	170	230	60	188,5	2	375	805
NNU4936	NNU4936K	180	250	69	202	2	480	1020
NNU4938	NNU4938K	190	260	69	212	2	485	1060
NNU4940	NNU4940K	200	280	80	225	2,1	570	1220
NNU4944	NNU4944K	220	300	80	245	2,1	600	1330
NNU4948	NNU4948K	240	320	80	265	2,1	625	1450
NNU4952	NNU4952K	260	360	100	292	2,1	935	2100
NNU4956	NNU4956K	280	380	100	312	2,1	960	2230
NNU4960	NNU4960K	300	420	118	339	3	1230	2880
NNU4964	NNU4964K	320	440	118	359	3	1270	3050

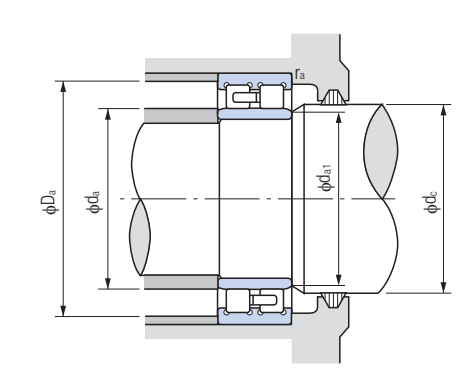
BNH

TAH TBH

NN3000 NNU4900

XRN XRG

TAB TAF



L	Limite velocità di r	otazione (giri/min)			Raggio ang	olare (mm)			No. of the Control of	
_	Lubrificazione	Lubrificazione	d	a	da1	dc	Da	ra	Massa (kg) (Riferimento)	Cuscinetto n.
	con grasso	con olio	(Min)	(Max)	(Min)	(Min)	(Max)	(Max)	(Fòro rastremato)	(Foro rastremato)
	6300	7500	106,5	111	110	115	133,5	1	1,77	NNU4920K
	6100	7200	111,5	116	115	120	138,5	1	1,85	NNU4921K
	5800	6900	116,5	121	120	125	143,5	1	1,93	NNU4922K
	5300	6300	126,5	133	130	137	158,5	1	2,65	NNU4924K
	4900	5800	138	144	142	148	172	1,5	3,55	NNU4926K
	4600	5400	148	154	151	158	182	1,5	3,80	NNU4928K
	4200	5000	159	166	162	171	201	2	5,95	NNU4930K
	4000	4700	169	176	172	182	211	2	6,25	NNU4932K
	3800	4500	179	186	182	192	221	2	6,60	NNU4934K
	3500	4200	189	199	194	205	241	2	9,50	NNU4936K
	3400	4000	199	209	204	215	251	2	10,0	NNU4938K
	3200	3700	211	222	214	228	269	2	10,1	NNU4940K
	2900	3400	231	242	234	248	289	2	15,5	NNU4944K
	2700	3200	251	262	254	269	309	2	17,0	NNU4948K
	2400	2900	271	288	276	296	349	2	28,3	NNU4952K
	2300	2700	291	308	296	316	369	2	30,3	NNU4956K
	2100	2500	313	335	320	343	407	2,5	46,7	NNU4960K
	2000	2300	333	335	340	363	427	2,5	49,6	NNU4964K

Cuscinetti a rulli conici incrociati

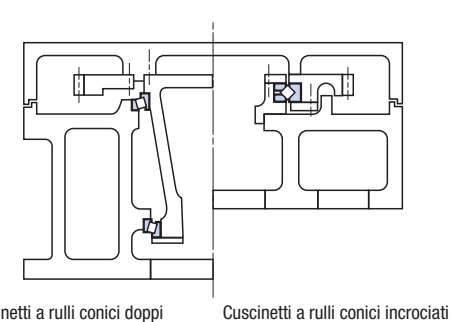
Serie XRN/Serie XRG



Un cuscinetto che fornisce le stesse funzioni di un cuscinetto a rulli conici ma con le dimensioni di un cuscinetto singolo. Gli elementi volventi sono sistemati con orientamento alternato tra l'anello separabile e l'anello primario.

Caratteristiche

- Un cuscinetto in grado di resistere a carichi radiali, carichi assiali e carichi di coppia.
- Può contribuire a semplificare le applicazioni dei cuscinetti, in quanto minori componenti riducono il peso, le dimensioni e il tempo di montaggio.
- L'espansione termica dell'albero influenza in misura minore il precarico del cuscinetto favorendo la precisione della macchina.
- Si utilizzano rulli conici e il centro di rotazione è preservato per la rotazione uniforme anche sotto precarico.
- I distanziali in resina poliammidica vengono inseriti tra i rulli per ridurre l'attrito rullo-a-rullo (tranne tipo XRGV).
- L'angolo di contatto è circa 45°.



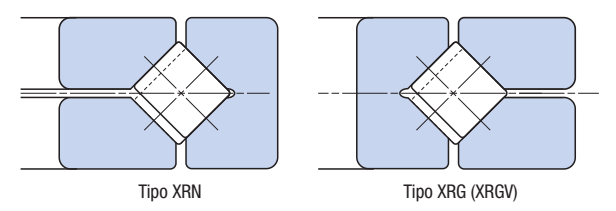
Cuscinetti a rulli conici doppi Esempio di installazione di cuscinetti a rulli conici e di cuscinetti a rulli conici incrociati

Precisione

Nachi definisce dei propri standard di precisione. Vedere pagina 9 per maggiori dettagli.

Meccanismo

La serie XRN è formata da cuscinetti di tipo ad anello esterno primario e anello interno separabili, adatti principalmente per applicazioni incentrate sulla precisione dell'anello esterno durante la rotazione dello stesso. La serie XRG, d'altro canto è utilizzata per applicazioni incentrate principalmente sulla precisione di rotazione dell'anello interno durante la rotazione dello stesso.



Applicazioni principali

- Tavola da lavoro di centri di lavorazione, smerigliatrici, ecc.
- Mandrino di lavorazione di torni, smerigliatrici, ecc.
- Fresatrici sul larga scala, perforatrici o altre macchine a indicizzazione.
- Perno di antenne paraboliche, ecc.

Nomenclatura del numero del cuscinetto

300 XRN 4

Valore diametro esterno

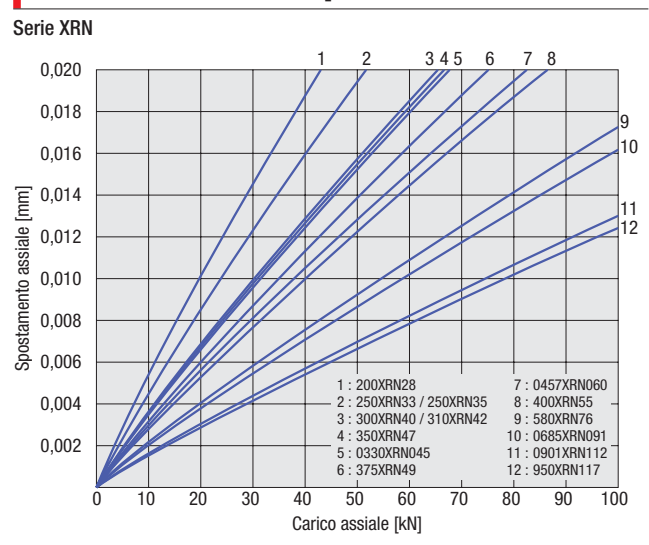
Diametro esterno diviso per 10

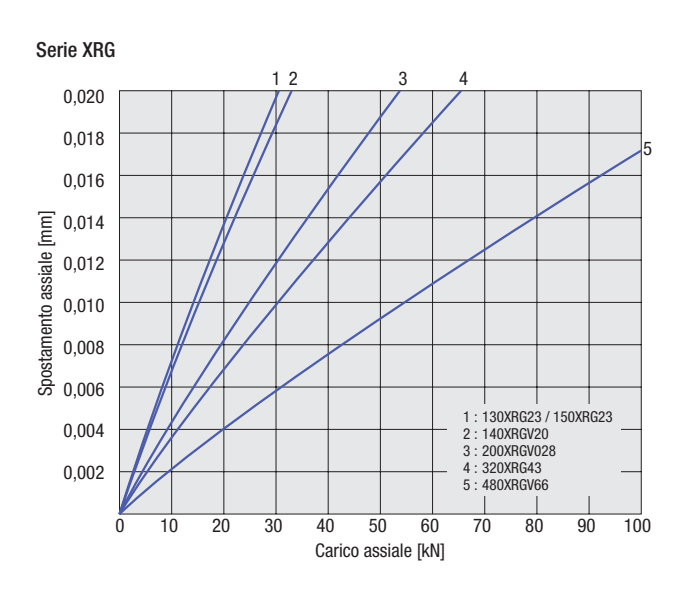
Tipo di cuscinetto

XRN : Serie XRN Tipo ad anello interno separabile XRG : Serie XRG Tipo ad anello esterno separabile XRGV: Serie XRG Tipo ad anello esterno separabile, senza distanziale

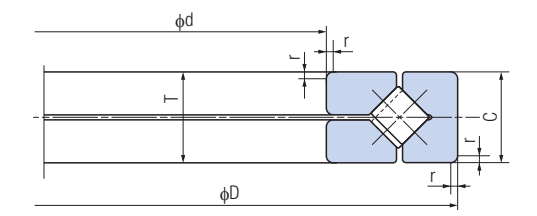
-Dimensione del foro (mm)

Carico assiale e spostamento assiale





Serie XRN di cuscinetti a rulli conici incrociati



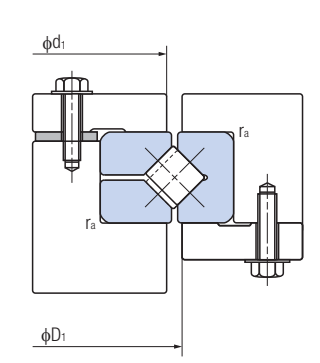
		Dir	mensioni limite (m	nm)		Coefficiente di carico	
Cuscinetto n.	d	D	Т	С	r	dinamico di base Ca (kN)	carico statico base Coa (kN)
150XRN23	150	230	30	30	1,5	105	335
200XRN28	200	280	30	30	1,5	144	520
250XRN33	250	330	30	30	1	164	650
250XRN35	250	350	40	40	3	170	680
300XRN40	300	400	38	38	3	268	985
310XRN42	310	420	40	40	2,5	260	1070
0330XRN045	330,2	457,2	63,5	63,5	3,3	400	1540
350XRN47	350	470	50	50	3	284	1230
375XRN49	375	490	45	45	2,5	290	1280
400XRN55	400	550	60	60	3,5	365	1900
0457XRN060	457,2	609,6	63,5	63,5	3,3	370	1670
580XRN76	580	760	80	80	6,4	830	3800
0685XRN091	685,8	914,4	79,375	79,375	3,3	1090	5000
950XRN117	950	1170	85	85	3	1440	7400

BNH

TAH TBH NN3000 NNU4900

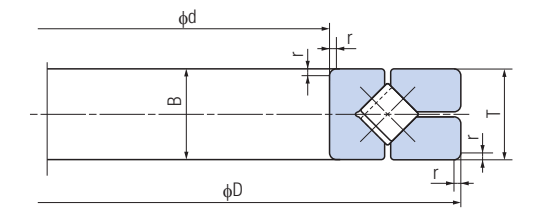
XRN XRG

TAB TAF



Limite velocità di r	otazione (giri/min)	F	Raggio angolare (mm)	Massa	
Lubrificazione con grasso	Lubrificazione con olio	dı (Min)	D ₁ (Max)	ra (Max)	(kg) (Riferimento)	Cuscinetto n.
600	1200	182	197	1	5,11	150XRN23
480	950	235	249	1	6,43	200XRN28
400	800	285	298	1	7,77	250XRN33
400	800	302	312	1,5	13,6	250XRN35
330	650	345	369	2,5	14,8	300XRN40
320	630	358	380	2	18,1	310XRN42
290	580	380	409	2	35,4	0330XRN045
280	560	410	424	1,5	27,7	350XRN47
260	530	430	445	1,5	25,5	375XRN49
250	500	475	492	1,5	48,8	400XRN55
220	440	535	554	2	57,1	0457XRN060
170	340	667	691	4	108	580XRN76
140	280	807	834	2	161	0685XRN091
100	200	1050	1084	2,5	218	950XRN117

Serie XRG di cuscinetti a rulli conici incrociati



		Dir	nensioni limite (m	ım)		Coefficiente di carico	
Cuscinetto n.	d	D	Т	В	r	dinamico di base Ca (kN)	carico statico base Coa (kN)
130XRG23	130	230	30	30	1,5	105	335
140XRGV20	140	200	25	25	1,5	89	299
150XRG23	150	230	30	30	1,5	105	335
200XRGV028	200	285	30	30	1	170	655
320XRG43	320	430	40	40	2,5	260	1070
480XRGV66	480	660	50	49,5	4	405	2110

BNH TAH TBH

NN3000 NNU4900

XRN XRG

TAB TAF

φdi	r _a
φ D ₁	-

Limite velocità di r	otazione (giri/min)	ı	Raggio angolare (mm	Massa		
Lubrificazione con grasso	Lubrificazione con olio	dı (Min)	D ₁ (Max)	ra (Max)	(kg) (Riferimento)	Cuscinetto n.
650	1250	182	197	1	5,97	130XRG23
680	1350	162	176	1	2,86	140XRGV20
600	1200	182	197	1	5,11	150XRG23
480	950	235	249	1	7,13	200XRGV028
300	600	358	382	2	18,9	320XRG43
200	400	550	572	3	61,0	480XRGV66

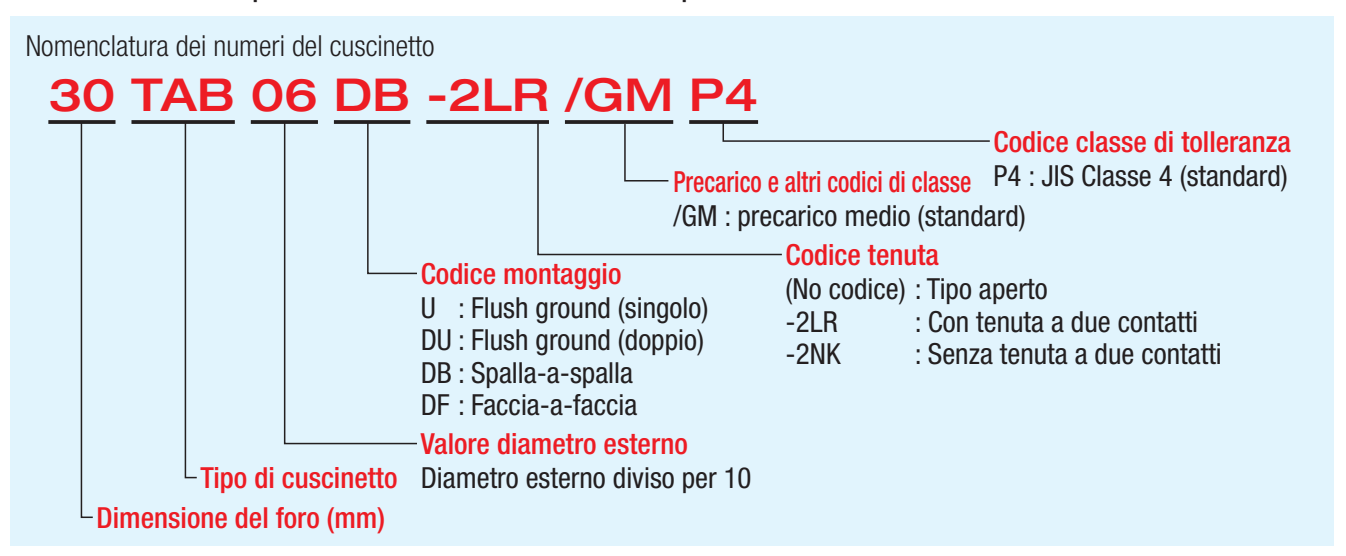
Cuscinetti per supporto di viti con ricircolo di sfere

Serie TAB/TAF



Serie TAB

I cuscinetti per supporto viti con ricircolo di sfere sono usati nelle macchine utensili ad elevata precisione e elevata velocità, macchine di misurazione di precisione, robot e altre macchine che presentano attuatori di alimentazione di precisione.



Caratteristiche

- Gabbia in resina e un numero maggiore di sfere rispetto ai cuscinetti precedenti per una maggiore rigidità.
- I cuscinetti combinati sono forniti con precarichi prestabiliti, eliminando la necessità di fastidiose regolazioni montaggio con spessori e misurazioni di coppia.
- Un angolo di contatto di 60° è in grado di gestire carichi radiali e assiali garantendo la compattezza del cuscinetto.
- Tipo di tenuta a scelta tra tenuta a contatto e tenuta non a contatto per adattarsi alle specifiche applicazioni.

Angolo di contatto

L'angolo di contatto è 60°.

Gabbia

Come standard viene fornita una gabbia poliammidica guidata per la sfera.

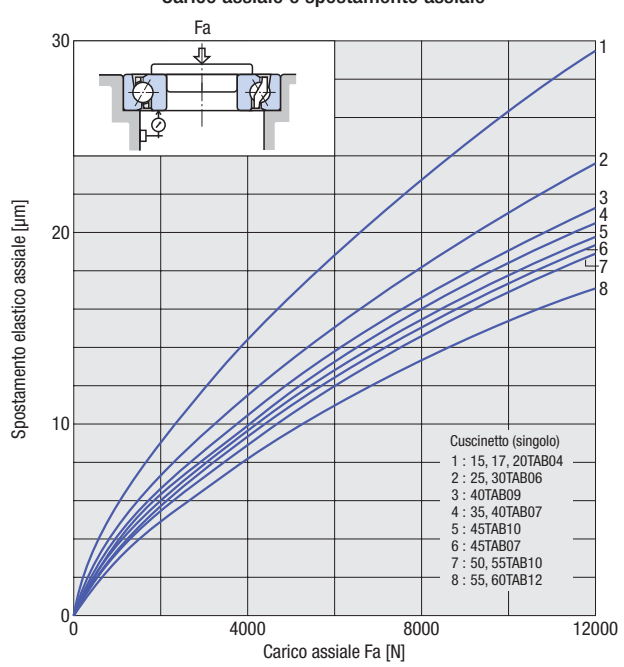
Precisione

JIS Classe 4 come standard. Vedere pagina 10 per maggiori dettagli.

Precarico

Precarico medio come standard. Vedere pagina 20 per maggiori dettagli.

Carico assiale e spostamento assiale



Tipologie e progettazione

7000 7200 **BNH**

TBH

NN3000 NNU4900

XRN **XRG**

TAB TAF

Serie TAF

Sebbene gli attuatori idraulici siano stati ampiamente utilizzati nel passato in dispositivi di conduzione ad elevato carico quali le macchine per lo stampo ad iniezione, è diventato più comune l'uso di azionamenti elettrici (azionamenti con viti a ricircolo di sfere) in tali applicazioni. La Serie TAF è costituita da cuscinetti speciali progettati per sostenere viti con ricircolo di sfere ad alto carico.

Nomenclatura dei numeri del cuscinetto Codice classe di tolleranza P5: JIS Classe 5 (standard) Precarico e altri codici di classe /GM : precarico medio (standard) Codice montaggio DB: Spalla-a-spalla DF: Faccia-a-faccia DT: Tandem Valore diametro esterno Tipo di cuscinetto Diametro esterno diviso per 10 (con qualche eccezione) Dimensione del foro (mm)

Caratteristiche

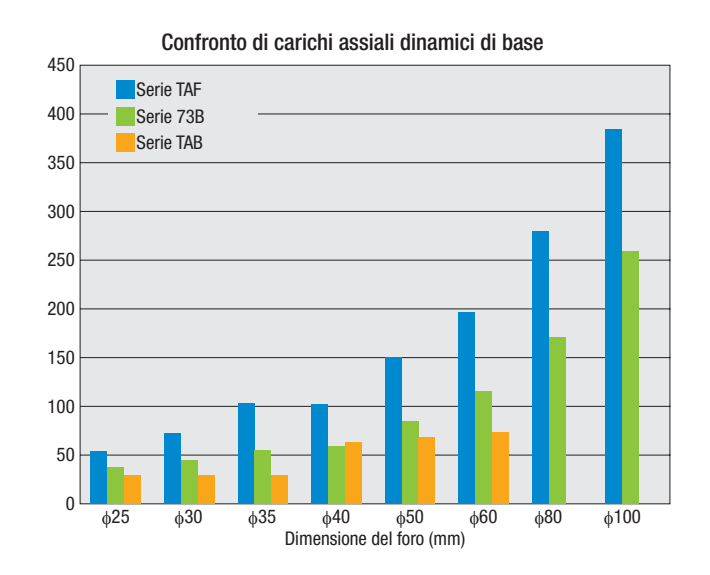
- Una sfera di diametro largo e un angolo di contatto ampio fornisce una capacità di carico a spinta elevata necessaria per i carichi elevati delle viti a ricircolo di sfere utilizzate in macchine per stampo ad iniezione.
- Una gabbia stampata mono-pezzo che combina sia maggiore precisione e forza che abilità di resistere a cambi ad alta velocità avanti e indietro.

Angolo di contatto

Un angolo di contatto di 50° fino a un diametro nominale di 80 mm e 55° per un diametro nominale di 100 mm o più.

Precisione

JIS Classe 5 come standard. Vedere pagina 11 per maggiori dettagli.

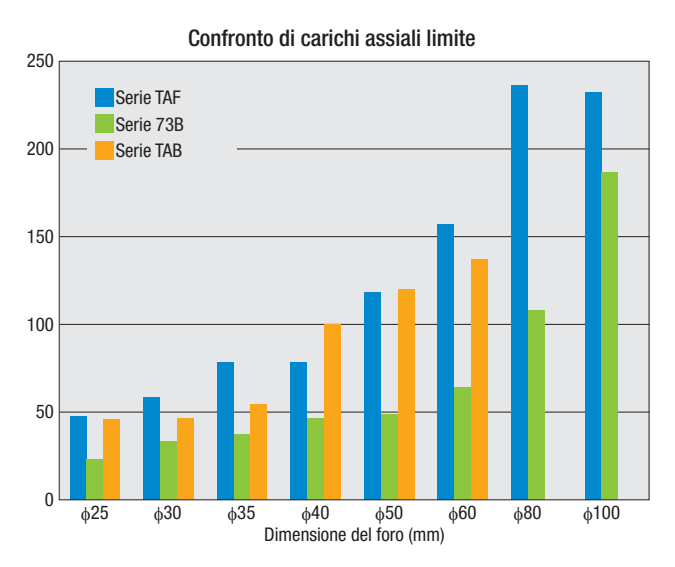


Precarico

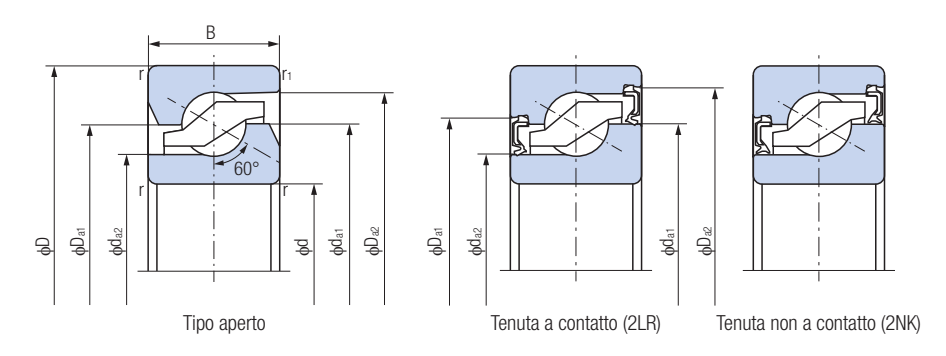
Precarico medio come standard. Vedere pagina 20 per maggiori dettagli.

Gabbia

Come standard viene fornita una gabbia in resina poliammidica di guida per la sfera. Alcune dimensioni vengono prodotte con una gabbia in ottone lavorata a macchina.



Cuscinetti per supporto di viti con ricircolo di sfere Serie TAB



		Dir	mensioni limite (n	nm)		Coefficiente di carico	
Cuscinetto n.	d	D	В	r (Min)	rı (Min)	Ca (kN)	Carico assiale limite (3) (kN)
15TAB04	15	47	15	1 ⁽¹⁾	0,6	25,9	32,0
15TAB04-2NK	15	47	15	1 ⁽¹⁾	0,6	25,9	32,0
15TAB04-2LR	15	47	15	1 ⁽¹⁾	0,6	25,9	32,0
17TAB04	17	47	15	1	0,6	25,9	32,0
17TAB04-2NK	17	47	15	1	0,6	25,9	32,0
17TAB04-2LR	17	47	15	1	0,6	25,9	32,0
20TAB04	20	47	15	1	0,6	25,9	32,0
20TAB04-2NK	20	47	15	1	0,6	25,9	32,0
20TAB04-2LR	20	47	15	1	0,6	25,9	32,0
25TAB06	25	62	15	1	0,6	29,9	46,4
25TAB06-2NK	25	62	15	1	0,6	29,9	46,4
25TAB06-2LR	25	62	15	1	0,6	29,9	46,4
30TAB06	30	62	15	1	0,6	29,9	46,4
30TAB06-2NK	30	62	15	1	0,6	29,9	46,4
30TAB06-2LR	30	62	15	1	0,6	29,9	46,4
35TAB07	35	72	15	1	0,6	32,5	54,3
35TAB07-2NK	35	72	15	1	0,6	32,5	54,3
35TAB07-2LR	35	72	15	1	0,6	32,5	54,3
40TAB07	40	72	15	1	0,6	32,5	54,3
40TAB07-2NK	40	72	15	1	0,6	32,5	54,3
40TAB07-2LR	40	72	15	1	0,6	32,5	54,3
40TAB09	40	90	20	1	0,6	65,0	101
40TAB09-2NK	40	90	20	1	0,6	65,0	101
40TAB09-2LR	40	90	20	1	0,6	65,0	101
45TAB07	45	75	15	1	0,6	33,5	59,5
45TAB10	45	100	20	1	0,6	68,0	113
50TAB10	50	100	20	1	0,6	69,5	119
55TAB10	55	100	20	1	0,6	69,5	119
55TAB12	55	120	20	1	0,6	73,0	137
60TAB12	60	120	20	1	0,6	73,0	137

Nota (1) Il minimo per foro anello interno è 0,6.

(2) Quando il carico assiale è su disposizioni di 2 o di 3, i valori della tabella devono essere moltiplicati rispettivamente per 1,62 e 2,16.

(3) Quando il carico assiale è su disposizioni di 2 o di 3, i valori della tabella devono essere moltiplicati rispettivamente per 2 e 3.

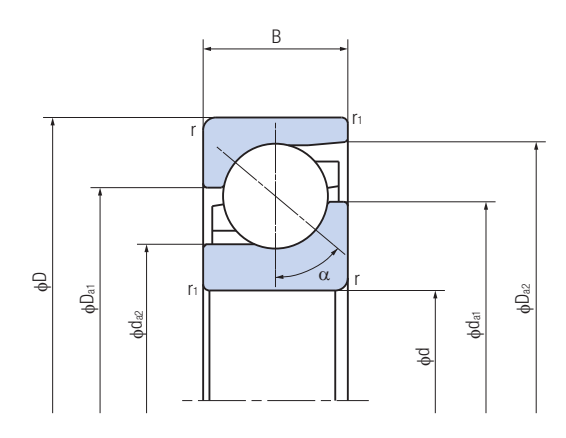
(4) Velocità limite di rotazione per precarico medio (codice precarico GM).

Carico assiale dinamico equivalente Pa=X Fr+Y Fa

N. di cuscinetti N. di disposizioni che ricevono il carico assiale		2	2 3			4				
		Disposizione di 1	Disposizione di 2	Disposizione di 1	Disposizione di 2	Disposizione di 3	Disposizione di 1	Disposizione di 2	Disposizione di 3	Disposizione di 4
Fa/Fr ≤ 2,17	Х	1,90	_	1,43	2,33	_	1,17	2,33	2,53	_
	Υ	0,54	_	0,77	0,35	_	0,89	0,35	0,26	_
Fa/Fr > 2,17	Х	0,92	0,92	0,92	0,92	0,92	0,92	0,92	0,92	0,92
	Υ	1	1	1	1	1	1	1	1	1

Limite velocità di r	otazione ⁽⁴⁾ giri/min)		Dimensioni di r	iferimento (mm)		Massa	
Lubrificazione con grasso	Lubrificazione con olio	da ₁	da ₂	Da ₁	Da ₂	(kg) (Riferimento)	Cuscinetto n.
6300	8000	33,7	26,8	33,5	41	0,14	15TAB04
6300	_	33,7	26,8	35	41,9	0,14	15TAB04-2NK
6300	_	33,7	26,8	35	41,9	0,14	15TAB04-2LR
6300	8000	33,7	26,8	33,5	41	0,13	17TAB04
6300	_	33,7	26,8	35	41,9	0,13	17TAB04-2NK
6300	_	33,7	26,8	35	41,9	0,13	17TAB04-2LR
6300	8000	33,7	26,8	33,5	41	0,12	20TAB04
6300	_	33,7	26,8	35	41,9	0,12	20TAB04-2NK
6300	_	33,7	26,8	35	41,9	0,12	20TAB04-2LR
4650	6000	46,2	39,7	46	53,4	0,24	25TAB06
4650	_	46,2	39,7	47,5	54,9	0,24	25TAB06-2NK
4650	_	46,2	39,7	47,5	54,9	0,24	25TAB06-2LR
4650	6000	46,2	39,7	46	53,4	0,21	30TAB06
4650	_	46,2	39,7	47,5	54,9	0,21	30TAB06-2NK
4650	_	46,2	39,7	47,5	54,9	0,21	30TAB06-2LR
3750	5000	56,2	49,7	56	63,4	0,29	35TAB07
3750	_	56,2	49,7	57,5	64,9	0,29	35TAB07-2NK
3750	_	56,2	49,7	57,5	64,9	0,29	35TAB07-2LR
3750	5000	56,2	49,7	56	63,4	0,26	40TAB07
3750	_	56,2	49,7	57,5	64,9	0,26	40TAB07-2NK
3750	_	56,2	49,7	57,5	64,9	0,26	40TAB07-2LR
3150	4000	67,2	57,2	67	78,4	0,62	40TAB09
3150	_	67,2	57,2	68,5	79,9	0,62	40TAB09-2NK
3150	_	67,2	57,2	68,5	79,9	0,62	40TAB09-2LR
3400	4500	61,7	55,2	61,5	68,9	0,25	45TAB07
2850	3500	74,2	64,2	74	85,4	0,79	45TAB10
2700	3500	78,2	68,2	78	89,4	0,72	50TAB10
2700	3500	78,2	68,2	78	89,4	0,95	55TAB10
2300	3000	92,2	82,2	92	103,4	1,15	55TAB12
2300	3000	92,2	82,2	92	103,4	1,08	60TAB12

Cuscinetti per supporto di viti con ricircolo di sfere Serie TAF



	Cuscinetto n.		Dim	ensioni limite (mm)		Au wata di	Coefficiente di	0	
		d	D	В	r (Min)	r ₁ (Min)	Angolo di contatto α (°)	carico dinamico di base ⁽¹⁾ Ca (kN)	Carico assiale limite ⁽²⁾ (kN)	
	25TAF06	25	62	17	1,1	0,6	50	56,0	47,5	
	30TAF07	30	72	19	1,1	0,6	50	74,0	58,0	
	35TAF09	35	90	23	1,5	1	50	103	77,0	
	40TAF09	40	90	23	1,5	1	50	103	77,0	
	40TAF11	40	110	27	2	1	50	152	118	
	45TAF11	45	110	27	2	1	50	152	118	
	50TAF11	50	110	27	2	1	50	152	118	
	60TAF13	60	130	31	2,1	1,1	50	196	157	
	60TAF17	60	170	39	2,1	1,1	50	279	238	
	80TAF17	80	170	39	2,1	1,1	50	279	238	
	100TAF21	100	215	47	3	1,1	55	385	234	
	120TAF03	120	260	55	3	1,1	55	445	380	

Nota (1) Quando il carico assiale è su disposizioni di 2 o di 3, i valori della tabella devono essere moltiplicati rispettivamente per 1,62 e 2,16.

(2) Quando il carico assiale è su disposizioni di 2 o di 3, i valori della tabella devono essere moltiplicati rispettivamente per 2 e 3.

(3) Si consiglia l'uso dell'80% o meno del carico assiale consentito.

(4) Velocità limite di rotazione per precarico medio (codice precarico GM).

Carico assiale dinamico equivalente Pa=X Fr+Y Fa

Angolo di contatto 50°

N. di cuscinetti	N. di cuscinetti				
N. di disposizioni che ricevono il ca assiale	Disposizione di 1	Disposizione di 2			
Fa/Fr ≤ 1,49	Х	1,37	_		
Fd/F1 ≥ 1,49	Υ	0,57	_		
Eo/Er > 1.40	Х	0,73	0,73		
Fa/Fr > 1,49	Υ	1	1		

Angolo di contatto 55°

	•			
	N. di cuscinetti	2		
	N. di disposizioni che ricevono il ca assiale	Disposizione di 1	Disposizione di 2	
	Fa/Fr ≤ 1,79	Х	1,60	_
	Fa/F1 ≤ 1,79	Υ	0,56	_
Ī	Eo/Fr > 1 70	Х	0,81	0,81
	Fa/Fr > 1,79	Y	1	1

Limite velocità di		Dimensioni di ri	ferimento (mm)		Marca	
rotazione ⁽⁴⁾ (giri/min) Lubrificazione con grasso	da ₁	da ₂	Da ₁	Da ₂	Massa (kg) (Riferimento)	Cuscinetto n.
4500	42,9	32,7	44,9	56,6	0,237	25TAF06
3800	49,8	38,6	53	65,9	0,357	30TAF07
3000	63,2	49,7	67,7	82,3	0,709	35TAF09
3000	63,2	49,7	67,7	82,3	0,655	40TAF09
2500	77,6	60,3	83,4	101,1	1,28	40TAF11
2500	77,6	60,3	83,4	101,1	1,21	45TAF11
2500	77,6	60,3	83,4	101,1	1,13	50TAF11
2100	92,4	72,9	98,9	119,7	1,79	60TAF13
1500	121,1	97,2	130,3	155,8	4,48	60TAF17
1500	121,1	97,2	130,3	155,8	3,80	80TAF17
1200	152,3	123,4	164,1	194,7	7,41	100TAF21
1000	186,2	151,1	193,8	228,4	14,8	120TAF03

NACHI-FUJIKOSHI CORP.

URL:http://www.nachi.com/

Tokyo Head Office: Shiodome Sumitomo Bldg. 17F 1-9-2 Higashi-shinbashi, Minato-ku, Tokyo 105-0021, JAPAN

Tel: +81-(0)3-5568-5247 Fax: +81-(0)3-5568-5237

Toyama Head Office: 1-1-1 Fujikoshi-Honmachi, Toyama 930-8511, JAPAN Tel: +81-(0)76-423-5111 Fax: +81-(0)76-493-5211

Overseas Companies =

AMERICA

Sales

● NACHI AMERICA INC. HEADQUARTERS 715 Pushville Road, Greenwood, Indiana, 46143, U.S.A. Tel: +1-317-530-1002 Fax: +1-317-530-1012 URL: http://www.nachiamerica.com/

WEST COAST BRANCH

12652 E. Alondra Blvd. Cerritos, California, 90703, U.S.A. Tel: +1-562-802-0055 Fax: +1-562-802-2455

MIAMI BRANCH - LATIN AMERICA DIV. 2315 N.W. 107th Ave., Doral, Florida, 33172, U.S.A. Tel: +1-305-501-0054/0059/2604 Fax: +1-305-591-3110

NACHI ROBOTIC SYSTEMS INC.

42775 West 9 Mile Road Novi, Michigan, 48375, U.S.A. Tel: +1-248-305-6545 Fax: +1-248-305-6542 URL: http://www.nachirobotics.com/

• NACHI CANADA INC.
89 Courtland Ave., Unit 2, Concord, Ontario, L4K 3T4, CANADA
Tel: +1-905-660-0088 Fax: +1-905-660-1146 URL:http://www.nachicanada.com/

● NACHI MEXICANA, S.A. DE C.V. Urbina No. 54, Parque Industrial Naucalpan, Naucalpan de Juarez, Estado de Mexico, C.P. 53489, MEXICO
Tel: +52-55-3604-0832/0842/0881 Fax: +52-55-3604-0882

NACHI MEXICANA ENGINEERING CENTER

1171A, Calle Julio Diaz Torre, Fracc. Ciudad Industrial, Aguascalientes, C.P. 20290, MEXICO Tel: +52-449-971-1689 Fax: +52-449-971-1689

Manufacturing

NACHI TECHNOLOGY INC.

713 Pushville Road, Greenwood, Indiana, 46143, U.S.A. Tel: +1-317-535-5000 Fax: +1-317-535-8484 URL: http://nachitech.com/

● NACHI TOOL AMERICA INC. 717 Pushville Road, Greenwood, Indiana, 46143, U.S.A. Tel: +1-317-535-0320 Fax: +1-317-535-0983

● NACHI BRASIL LTDA.

Avenida João XXIII, No.2330, Jardim São Pedro, Mogi das Cruzes, S.P., BRASIL, CEP 08830-000 Tel: +55-11-4793-8800 Fax: +55-11-4793-8870 URL: http://www.nachi.com.br/

SAO PAULO BRANCH

Av. Paulista, 453, Primeiro Andar, Conj.11, 12, 13 e 14, Cerqueira Cesar, Sao Paulo - SP, CEP: 01311-000, BRASIL Tel: +55-11-3284-9844 Fax: +55-11-3284-1751

EUROPE

Sales

● NACHI EUROPE GmbH

Bischofstrasse 99, 47809, Krefeld, GERMANY Tel: +49-(0)2151-65046-0 Fax: +49-(0)2151-65046-90 URL: http://www.nachi.de/

SOUTH GERMANY OFFICEPleidelsheimer Str. 47, 74321, Bietigheim-Bissingen, GERMANY

Tel: +49-(0)7142-77418-0 Fax: +49-(0)7142-77418-20

SPAIN BRANCH
P.I. EL MONTALVO III C/Segunda, 6. Portal 1-2ª,
Oficina 5 37188-Carbajosa de La Sagrada
Salamanca- España
Tel: +34-(0)923-197-837
Fax: +34-(0)923-197-758

CZECH BRANCH

Fax: +420-(0)255-734-001

Obchodni 132 251 01 Cestlice CZECH Tel: +420-(0)255-734-000

U.K. BRANCH

Unit 3, 92, Kettles Wood Drive Woodgate Business Park, BIRMINGHAM B32 3DB, U.K.

Tel: +44-(0)121-423-5000 Fax: +44-(0)121-421-7520

TURKEY BRANCH

Karaman Ciftligi Mevkii, Agaoglu My Prestige, K;13, D;110, 34746, Atasehir, Istanbul, TURKEY Tel: +90-(0)216-688-4457 Fax: +90-(0)216-688-4458

Manufacturing

● NACHI CZECH s.r.o Prumyslova 2732, 440 01 Louny, CZECH Tel: +420-415-930-930 Fax: +420-415-930-940

ASIA and OCEANIA

Sales

NACHI SINGAPORE PTE. LTD.

No.2 Joo Koon Way, Jurong Town, Singapore 628943, SINGAPORE Tel: +65-65587393 Fax: +65-65587371

VIETNAM REPRESENTATIVE OFFICE, HO CHI MINH

4FI., Yoco Bld., 41 Nguyen Thi Minh Khai St., Dist.1, Ho Chi Minh, VIETNAM Tel: +84-8-3822-3919 Fax: +84-8-3822-3918

VIETNAM REPRESENTATIVE OFFICE, **HANOI**

5B FI., Noza Bld., 243 Cau Giay St., Cau Giay Dist., Hanoi, VIETNAM Tel: +84-4-3767-8605 Fax: +84-4-3767-8604

● FUJIKOSHI-NACHI (MALAYSIA) SDN. BHD. No.17, Jalan USJ 21/3, 47630 UEP Subang Jaya, Selangor Darul Ehsan, MALAYSIA Tel: +60-(0)3-80247900 Fax: +60-(0)3-80235884

PT.NACHI INDONESIA

TEMPO PAVILION I, 7FL JL. HR Rasuna Said Kav. 10-11 Setiabudi Jakarta Selatan DKI Jakarta -12950, INDONESIA Tel: +62-021-527-2841 Fax: +62-021-527-3029

NACHI KG TECHNOLOGY INDIA PVT. **GURGAON HEAD OFFICE**

Unit No.207, 2nd Floor, Sewa Corporate Park, MG Road, Iffco Chowk, Gurgaon 122001, Haryana, INDIA Tel: +91-(0)12-4450-2900 Fax: +91-(0)12-4450-9210

BANGALORE OFFICE

DANIGALURE OFFICEF-11, Asha Chamber, No.2, Venkata Swami, Raju
Road, Kumara Park West, Bangalore-560020, INDIA
Tel: +91-(0)80-3920-8701 / 8702 / 8703
Fax: +91-(0)80-3920-8700

● 那智不二越(上海)贸易有限公司

NACHI (SHANGHAI) CO.,LTD.

11F Royal Wealth Center, No.7 Lane 98 Danba
Road, Putuo District, Shanghai, 200062, CHINA
Tel: +86-(0)21-6915-2200 Fax: +86-(0)21-6915-5427

重庆分公司

CHONGQING BRANCH

C17-18/19 Hogding International Building, Jiangbei District, Chongqing 400020, CHINA Tel: +86-(0)23-8816-1967 Fax: +86-(0)23-8816-1968

沈阳分公司

SHENYANG BRANCH
Room 304, No.1 Yuebin Street, Shenhe District,
Shenyang 110000, CHINA
Tel: +86-(0)24-3120-2252
Fax: +86-(0)24-2250-5316

北京分公司

BEIJING BRANCH
Room 903A, Kuntai International Mansion, Building J, Yi No. 12 Chao Wai Street, Chao yang District, Beijing 100020, CHINA Tel: +86-(0)10-5879-0181
Fax: +86-(0)10-5879-0182

NACHI-FUJIKOSHI CORP. TAIPEI REPRESENTATIVE OFFICE

No.109, Kao Young North Rd, Lung-Tan Hsin, Tao-Yuan Hsien, TAIWAN Tel: +886-(0)3-411-7776 Fax: +886-(0)3-471-8402

NACHI-FUJIKOSHI CORP.

KOREA REPRESENTATIVE OFFICE 3F A-Youn Digital Tower 314-37, Seongsu-dong 2-ga, Seongdong-gu, Seoul 133-120, KOREA Tel: +82-(0)2-469-2254 Fax: +82-(0)2-469-2264

● NACHI (AUSTRALIA) PTY. LTD. Unit 1, 23-29 South Street, Rydalmere, N.S.W, 2116, AUSTRALIA Tel: +61-(0)2-9898-1511 Fax: +61-(0)2-9898-1678 URL: http://www.nachi.com.au/

Manufacturing

NACHI TECHNOLOGY (THAILAND) CO., LTD. 5/5 M, 2, Rojana Industrial Estate Nongbua, Ban Khai, Rayong, 21120, THAILAND
Tel: +66-38-961-682 Fax: +66-38-961-683

BANGKOK SALES OFFICE

Unit 23/109(A), Fl.24th Sorachai Bldg., Sukhumvit 63 Road(Ekamai), Klongtonnua, Wattana, Bangkok 10110, THAILAND Tel: +66-2-714-0008 Fax: +66-2-714-0740

• NACHI INDUSTRIES PTE. LTD.

No.2 Joo Koon Way, Jurong Town, Singapore 628943, SINGAPORE Tel: +65-68613944 Fax: +65-68611153 URL: http://www.nachinip.com.sg/

NACHI PILIPINAS INDUSTRIES, INC.

1st Avenue, Manalac Compound, Sta. Maria Industrial Estate, Bagumbayan, Taguig, Metro Manila, PHILIPPINES Tel: +63-(0)2-838-3620 Fax: +63-(0)2-838-3623

NACHI KG TECHNOLOGY INDIA PVT.

NEEMRANA PLANT
Plot No. Sp-86, Nic(M)Neemrana, Riico
Industrial Area, Alwar-301705, Rajasthan, INDIA
Tel: +91-(0)14-9467-1300
Fax: +91-(0)14-9467-1310

NACHI MOTHERSON PRECISION LTD.

179, Sector4, IMT Manesar, District Gurgaon-122 050, Haryana, INDIA Tel: +91-124-4936-000 Fax: +91-124-4936-022

NACHI MOTHERSON TOOL TECHNOLOGY LTD.

D-59-60, Sector-6, Noida-201301, Distt. Gautam Budh Nagar, U.P. INDIA Tel: +91-120-425-8372 Fax: +91-120-425-8374

● 那智不二越(江苏)精密机械有限公司 NACHI (JIANGSU) INDUSTRIES CO., LTD.

39 Nanyuan Road, Economic and Technological Development Zone (south), Zhangjiagang, Jiangsu, 215618, CHINA Tel: +86-(0)512-3500-7616 Fax: +86-(0)512-3500-7615

● 东莞建越精密轴承有限公司 **DONGGUAN NACHI C.Y. CORPORATION**

Dangyong Village, Hongmei Town Dongguan City, Guangdong 523160, CHINA Tel: +86-(0)769-8843-1300 Fax: +86-(0)769-8843-1330

● 上海不二越精密轴承有限公司 SHANGHAI NACHI BEARINGS CO.,LTD.

Yitong Industry Zone 258, Fengmao Rd. Malu Town, Jiading, Shanghai 201801, CHINA Tel: +86-(0)21-6915-6200 Fax: +86-(0)21-6915-6202

● 建越工業股份有限公司

NACHI C.Y. CORP.
No.109, Kao Young North Rd, Lung-Tan Hsin,
Tao-Yuan Hsien, TAIWAN
Tel: +886-(0)3-471-7651 Fax: +886-(0)3-471-8402





L'aspetto e le specifiche sono soggette a modifiche senza preavviso per migliorare le prestazioni

È stato adottata la massima cura per preservare la precisione delle informazioni contenute nel presente catalogo e non si assume responsabilità di sorta per errori od omissioni.

